

7/11

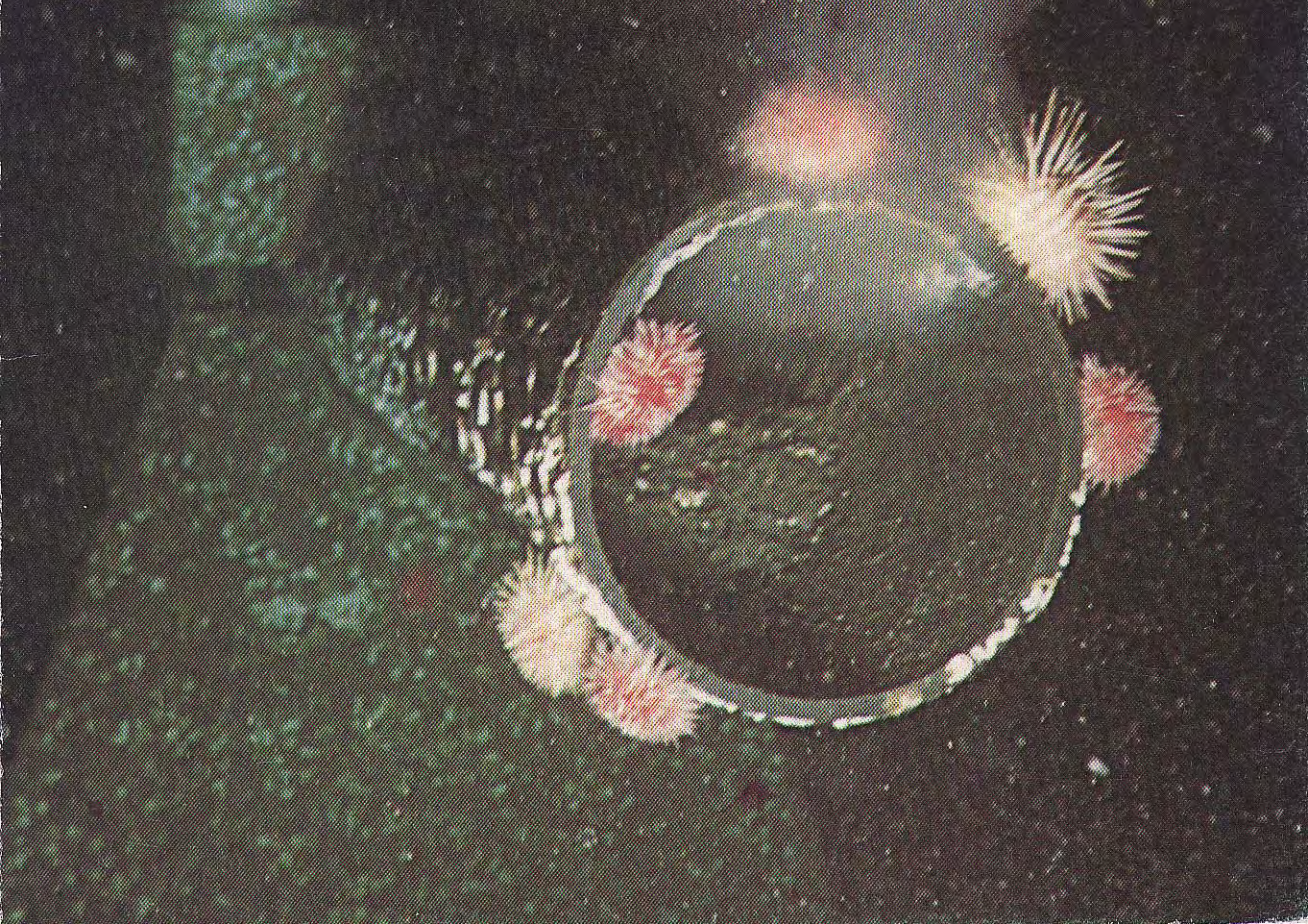
0-107/71 VI

Prosjektkomiteen for rensing av avløpsvann



Bygging og drift av dyputslipp

NIVA's
Siste
evkl.



PROSJEKT RENSING AVLØPSVANN – PRA

I Stortingsproposisjon nr. 90 ”Tilråding fra Industridepartementet av 10. april 1970”, godkjent ved kongelig resolusjon samme dag, la Industridepartementet fram forslag til en bevilgning på 5,0 mill. kroner for 1970, som en første bevilgning for et flerårig forskningsprogram for rensing av avløpsvann. Forslaget grunnet seg på Ressursutvalgets innstilling nr. 1 som ble avgitt 3. juli 1969.

For at det faglige grunnlag for utbygging av avløpsanlegg skulle kunne bedres, konkluderte Ressursutvalget med at det måtte skje en utvidet forskningsinnsats for å finne fram til effektive transportmetoder og tilfredstillende metoder for rensing av avløpsvann.

En foreløpig tidsramme ble satt til seks år og kostnadene beregnet til omlag 30 mill. kroner.

St.prp. nr. 90 ble vedtatt av Stortinget og forskningsprogrammet kunne settes i verk. Forskningsprogrammet fikk navnet

PROSJEKT RENSING AVLØPSVANN som forkortes PRA

Det ble opprettet en ad hoc komite, prosjektkomiteen for et forskningsprogram for rensing av avløpsvann, for å vurdere og prioritere forskningsprosjekter.

Prosjektkomiteen har delt inn forskningsprogrammet i følgende 6 delområder:

1. Avløpsvannets mengde og sammensetning.
2. Rensing av avløpsvann og slambehandling.
3. Bruk av terrestriske resipienter for disponering av avløpsvann og slam.
4. Transportsystemer.
5. Utslipp av forurensset vann i resipienten.
6. Industriens avløpsproblemer.

En har i størst mulig utstrekning forsøkt å konsentrere innsatsen på forsknings- og utredningsoppgaver som vil gi resultater som kan anvendes på kort sikt.

De prosjekter som hittil har blitt prioritert er listet på omslagets side 3.

Prosjektkomiteen gir ut et informasjonsblad, PRA-INFORMASJON, samt såkalte bruker-rapporter.

Forespørrel om PROSJEKT RENSING AVLØPSVANN kan rettes til PRA-Komiteens sekretær, overingeniør John Hatling, Statens forurensningstilsyn, Postboks 8100-Oslo Dep., tlf. (02) 41 68 60.

Forespørrelser om PRA-INFORMASJON og brukerrapporter rettes til redaktøren, sivilingeniør Svein Stene Johansen, Postboks 333 Blindern, Oslo 3, tlf. (02) 23 52 80.

Bygging og drift av dyputslipp

*sivilingeniør Øivind Johansen
sivilingeniør Ph. D. Paul Liseth*

utarbeidet ved

Norsk institutt for vannforskning

Formgivning og sats, Grafisk Kontor, NTN

Forsidefoto, Olav Rusten

Trykt hos Reclamo

ISBN 82-90180-02-0

Copyright Prosjektkomiteen for rensing av avløpsvann

Innhold

FORORD	5
1. INNLEDNING	7
2. SAMMENDRAG AV OPPLYSNINGER OM EKSISTERENDE DYPPUTSLIPP I NORGE	8
3. BESKRIVELSE AV ET UTSLIFFSARRANGEMENT	10
4. TRYKKSYSTEM	11
4.1 Gravitasjon	11
4.2 Pumping	15
5. UTLØPSLEDNING	21
5.1 Trasévalg	21
<i>5.1.1 Traséundersøkelse</i>	22
<i>5.1.2 Eksempel på ledningstraséer</i>	25
5.2 Rørmaterialer	26
<i>5.2.1 Plastrør</i>	27
<i>5.2.2 Trerør</i>	31
<i>5.2.3 Asbestsementrør</i>	32
<i>5.2.4 Støpejernsrør</i>	33
<i>5.2.5 Betongrør</i>	33
5.3 Krefter på utløpsledninger	34
<i>5.3.1 Strøm og bølgekrefter</i>	34
<i>5.3.2 Krefter på en utløpsledning p.g.a. luft eller gassansamlinger</i>	35
<i>5.3.3 Oppdriftskrefter på en utløpsledning i nedgravingsfasen</i>	36
<i>5.3.4 Krefter på en utløpsledning p.g.a. overdekking</i>	36
5.4 Ankring av utløpsledninger	36
<i>5.4.1 Ledningen liggende på bunnen</i>	38
<i>5.4.2 Ledningen svevende over bunnen</i>	40
<i>5.4.3 Ledningen nedgravd</i>	41

6. SPREDEANORDNING OG AVLØPSVANNETS PRIMÆRFORTYNNING	42
6.1 Spredeanordning – diffusor	42
6.2 Plassering av utløpet	45
6.3 Avløpsvannets primærfortynning	47
7. HYDRAULISK DIMENSJONERING	48
7.1 Beregning av nødvendig energihøyde for utledning av avløpsvann	48
7.2 Dimensjonerende hastighet i utløpsledningen	49
7.3 Spyling	50
8. ANLEGGSKOSTNADER	51
8.1 Innledning	51
8.2 Kostnad for tilrigging	52
8.3 Kostnad for utløpskum	52
8.4 Kostnad for undervannsgrøfter	52
8.5 Rørkostnader	52
8.6 Kostnad for leveranse og montasje av betongvekter	52
8.7 Kostnad for senking av ledning	52
8.8 Kostnad for endearrangement	53
8.9 Kostnad for kloakkpumpestasjoner	53
9. LITTERATUR	59
10. FOTOPLANSJE	60

FORORD

I september 1971 ble forskningsprosjektet "PRA 5.2 — UNDERSØKELSE AV EKSISTERENDE DYPUTSLIPP" igangsatt ved Norsk institutt for vannforskning, NIVA. Ansvarlig for prosjektet var sivilingeniør, Ph. D. Paul Liseth og sivilingeniør Øivind Johansen.

Resultatene av undersøkelsene ble publisert i rapporten "ERFARINGER VED BYGGING OG DRIFT AV DYPUTSLIPP" som ble utgitt av NIVA i mai 1973.

Da opplaget på rapporten var begrenset, foreligger rapporten i nytt opplag og nytt format i PRA-komiteens brukerserie. Kapittel "8. Økonomi" er erstattet med "8. Anleggskostnader" som er ajourført av sivilingeniør Øivind Johansen, Østlandskonsult A/S.

Oslo, juni 1975

Svein Stene Johansen
Redaktør

1. Innledning

Økende belastning av avløpsvann til våre resipienter og de strenge krav til recipientens renhet, har ført til at avløpsvannet må blandes inn i recipientens vannmasser langt mer effektivt enn tidligere. Utslippet er i dag et viktig teknisk anlegg i arbeidet med å redusere forurensingsvirknader i recipienten.

De siste 10–12 år er det bygd et betydelig antall utslipp som fører avløpsvannet ut på dypt vann i recipienten. Byggingen av disse dyputslipp har vært preget av at ingeniørene har hatt til dels liten erfaring og få retningslinjer å gå etter. Det har derfor vært et stort behov for å få utredet

flere sider ved utslippsarrangementet fra trykksystemet på land til spredning av avløpsvannet i recipienten. For å avklare behovene innen dette område ble det ved NIVA igangsatt et forskningsprosjekt med tittel: PRA 5.2. Undersøkelse av eksisterende dyputslipp. Dette prosjektet hadde følgende målsetting:

1. Sammenfatte eksisterende kunnskaper og erfaringer om dimensjonering, utforming, byggings- og driftsmessige forhold ved utslippsarrangementer.
2. Skaffe oversikt over problemer som bør søkes løst gjennom videre forskning.

På bakgrunn av bl.a. det arbeidet som er utført under dette prosjektet, bevilget PRA-komiteen midler til følgende prosjekter:

- PRA 5.1 Ytre krefter på utløpsledninger.
- PRA 5.3 Luftsamling i utløpsledninger.
- PRA 5.4 Sedimentering, begroing og selvrensing i rør.
- PRA 5.5 Spredeanordning og avløpsvannets primærfortynning.
- PRA 5.7 EDB-program for avløpsvannets primærfortynning.

Resultatene fra disse prosjekter vil bli publisert i senere brukerrapporter.

Arbeidet med prosjektet "Undersøkelse av eksisterende dyputslipp" er utført i tre perioder.

I første periode ble kunnskap innsamlet ved litteraturstudier og studiereiser. En rekke konsulenter, rørleverandører og entreprenører i Norge og Sverige ble besøkt.

I andre perioder besto arbeidet i å sende spørreskjemaer til ca. 200 kommuner fordelt over hele landet, ta imot svar og bearbeide dem. De enkelte kommuner som fikk tilsendt spørreskjemaer, ble valgt ut etter kontakt med fylkesingeniørene.

I tredje periode ble 62 dyputslipp i følgende kommuner inspisert av dykkere: Hurum, Rygge, Vestby, Ringerike, Tjøme, Nøtterøy, Horten, Porsgrunn, Kragerø, Tromøy, Kristiansand, Lillesand, Stavanger, Sandnes og Bergen. Ved utvelgelse av ledninger for dykkerundersøkelsen var foruten type utslipps, reisetid og beliggenhet av flere ledninger i samme område bestemmende. Dykkerundersøkelsen ble gjennomført i tidsrommet 18. april – 18. august 1972.

Denne rapporten er en sammenstilling av kunnskaper og erfaringer innsamlet under prosjektet.

prenører, som har arbeidet med utløpsledninger, ennå i dag har få erfarringsdata å hjelpe seg med.

Spørreskjemaene ble tilsendt 200 kommuner og gjaldt kommunale utslipps på minst 10 m dyp. Skjemaene inneholdt spørsmål om utløpsledningenes lengde, utslippsdyp, type og mengde avløpsvann, rensegrad, ledningsmateriale og dimensjon, belastningsvekter, alder, kostnader etc. 69 av de spurte kommuner har bekreftet at de har dyputslipp og besvarte spørreskjemaene. I alt er det innsamlet opplysninger om 208 dyputslipp. I det etterfølgende gis et sammendrag av de viktigste data.

RØRMATERIALE

180 eller 86,5% er polyeten (PEH eller PEL) ledninger

9 eller 4,3% er polyvinylklorid (PVC) ledninger

8 eller 3,8% er treledninger

4 eller 1,9% er asbestementledninger

3 eller 1,5% er Noreplastledninger. (Disse ledninger er også av polyeten, men er så spesielle at de ikke tas med blant de 180.)

2 eller 1% er betongledninger

2 eller 1% er støpejernledninger

ALDER

På figur 1 er vist en oversikt over anleggsår for 139 stk. PEH og PEL-ledninger fra 1960 til 1971.

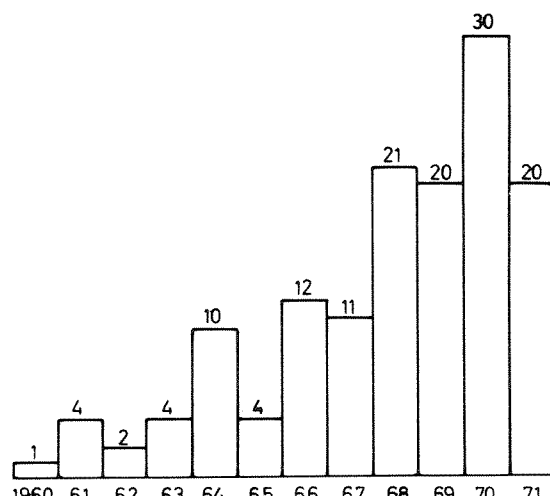


Fig. 1. Oversikt over anleggsår for 139 stk. PEH- og PEL-ledninger.

Figuren viser hvordan leggingen av utløpsledninger økte etter at polyetenledningene kom inn på markedet tidlig i 1960-årene. Det går fram at halvparten av ledningene er bygd de siste tre år av denne periode.

DIMENSJONER

For de 180 polyetenledningene
er middellengden = 200 m
Middelutslippsdypet = 18 m
Rørdiamenteren varierer fra 150 mm til 700 mm
og med middel på 300 mm.

VANNMENGDE OG HASTIGHET

Det er foretatt beregninger på mengden avløpsvann i utløpsledningene. Som forutsetninger er satt en avløpsmengde på 300 l/p.d., time- og døgnfaktor lik 1 og ikke noe overvann eller infiltrasjonsvann. Disse forutsetningene gjelder ved tørrværsavrenning, og gir de laveste vannmengder med de ugunstigste forhold i utløpsledningene.

For 123 utløp var opplysningene fra kommunene så gode at det var mulig å regne på vannmengdene. Resultatet ble:

- I 86 ledninger, eller 70% er midl. tørrværs-hastighet $< 0.1 \text{ m/s}$
- I 108 ledninger, eller 88% er midl. tørrværs-hastighet $< 0.6 \text{ m/s}$

RENSEGRAD

For 148 utløpsledninger var det oppgitt hva slags rensing det er på avløpsvannet.

- For 60 eller 41% er avløpsvannet urensset
- For 50 eller 34% kommer avløpsvannet fra septiktanker
- For 26 eller 17% kommer avløpsvannet fra slam-avskillere
- For 9 eller 6% kommer avløpsvannet fra mekaniske renseanlegg
- For 3 eller 2% kommer avløpsvannet fra biologiske renseanlegg

SKADER

Ser en på skadene, viser det seg at blant de 180

polyetenledningene har det vært 57 tilfelle av alvorlige skader hvorav

- | | |
|----------------------------|------------------|
| 30 tilfelle av tilstopping | – (16,5% av 180) |
| 23 tilfelle av oppflyting | – (13,0% av 180) |
| 4 tilfelle av brudd | – (2,2% av 180) |

Hvis man i tillegg til disse alvorlige skadene tar med tilfelle av delvis tilstopping eller oppflyting, slamansamling, korrosjonsskader osv., kommer man opp i ca. 70 registrerte skadetilfelle, – (39% av 180). Det gjøres oppmerksom på at det noen steder har vært flere skader på samme ledning, 29 eller 21,5% av de 180 polyetenledningene har hatt driftsstopp en eller flere ganger. Med driftsstopp menes tilstopping, oppflyting eller brudd.

Ser man samlet på de 28 utløpsledninger som har rørmaterialer PVC, tre, asbestsement, Noreplast, støpejern eller betong, viser det seg at det er registrert 10 tilfelle av alvorlige skader hvorav

- | | |
|---------------------------|-----------------|
| 4 tilfelle av tilstopping | – (14,5% av 28) |
| 2 tilfelle av oppflyting | – (7,2% av 28) |
| 4 tilfelle av brudd | – (14,5% av 28) |

I alt er det på disse utløpsledningene registrert tilsammen 14 mer eller mindre alvorlige skadetilfelle, – (50% av 28). 10 eller 36% av ledningene i denne gruppen har hatt såkalt driftsstopp en eller flere ganger.

Sammenliknes skadeprosentene for polyetenledningene med de tilsvarende for gruppen av de andre materialene, fremgår det at skadeprosenten for tilstopping er omtrent lik. Dette er rimelig da faren for tilstopping bare i liten grad er avhengig av ledningsmaterialet.

Skadeprosenten for oppflyting er dobbelt så stor for polyeten som for den andre gruppen. Dette skyldes at de fleste materialene i den sistnevnte gruppen er tyngre enn polyeten og derfor ikke så utsatt for å flyte opp.

Skadeprosenten for brudd er minst for polyetenledningene. Dette fordi polyeten er et fleksibelt materiale som har vist seg bedre å tåle de bøyepåkjenningene som en utløpsledning utsettes for.

Arsakene til tilstopping kan forklares ved:

- 1) Lav hastighet uten selvrengning i utløpsledningen i lange perioder.
- 2) Avløpsvannet som går i utløpsledningene er i alminnelighet dårlig renset.

Arsakene til oppflyting skyldes flere forhold:

- 1) Utløpskummen er slik konstruert og plassert

- at luft blir dratt med i inntaket til utløpsledningen.
- 2) Sedimenter og slamansamlinger i ledningen kan avgi gasser.
 - 3) Ledningen kan ligge med høybrekk hvor evt. gass eller luft lett samler seg.
 - 4) Vektbelastning eller festet av ledningen til bunn er for dårlig.

3. Beskrivelse av et utslippsarrangement

Utslippet av avløpsvann i en recipient må betraktes som en integrert del av et avløpssystem. Avløpssystemet vil omfatte tekniske tiltak innen følgende områder:

1. Oppsamling og transport av avløpsvannet.
2. Rensing av avløpsvannet.
3. Utslipp av avløpsvannet i recipient.

Mens et renseanlegg har til oppgave å fjerne forurensningskomponenter fra avløpsvannet, skal utslippet besørge transport ut i recipienten med spredning og deponering av resterende forurensninger i et område hvor skadevirkningene blir minst mulig.

For få år tilbake nøyde man seg med å la avløpsvannet sive ut i strandsonen. Det forurenede avløpsvann fikk her god anledning til å sette sine uestetiske og skjemmende spor. Strengere krav til recipientens renhet, samtidig med en øket belastning av forurensinger har i løpet av det siste tiår ført til bygging av dyputslipp på en rekke steder for å få blandet avløpsvannet inn i recipientens vannmasser langt mer effektivt enn tidligere. Prinsippet ved virkemåten til et utslippsarrangement er vist på figur 2.

Ledningsnettet på land ender vanligvis i en utløpskum som kan ha følgende funksjoner:

1. Trykkbasseng — for at avløpsvannet skal føres ut til utslippsstedet gjennom utløpsledningen er det nødvendig med en trykkhøyde, H, i bassengen.
2. Sedimenteringsbasseng — for å hindre at uønskede gjenstander ledes ut i utløpsledningen.
3. Inspeksjons- og reparasjonskum — for å ha mulighet til å vedlikeholde utløpsledningen ved f.eks. staking, spyling og rensing.
4. Luftebasseng — for at luft ført med avløpsvannet skal ha mulighet til å unnvike.
5. Utjevningsbasseng — for å dempe vannføringsvariasjoner.

Fra utløpskummen føres avløpsvannet i utløpsledningen ned til utslipspunktet i recipienten. Vanligvis er ledningen nedgravd fra utløpskummen til ca. 3–5 dyp. Derfra ligger den som oftest oppå bunnen. Enden av ledningen er plassert enten direkte på bunnen eller er festet til et arrangement som sikrer utløpet et par meter over bunnen. Avløpsvannet føres vanligvis i dag ut gjennom enden av utløpsledningen. For å oppnå en bedre innblanding av avløpsvannet kan en spredeanordning festes til utløpsledningens ytre ende. En spredeanordning fordeler avløpsvannet gjennom flere stråler ut i et større vannvolum i recipienten. Under denne primærfortynningsfasen vil avløpsstrålens kinetiske energi overføres til omgivelsen i form av turbulens som gir en intens oppblanding av avløpsvannet. Slippes avløpsvannet ut i tyngre omliggende vann, vil gravitasjonskrefter gi en oppadstigende bevegelse av avløpsstrålen med innlagring av det fortynnede avløpsvann ved overflaten eller neddykket i et sprangsjikt. Primærfortynningen kan i stor grad

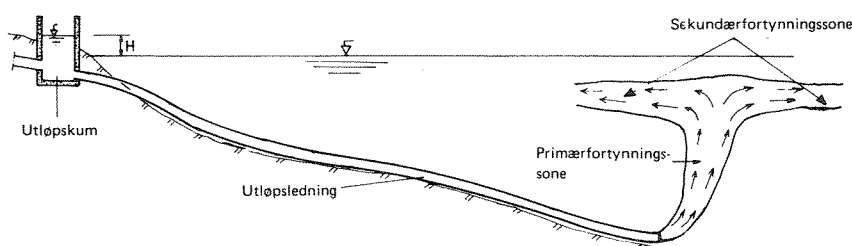


Fig. 2. Utslippsarrangement.

bestemmes ved utforming av utslippsarrangementet fordi hastighet på avløpsstrålen, diameter på utløpsåpningen samt utslippsdyp er avgjørende parametre.

Etter innblanding i recipientens vannmasser vil den videre fortynning være bestemt av de lokale strømmer i recipienten og turbulent diffusjon. Denne fortynningen kalles sekundærfortynning, og den kan ikke påvirkes ved konstruksjon av dypvannsutslippet på annen måte enn at utslippet plasseres på det sted i recipienten der de hydrografiske forhold som strøm, tetthet o.s.v. er gunstigst mulig.

4. Trykksystem

Med trykksystem menes den konstruksjon hvorfra avløpsvannet blir drevet inn i utløpsledningen med overtrykkshøyde H – se figur 2. Denne trykkhøyde er nødvendig for at avløpsvannet skal overvinne friksjonen i utløpsledningen, eventuell egenvektsforskjell mellom avløpsvann og recipientvann, og for at avløpsvannet skal ha en viss utgangshastighet i det det forlater utløpsledningen.

På figur 2 er trykksystemet vist som en kum bygd på land like ved vannkanten. Hvis kummen sløyfes, slik at landledningen går direkte over i undervannsledningen, vil dette få lite å si for trykkhøyden. Denne måten å bygge et trykksystem på har derimot andre svakheter som skal omtales senere i dette kapittel.

I over 90% av tilfellene er trykksystemet bygd opp som vist på figur 2, basert på gravitasjon. Topografiske forhold, og lange utløpsledninger der friksjonstapet er stort, krever i enkelte tilfelle at pumper må installeres for å oppnå den nødvendige trykkhøyde for en forsvarlig drift av utslippsarrangementet.

4.1 Gravitasjon

Selv om alle utløpskummene ved gravitasjonsutløpsledninger i prinsipp virker som vist på figur 2, er det mange varianter å finne. Som utgangspunkt for dimensjonering og utforming i forskjellige tilfelle, skal i det følgende de enkelte funksjoner til utløpskummen nærmere beskrives.

SEDIMENTERINGSBASSENG

Om utløpskummen bør virke som sedimenteringsbasseng er helt avhengig av hva slags avløpsvann en har med å gjøre. Hvis vannet har gjennomgått en mekanisk, biologisk eller kje-

misk renseprosess, skal det være så rent at større sedimenterbare partikler ikke finnes, og dermed er sedimenteringsfunksjonen unødvendig. Her i landet er det i dag mest vanlig å finne at avløpsvannet er lite renset ved siden av at det ofte går overvann i ledningsnettet. Det må derfor regnes med at avløpsvannet kan føre med seg slam og faste partikler i betydelig mengder. Hvis utløpsledningen og hastigheten er stor nok, vil dette materialet kunne ledes videre ut i recipienten.

I denne undersøkelsen av eksisterende dyputslipp har det blitt registrert 34 tilfelle av tilstopping. Som en generell regel bør derfor avløpsvannet, før det ledes ut i utløpsledningen, passere et grovsedimenteringsbasseng og ristarangement. Dette bør bygges i en egen enhet før selve utløpskummen. Hvis dette ikke lar seg gjøre, bør selve utløpskummen utformes som vist på figur 3.

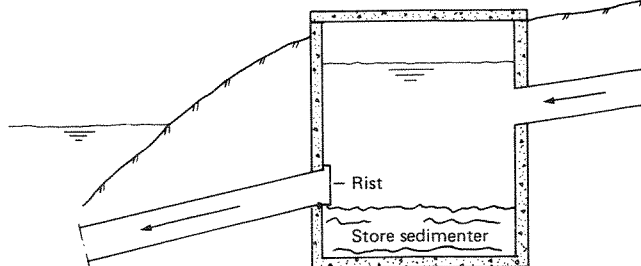


Fig. 3. Utløpskum med sedimenteringsenhet og rist.

Denne løsning krever at kummen jevnlig tømmes for sedimenter, og at risten holdes ren.

Hvis avløpsvannet bare fører med seg mindre partikler og slam som kan føres ut i recipienten, bør utløpskummen utformes i prinsipp som vist på figur 4.

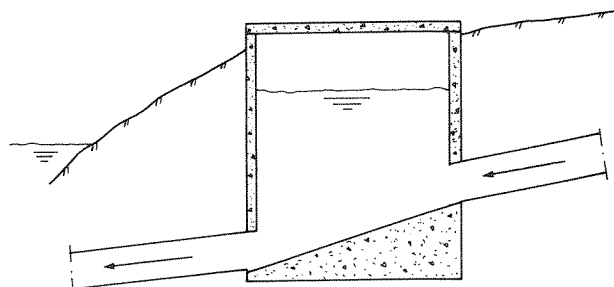


Fig. 4. Utløpskum for avløpsvann som på forhånd minst har passert sandfang og rist.

INSPEKSJONS- OG REPARASJONSKUM

Denne funksjonen er viktig fordi det kan være behov for å kunne rense eller spyle utløpskum og ledning. Et eksempel på en utløpskum med innebygget spylemulighet er vist på figur 5. På utløpsledningen er det påmontert ventil og brannslangekobling. Ved å stenge med ventil (1), koble til trykkvannsledning ved stigerøret (2) og åpne ventil (3), kan utløpsledningen spyles.

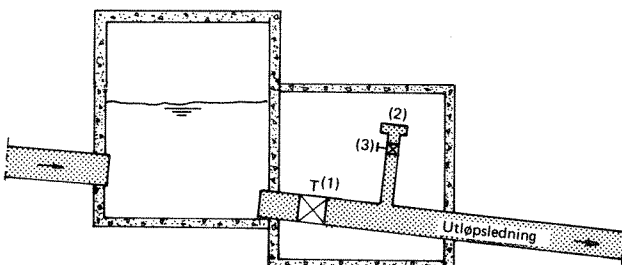


Fig. 5. Utløpskum med arrangement for spyling av utløpsledning.

Denne type er benyttet i flere kommuner med god erfaring. Det er viktig at det settes opp et tidsprogram for spyling. I stedet for å vente til ledningen er tett, bør denne spyles jevnlig.

Hvis utløpsledningen skal repareres, eller hvis det er ønskelig å skjøte på en ny ledning for å forlenge den gamle, kan dette for plastledninger gjøres ved at det blåses luft i ledningen via utløpskummen. I de aller fleste tilfelle vil ledningen da komme opp til overflaten. Man reparerer eller skjøter så ledningen og senker den igjen ved å slippe ut luften.

LUFTEBASSENG

Fjerning av luft i avløpsvannet er en av de aller viktigste funksjoner for en utløpskum, fordi luft som føres inn i selve utløpsledningen er en stor trusel for driften av den. For i alt 180 polyeten-ledninger er det registrert 23 tilfelle av at ledninger har flytt opp. I tillegg kan en nok regne med at luftlommer som har gitt deler av ledninger motfall, er skyld i noen av de 30 tilfellene som er registrert som tilstopping. Av disse tall går det tydelig frem at luft ikke må tillates å komme ut i utløpsledningen med mindre ledningen med vektbelastning er dimensjonert og lagt med tanke på det.

Landledningen kan ledes inn i utløpskummen på flere måter. Figurene 6 og 7 viser to eksempler.

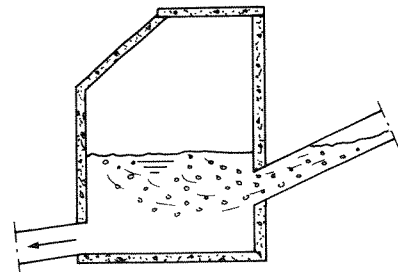


Fig. 6. Utløpskum med dykket innløp.

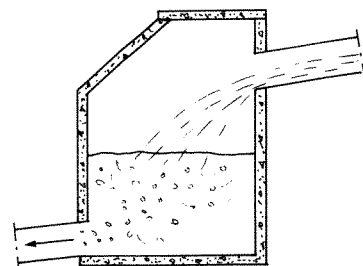


Fig. 7. Utløpskum uten dykket innløp.

På figur 6 er både den innkommende og utgående ledning dykket, mens på figur 7 er den innkommende ledning ikke dykket. I svært mange tilfelle er det terrengforholdene som bestemmer hvor ledningen kommer inn i kummen. Prinsippet vist på figur 6, betyr ofte at grøften på landledningen blir svært dyp.

Når det gjelder problemet med luft i utløpsledninger og hvordan man best hindrer det, er det ikke tvil om at figur 6 gir den beste løsningen. I tilfellet vist på figur 7, vil store mengder luft kunne bli blandet inn i vannet i kummen og derved ha muligheter for å følge med ut i utløpsledningen. Mengden av innblandet luft samt hvor dypt ned i vannet luften blir blandet, er bl.a. avhengig av vannføring og fallhøyde, og er vanskelig å forutsi. Luftbobler i avløpsvannet vil p.g.a. oppdrift søker å unnvike til overflaten. Stigehastigheten er avhengig av boblenes størrelse og form.

I tilfellet vist i figur 6, vil luft kunne være blandet med avløpsvannet, for i overgangen mellom ikke fylt og fylt tverrsnitt på det innkomne rør foregår en innblanding. Det er viktig at vannmassene blir bremset opp i utløpskummen slik at luften får tid til å unnvike før avløpsvannet går videre ut i utløpsledningen. Prinsippet må derfor bli å legge inntak og uttak i utløpskummen lengst mulig fra hverandre og

inntaket så høyt som mulig i forhold til uttaket, men fortsatt neddykket.

Et problem som det ofte ikke blir tatt hensyn til ved konstruksjon av utløpskummer er at virveldannelse kan føre luft inn i utløpsledningen. Prinsippet er vist på figur 8.

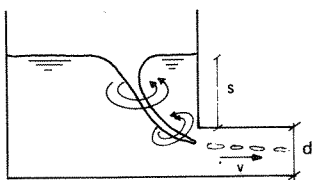


Fig. 8. Luftugsende virvel.

Når slike luftugsende virvler vil danne seg er vanskelig å forutsi, men symmetrien i utløpskummen er her ofte en viktig faktor.

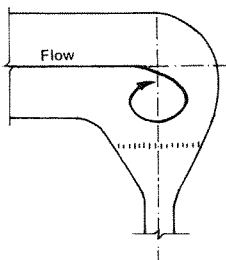


Fig. 9. Usymmetrisk tilstrømning (Horisontalsnitt).

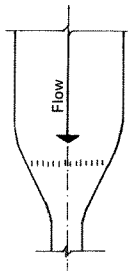


Fig. 10. Symetrikk tilstrømning (Horisontalsnitt).

Inntaket vist i figur 9 er mer utsatt for virveldannelse enn inntaket vist i figur 10.

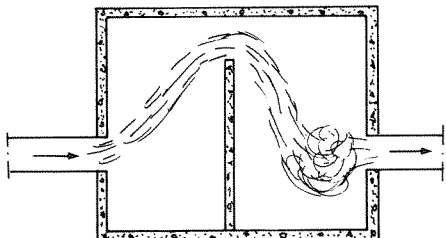


Fig. 11. Delevegg i utløpskum har her ført til usymmetri og virveldannelse (Horisontalsnitt).

I figur 11 er vist et tilfelle hvor man økte oppholdstiden i kummen ved å sette inn en skillevegg. En negativ effekt var at det dannet

seg en permanent luftsugende virvel ved inntaket til utløpsledningen p.g.a. lokal hastighetsökning.

For en del kraftverksinntak er det foretatt undersøkelser om hvilken neddykking som er nødvendig for å hindre virveldannelse med luftinnsugning, referanse 1. Følgende empiriske formel er fremkommet:

$$s = C \cdot v \cdot (d)^{1/2}$$

s = neddykking, se figur 8.

C = konstant og avhengig av de geometriske forhold.

v = hastigheten i utløpsledning, se figur 8.

d = diametren i utløpsledning, se figur 8.

Denne formelen kan ikke uten videre overføres til å gjelde for utløp i en utløpskum, men den viser hvilke parametere som er av betydning. Det finnes i dag ingen sikre kriterier for hvor stor neddykking utløpet i kummen skal ha. Det er enighet om at utløpet bør være neddykket, og ofte settes en minimumsgrense på ca. 50 cm. Selv om det teknisk er mulig å gjennomføre, kan en løsning med neddykket inntak være urealistisk økonomisk p.g.a. terregngforholdene på stedet eller stor forskjell på høy- og lavvann. Det bygges derfor utløpsledninger der inntaket til ledningen i kummen ikke bestendig er neddykket. I slike tilfelle må en ta hensyn til at avløpsvannet vil føre med seg luft ut i ledningen. Det kan danne seg et vannstandssprang nede i utløpsledningen hvor luft vil bli blandet inn i avløpsvannet. Betingelsene for at en slik utløpsledning skal fungere, er at ledningen hele veien legges med godt fall, slik at luft i ledningen har størst mulig sjansse til å gå motstrøms når vannmengden og vannhastigheten tillater det, og at vektbelastringen på ledningen velges så stor at ledningen vil ligge i ro selv om den enkelte ganger kan være fylt med store mengder luft.

Hva som kan skje i ledninger lagt under slike forhold skal belyses i et eksempel fra et eksisterende anlegg. Figur 12 viser traséen til en utløpsledning der utløpskummen ligger 13 m over recipientnivå.

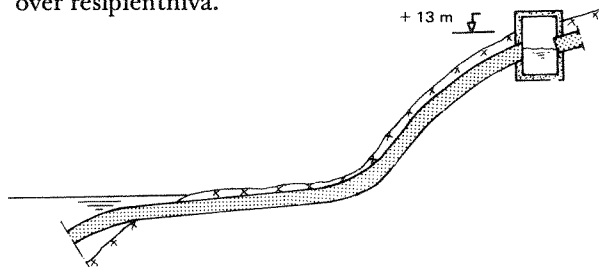


Fig. 12. Utløpsarrangement med utløpskum 13 m over recipientnivå.

Ved befaring på dette anlegget var tilrenningen kraftig p.g.a. langvarig regnvær. Vannet som gikk ut i utløpsledningen med stor hastighet, dro med seg luft. Ledningstverrsnittet var bare $\frac{3}{4}$ fylt i kumnivå. Lavere nede gikk ledningen full, og hastigheten ble mindre. Luft, dratt med ut i ledningen, samlet seg et eller annet sted fra det flate partiet og utover og reduserte kraftig tverrsnittet der avløpsvannet kunne gå. Den nødvendige trykkhøyde som trengtes p.g.a. dette, økte kraftig, og oppstuvningen gikk helt opp til kummen på + 13 m. Avløpsvannet var nær ved å flyte over kummen, noe som tydeligvis hadde skjedd før fordi kloakkslam lå rundt kummen og nedover fjellsiden. Den reduserte hastighet og stor ansamling av luft førte til at luften klarte å gå motstrøms igjen. Dette skjedde ved at store luftbobler med kraftig støy kom motstrøms i ledningen og boblet ut i utløpskummen så vannspruten sto. Dermed ble tverrsnittet på ledningen tilgjengelig for vannet igjen, og oppstuvningen helt opp i utløpskummen var ikke nødvendig for den aktuelle vannføringen. Vannstanden sank derfor hurtig, utløpet ble igjen delvisliggende over vann, og luft ble revet med. Dette hendelsesforløp gjentok seg med en periode på ca. 1 minut.

Problemene i forbindelse med luft i utløpsledninger omtales i et eget avsnitt og skal senere utredes i et eget forskningsprosjekt.

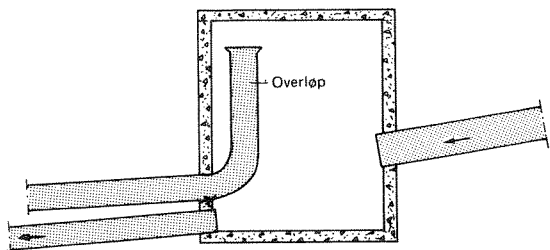


Fig. 13. Utløpskum med overløp.

Er variasjonene i vannføringen momentane og kraftige nok, vil det kunne føre til ekstreme vannivåer i utløpskummen. Dette er særlig et aktuelt problem hvis man har pumpeledning, og problematikken med beregningsgrunnlaget tas opp igjen der.

I det følgende skal vises enkelte eksempler på litt spesielle utløpskummer.

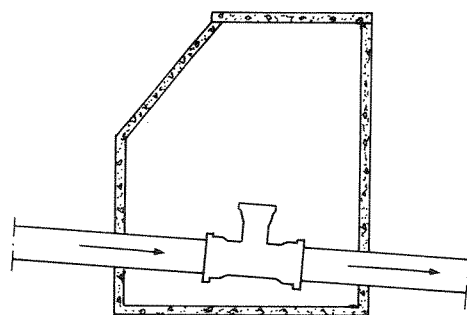


Fig. 14. Innløp og utløp i utløpskummen er koblet sammen.

I figur 14 er det inngående og det utgående rør koblet sammen. Her vil hastigheten på avløpsvannet ikke minske i kummen, men følge korteste vei videre i utløpsledningen. Eventuell luft i vannet vil her ha liten tid til til å unnslippe.

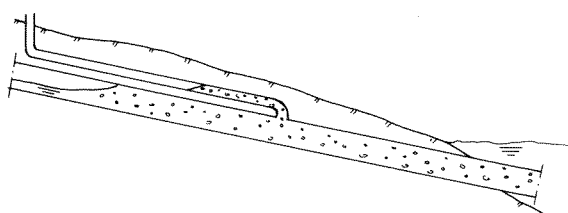


Fig. 15. Lufterør montert på en utløpsledning.

Det samme vil skje i tilfellet vist i figur 15. Vannmassene vil fare alt for raskt forbi utluftningspunktet. Det burde her vært en utvidelse av utløpsledningen for å bremse på vannhastigheten.

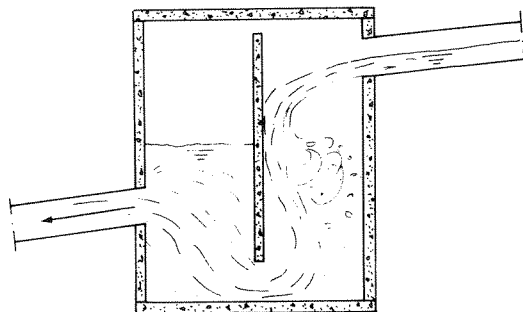


Fig. 16. Delevegg i utløpskum virker som energidreper og øker oppholdstiden til avløpsvannet. (Vertikalsnitt).

Figur 16 viser et eksempel på delvegg i en kum som vil dempe den kinetiske energien på det innkomne vann, samt gjøre oppholdstiden lengre, slik at luft får tid til å unnvike. Oppholdstiden er også øket i tilfellet vist på figur 11, men her har deleveggen ført til virveldannelse.

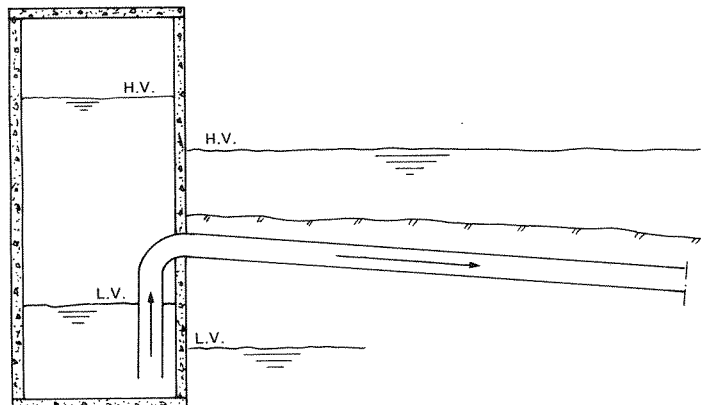


Fig. 17. Arrangement i utløpskum for å sikre neddykket inntak til utløpsledningen.

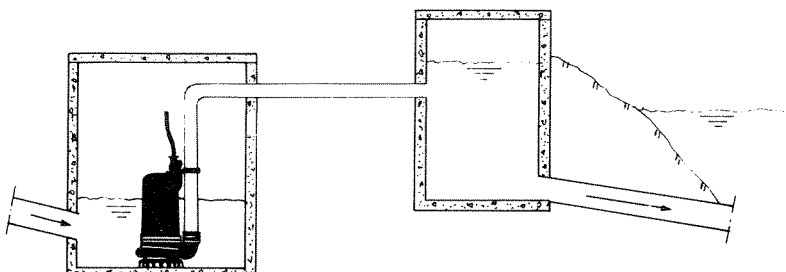


Fig. 18. Pumping via en utløpskum.

I figur 17 er det i prinsipp vist hvordan man kan sikre neddykking av inntaket samt unngå store gravearbeider i tilfelle hvor det er langgrunt, og med stor forskjell på høy- og lavvann. Her må advares mot luftansamling i høydepunktet.

For å unngå høye frittstående utløpskummer, evt. reduserer gravearbeidet på land, kan kummen legges på skrå mer i flukt med terrenget.

4.2 Pumping

Som nevnt kan det være nødvendig enkelte steder å bygge pumpestasjon for at avløpsvannet skal få den nødvendige energi for transport ut i utløpsledningen. På figur 18 vises i prinsipp en god løsning for et pumpesystem.

Fra ledningen kommer avløpsvannet inn i pumpesumpen. Derfra pumpes vannet over i et fordelingsbasseng som virker som en vanlig utløpskum for en gravitasjonsledning.

SEDIMENTTERINGSBASSENG

Det må stilles krav til renhet på det avløpsvannet som kommer inn i pumpesumpen, fordi en pumpe raskt slites ned eller stoppes til hvis

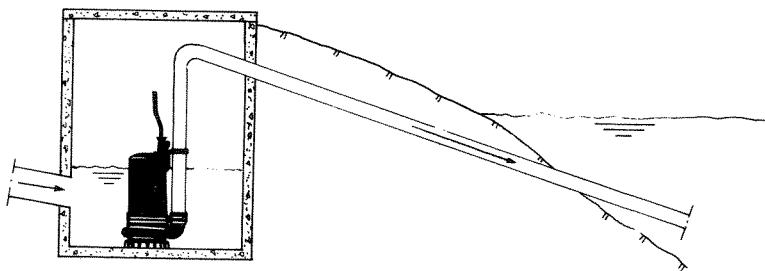


Fig. 19. Pumping direkte på utløpsledningen.

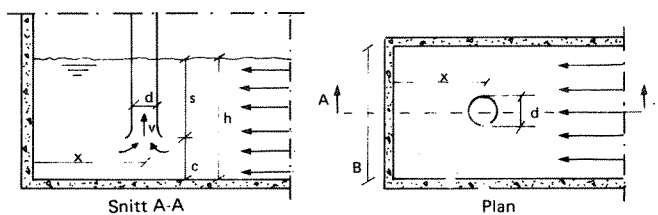


Fig. 20. Inntak i pumpesump.

vannet inneholder mye sand, grus, tøyfiller og liknende ting.

Det er konstruert pumper spesielt beregnet på urensset kloakkvann, men minstekravet bør være at før pumpesumpen må det monteres et sandfang med rist, evt. en kloakkvern. Derfor bør ikke en pumpesump ha noen sedimenteringsfunksjon. I praksis vil imidlertid innsugingen til pumpen skje et stykke over bunnen, og det vil være nødvendig med visse mellomrom å rense opp bunnen i pumpesumpen.

INSPEKSJONS- OG REPARASJONSKUM

Her henvises til det som er skrevet tidligere for gravitasjonsledninger. Utløpskummen vil også her være arbeidsplassen ved rensing, staking og spyling av utløpsledningen.

I mange tilfelle er utløpskummen blitt sløyfet som vist på figur 19. Her pumpes avløpsvannet direkte inn i utløpsledningen.

Bruk av redskap i utløpsledningen fra landenden blir på denne måten vanskelig.

LUFTEBASSENG OG UTJEVNINGSBASSENG

Som i gravitasjonsledninger kan luftinnsugning også være et problem i pumpeledninger. Her er det av betydning om pumpesystemet er bygd som vist på figur 18 eller på figur 19. Hvis avløpsvannet blir pumpet direkte ut i ledningen som vist på figur 19, vil eventuell luft sugd inn i pumpen, også gå direkte ut i ledningen, evt. samle seg i høybrekket like etter pumpen. En luftpropp i ledningen vil nedsette pumpeeffekten i vesentlig grad, samtidig som faren for oppflyting er til stede. Det er derfor meget viktig å motvirke at det danner seg luftinnsugende virvler i pumpesumpen. Dette problem er beskrevet tidligere for en utløpskum. Her skal i tillegg tas med noen opplysninger fra litteraturen om pumpeinntak av type vist på figur 20, referanse 2.

Avgjørende faktorer for muligheten for virveldannelse med innsugning av luft er inntakets dybde s , det totale vanndyp h , inntakets diameter d , innsugningshastighet v , samt pumpesumpens geometri.

$d = 8''$ $B = 8'$
bottom clearance $c/d = 0,9 \Rightarrow c = 0,9 \cdot 8'' = 7,2''$

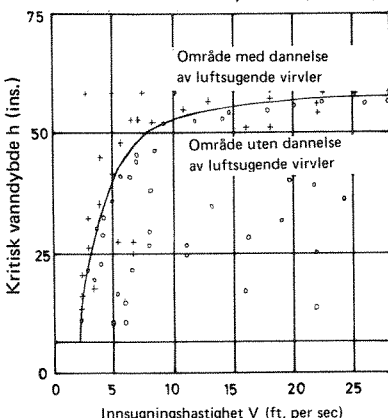


Fig. 21. Data fra forsøk med dannelsen av luftzugende virvler.

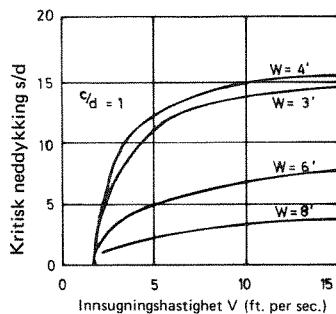
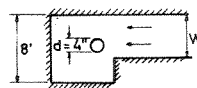


Fig. 22. Betydning av usymmetrisk tilstrømning på dannelsen av luftzugende virvler.

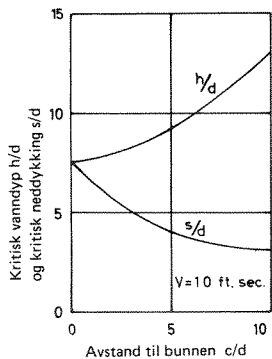


Fig. 23. Betydning av avstand til bunnen på dannelsen av luftzugende virvler.

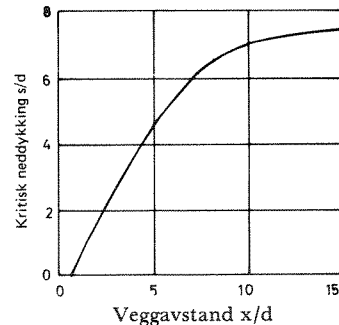


Fig. 24. Betydning av veggavstand på dannelsen av luftzugende virvler. Innugsningsrøret er plassert langs sentrallinjen i sumpen.

Figur 21 viser en kurve som gir resultatet av forsøk på å finne hvilken neddykking inntaket må ha ved forskjellige innsugningshastigheter for at luftzugende virveldannelse skal unngås.

Figur 22 viser hvilken effekt usymmetrisk tilstrømning har på nødvendig neddykking.

Figur 23 viser effekten av avstanden mellom bunn og inntak.

Figur 24 viser effekten av plasseringen av inntaket i forhold til endeveggen i pumpesumpen.

Figur 25 viser resultatet av forsøk med forskjellige utforminger av inntaket.

Konklusjonen er at de gunstigste forhold oppnåes hvis hastigheten i innløpet er liten, hvis tilstrømmingen er symmetrisk, hvis inntaket har en god avstand fra bunnen, og hvis inntaket er plassert så nær endeveggen i pumpesumpen som mulig.

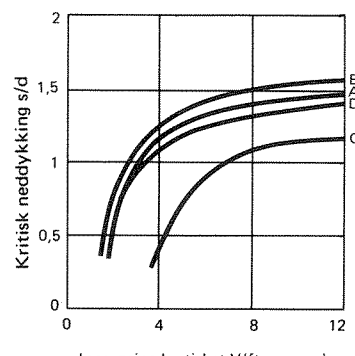
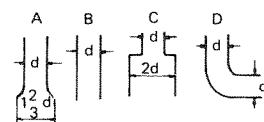


Fig. 25. Effekten av forskjellige utforminger av inntaket på dannelsen av luftzugende virvler.

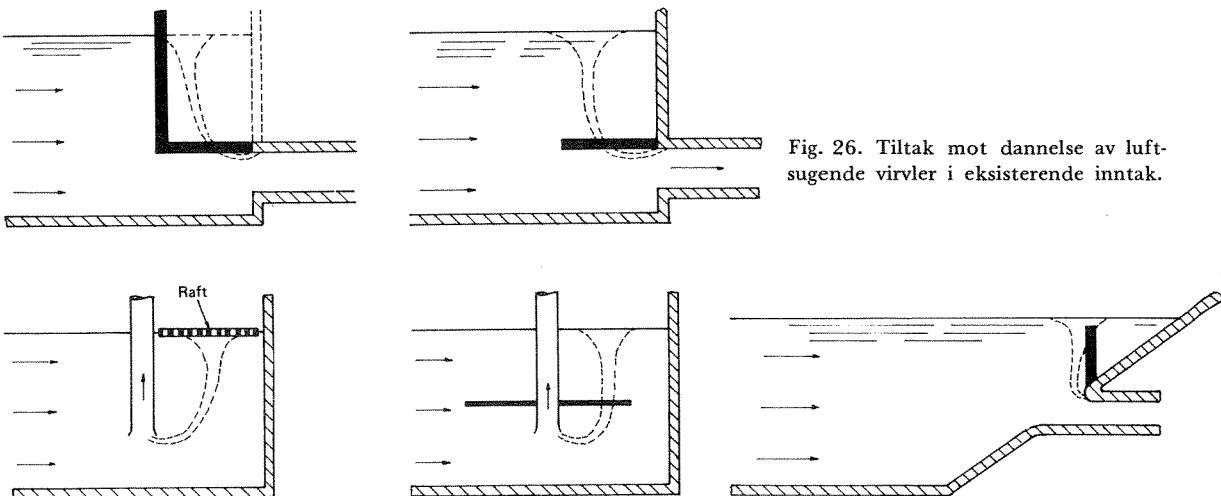


Fig. 26. Tiltak mot dannelsen av luftsugende virvler i eksisterende inntak.

Hvis man i et eksisterende anlegg har problemer med luftsugende virvler, kan det være vanskelig å gjøre noe med geometrien. Man kan i slike tilfelle forsøke med løsninger som vist på figur 26.

I tilfellet med en pumpestasjon bygd i prinsipp som vist på figur 19, vil pumpen, hvis nivåbryterne i sumpen streiker, snart kunne suge en blanding av luft og vann som føres direkte ut i ledningen.

Ved pumpestart og stopp, kan det ved uheldig konstruksjon av pumpesumpen også være fare for at luft blir ført med ut i utløpsledningen. Det må være en viss avstand mellom det nivå i sumpen som pumpen kobles ut ved og nivået på inntaket til pumpen, fordi vannet i ledningen ved pumpestopp p.g.a. treghet trenger en viss tid på å stoppe opp. I denne retardasjonsperioden vil vann fortsatt suges ut i ledningen fra pumpesumpen.

Det finnes eksempler på pumpestasjoner der det i høybrekket er montert en ventil for manuell utlufting. En bedre løsning er et opplegg som tillater at eventuell luft slipper ut øyeblikkelig. Dette kan oppnås ved at det påmonteres et åpent utluftningsrør som ledes tilbake i pumpesumpen eller over høyeste trykknivå.

Bygger man opp et pumpesystem som vist på figur 18, blir faren for at luft føres inn i utløpsledningen betydelig redusert fordi luften kan unnvike i utløpskummen etter pumpesumpen.

Trykkstøt ved på og avslag vil bli vesentlig dempet i utløpskummen, hvor det oppstår svingninger i vann-nivået. Utløpskummen må derfor være så dyp at vann-nivået i den etter pumpestopp ikke synker under innløpet til utløpsled-

ningen. Likeledes må kummen være så høy at den kan opppta nivåökningen etter pumpestart.

I det følgende skal det vises hvordan svingningene i vannnivået i utløpskummen kan beregnes for et utslipp hvor avløpsvannet fritt kan strømme ut av utløpsledningens ende. Avgjørende parametre er vist på figurene 27 og 28.

- Q_I = innkommende avløpsmengde fra pumpe
- Q_U = utgående avløpsmengde i utløpsledningen.
- V_U = avløpsvannets hastighet i utløpsledningen.
- D_U = utløpsledningens indre diameter.
- L = utløpsledningens lengde.
- y = utslippsdyp.
- $\Delta\gamma$ = forskjell i tetthet mellom avløpsvann og recipientens vann.
- γ_0 = avløpsvannets tetthet.
- A = utløpskummens areal. (Horisontalsnitt).
- A' = utløpskummens areal.
- h = vannnivå i utløpskummen over recipientens vannnivå.
- h_T = total trykkhøyde nødvendig for vannføringen i utløpsledningen.
- f = friksjonskoeffisient.
- g = gravitasjonskonstanten
- $h-h_T$ = nivåforskjell som oppstår p.g.a. hastighetsforandring i utløpsledningen.

Følgende likninger kan settes opp:

Bevegelseslikning:

$$\frac{L}{g} \cdot \frac{dV_U}{dt} + h_T - h = 0 \quad 1)$$

$$\text{og } Q_U = \frac{\pi D_U^2}{4} V_U \quad 2)$$

Kontinuitet:

$$A \cdot \frac{dh}{dt} = Q_I - Q_U \quad 3)$$

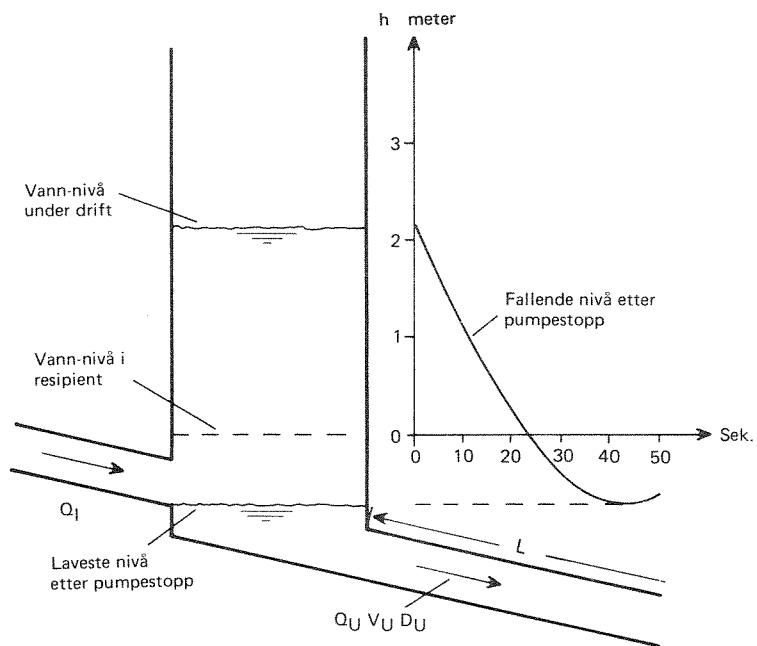


Fig. 27. Fallende vann-nivå i utløpskummen etter pumpestopp.

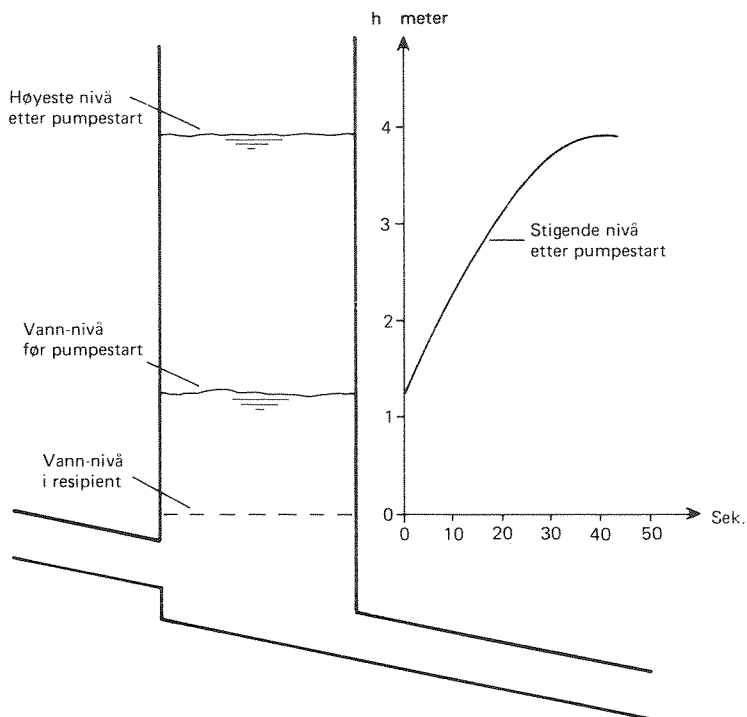


Fig. 28. Stigende vann-nivå i utløpskummen etter pumpestopp.

Trykkhøyde:

$$h_T = \frac{\Delta\gamma}{\gamma_0} \cdot y + h_f + \frac{V_U^2}{2g} \quad 4)$$

hvor $h_f = f \cdot \frac{V_U^2}{2g} \cdot \frac{L}{D_U}$ (friksjon)

I praksis løses disse likningene skrittvis ved valg av endelige tidsintervall Δt , og skrittene nummeres med i.

Likningene kan nå skrives:

$$\Delta V_{U,i} = \frac{g}{L} \Delta t (h_{i-1} - H_T, i-1) \quad 1)$$

$$Q_{U,i} = \frac{\pi D_U^2}{4} \cdot V_{U,i} \quad 2)$$

$$\Delta h_i = \frac{\Delta t}{A} (Q_{I,i-1} - Q_{U,i-1}) \quad 3)$$

$$h_{T,i-1} = \frac{\Delta\gamma}{\gamma_0} y + f \frac{L}{D_U} \cdot \frac{V_{U,i-1}^2}{2g} \\ + \frac{V_{U,i-1}^2}{2g} \quad 4)$$

Er en spredeanordning tilknyttet utløpsledningens ende, må utløpsstrålenes større energihøyde taes inn i likning 4. Har utløpskummen variabelt areal, føres dette inn i likning 3.

Likeledes kan gradvis endring i pumpemengde føres inn i likning 3.

Beregningseksempel:

Gitt:

$$D_U = 500 \text{ mm}$$

$$L = 500 \text{ m}$$

$$y = 50 \text{ m}$$

$$\Delta\gamma = 0,025$$

$$\gamma_0 = 1,000 \text{ kg/dm}^3$$

$$A = 2 \text{ m}^2$$

$$f = 0,016$$

Utslippet er i stasjonær drift med 200 l/s i avløpsmengde, da pumpemengden ved $t = 0$ plutselig reduseres til 0.

I tabell 1 er det fallende vannivå i utløpskummen etter pumpestart beregnet numerisk med $\Delta t = 4$ s. Beregningsresultatene er grafisk vist på figur 27.

Etter at avløpsvannet i ledningen er falt til ro startes pumpen plutselig med 200 l/s ved $t = 0$. I tabell 2 er det stigende vannivå i utløpskummen etter pumpestart beregnet for $\Delta t = 4$ s. Beregningsresultatene er grafisk fremstilt på figur 28.

Tabell 1. Beregning av fallende vannivå i utløpskummen etter pumpestopp.

t s	Δt s	h dm	V_U dm/s	$h_T^{(4)}$ dm	$h-h_T$ dm	$\Delta V_U^{(1)}$ dm/s	$Q_U^{(2)}$ l/s	Q_I l/s	$\Delta h^{(3)}$ dm
Før pumpestopp	—	21,5	10,2	21,5	0	0	200	200	0
0	4	21,50	10,2	21,5	0	0	200	0	$\div 4,0$
4	4	17,50	10,2	21,5	$\div 4,0$	$\div 0,31$	200	0	$\div 4,0$
8	4	13,50	9,87	20,95	$\div 7,45$	$\div 0,59$	193,45	0	$\div 3,87$
12	4	9,63	9,29	19,98	$\div 10,35$	$\div 0,81$	181,99	0	$\div 3,64$
16	4	5,99	8,47	18,72	$\div 12,73$	$\div 1,00$	166,07	0	$\div 3,32$
20	4	2,67	7,47	17,34	$\div 14,67$	$\div 1,15$	146,49	0	$\div 2,93$
24	4	$\div 0,26$	6,32	15,97	$\div 16,23$	$\div 1,27$	123,91	0	$\div 2,48$
28	4	$\div 2,74$	5,05	14,71	$\div 17,45$	$\div 1,37$	98,94	0	$\div 1,98$
32	4	$\div 4,72$	3,68	13,39	$\div 18,39$	$\div 1,44$	72,09	0	$\div 1,44$
36	4	$\div 6,16$	2,23	12,93	$\div 19,09$	$\div 1,50$	43,79	0	$\div 0,88$
40	4	$\div 7,03$	0,74	12,55	$\div 19,58$	$\div 1,54$	14,41	0	$\div 0,29$
44	4	$\div 7,32$	$\div 0,80$	12,56	$\div 19,88$	$\div 1,56$	$\div 15,72$	0	$0,31$
48	4	$\div 7,01$							

1), 2), 3) og 4) henviser til likninger.

Tabell 2. Beregning av stigende vannnivå i utløpskummen etter pumpestart.

t s	Δt s	h dm	V_U dm/s	$h_T^{(4)}$ dm	$h-h_T$ dm	$\Delta V_U^{(1)}$ dm/s	$Q_U^{(2)}$ l/s	Q_I l/s	$\Delta h^{(3)}$ dm
Før pumpestart		12,5	0	12,5	0	0	0	0	0
0	4	12,5	0	12,5	0	0	0	200	4,0
4	4	16,5	0	12,5	4,0	0,314	0	200	4,0
8	4	20,5	0,31	12,51	7,99	0,627	6,15	200	3,88
12	4	24,38	0,94	12,58	11,8	0,93	18,44	200	3,63
16	4	28,01	1,87	12,80	15,93	1,25	36,59	200	3,27
20	4	31,27	3,12	13,34	17,93	1,41	61,09	200	2,78
24	4	34,05	4,52	14,27	19,77	1,55	88,67	200	2,23
28	4	36,27	6,08	15,70	20,57	1,62	119,09	200	1,62
32	4	37,89	7,69	17,63	20,26	1,59	150,74	200	0,99
36	4	38,88	9,28	19,97	18,91	1,48	181,93	200	0,36
40	4	39,24	10,77	22,55	16,69	1,31	211,22	200	
44		39,01							÷ 0,22

1), 2), 3) og 4) henviser til likninger.

5. Utløpsledning

5.1. Trasévalg

Valg av utslippssted i en recipient, utløpsledningens trasé og den konstruktive utforming av utslippsarrangementet vil ofte kreve inngående kjennskap til avløpsvannets mengde og sammensetning, såvel som kvantitative og kvalitative forhold i recipientens vannmasser og bunn.

Avløpsvannets mengde og sammensetning er av avgjørende betydning for valg av utslippssted, utslippsdyp og hvilket dyp avløpsvannet bør innlagres på. Avhengig av avløpsmengde må varierende mengde fortynningsvann være tilgjengelig i recipienten. Under primærfortynningsfasen vil større avløpsmengde kunne kreve større utslippsdyp for å oppnå nødvendig fortynning og ønsket innslagningsnivå. Forurensingsvirkning i recipienten som følge av avløpsvannets sammensetning må vurderes i forhold til bruksinteresser i recipienten og tilhørende kvalitetskrav til vannet.

Til våre vannforekomster knytter det seg ofte en rekke bruksinteresser. Hver av disse setter sine krav til vannets kvalitet. De bruksinteresser som oftest kommer i konflikt med utslipp av avløpsvann er vannforsyning, vannet og bunnen og strandsonen som livsmiljø for dyr- og plantesamfunn, rekreasjon, bading osv.

Våre recipienter er preget av opprevne strand-

linjer med mer eller mindre avlukkede passasjerer. Her bevirker øyer, holmer og terskler en dårlig utskifting av vannet med derav følgende fare for akkumulering av forurensinger. Ofte er den naturlige avrenningen og avløpsvann fra ukontrollerte kilder alene tilstrekkelig til å overbelaste slike begrensede vannvolumer med forurensinger.

Generelt bør avløpsvannet søkes innblandet i det dyp hvor det gjør minst skade, og bør vanligvis slippes ut i mest mulig åpne områder hvor det raskt kan føres ut til større vannmasser for videre fortynning. I utslippsområdet vil de hydrofysiske forhold som tetthetsfordeling, strømforhold osv. være bestemmende for avløpsvannets innslagring, fortynning og fordeling etter utslippet.

Bunnens topografi og beskaffenhet er særlig viktig for valg av utløpsledningens trasé. Ca. 90% av alle alvorlige driftsproblemer ved utslipps skyldes i de senere år problemer inne i utløpsledningene. Først og fremst luftansamlinger og avsetninger av faste stoffer. For å unngå disse problemer, er det avgjørende at utløpsledningen gies en jevnt fallende trasé, uten høydepunkter med motfall. For å oppnå dette, vil det kunne være nødvendig å føre ledningen i bukter forbi høyere partier, grave ledningen ned i bunnen og forankre ledningen flytende i vannet over dypere partier. Er det langgrunt med store

variasjoner i vannivået, kan dette innebære betydelige omkostninger ved at ledningen må graves ned over en lang strekning for å unngå motfall. For å beskytte ledningen mot bølger, is og annen mekanisk påkjennning, bør ledningen graves ned i strandsonen. Hvis det er langgrunt, vil dette kunne medføre at ledningen må føres ut i urimelig stor avstand fra land for å nå ned på tilstrekkelig dyp. Faller bunnen raskt mot store dyp, vil det kunne være nødvendig å forankre ledningen flytende i den ytre del, for å nå tilstrekkelig ut fra land uten at ledningen føres ned på et urimelig dyp.

Blir faste sedimenterbare stoffer ført ut i ledningen, bør utslippet velges slik at de kan deponeres på bunnen under utslippet uten fare for tiltetning av avløphullene.

Foruten at bunnens beskaffenhet er av betydning når ledningen skal graves ned, skal også bunnen tjene som underlag for den oppankræde utløpsledning. Fjell og store steiner vil gi en punktvis opplagring av ledningen som lett forårsaker brudd. Mindre steiner, sand og leire gir vanligvis et stabilt underlag. Løsere muddermasse vil forårsake at ledningen med vekter delvis synker ned i bunnen. I elver, elveutløp og i enkelte kystområder vil det kunne være bevegelig sandbunn som følge av strøm og bølgekrefter. Her kan det være nødvendig å grave ledningen ned under laveste bunnprofil.

En grundig kartlegging av bunnforholdene langs utløpstraséen er nødvendig for å kunne velge den beste konstruktive utforming av utslippsarrangementet og derved unngå driftsproblemer senere.

5.1.1 TRASÉUNDERSØKELSE

Ved en forundersøkelse av mulige traséer for en utløpsledning vil en søke å skaffe opplysninger om fallforhold, dybdeforhold og bunnmateriale. I det etterfølgende skal redegjøres for metoder og hjelpebidrager ved traséundersøkelser.

Bunnkart. I første omgang bør eksisterende kartmateriale over dybdeforhold studeres. I innlandsresipienter er det mange steder foretatt opplodding av lokale bunnforhold som kan finnes i kommunen, bedrifter osv. I sjøresipienter vil de vanlige draft, utgitt av Norges Sjøkartverk, inneholde mange opplysninger om

dybdeforholdene. Selv om dybdeangivelsene ofte er unøyaktige og ufullstendige, kan kartene være gode nok for å peke ut steder hvor det er tilstrekkelig utslippsdyp og gi et grovt bilde av mulige traséer.

Lodding. Når det på grunnlag av kart er funnet mulige traséer i et område, melder behovet seg for å undersøke fall- og dybdeforhold bedre. Enkelt er det da å lodde fra is eller båt med line. Dybden kan på denne måten måles ganske nøyaktig. Usikkerheten ved metoden er at man ikke vet hva man måler dypet til. Som eksempel kan nevnes et sted der det skulle legges en 600 mm utløpsledning. Arbeidet ble satt igang under antakelse av at en loddeprofil av traséen var riktig. Den viste en jevn trasé. Da arbeidet skulle utføres, var det umulig å legge ledningen der det var planlagt, fordi den jevne bunnen var overstrødd med oppstikkende fjell og steinblokker. Under loddingen hadde loddet skliidd ned fra disse ujevhetsene og lagt seg på bunnen som besto av slam. Feilaktige opplysninger om bunnforholdene forårsaket i dette tilfelle betydelig ekstraomkostning ved legging.

Ekkolodd. Bruk av båt med ekkolodd og etterfølgende dykkerundersøkelse av traséen blir ansett for å være en god forundersøkelse.

Ved bruk av ekkolodd får man tegnet opp bunnprofilet langs traséen. Det er enkelt og raskt å kjøre over flere alternative traséer. Det ekkoloddet først og fremst gir data om, er avstand ned til det øverste bunnlaget. Varierer bunnmaterialet, er det mulig med øvelse å lese dette ut av utskriften eller ekkogrammet. På en hard steinbunn registreres et kraftigere ekko eller signal enn hvis bunnen er bløt. Ved bruk av spesielle ekkolodd som sender signaler i et lavt frekvensområde, kan signalene også trenge ned i bunnmaterialet og gi data om lagenes tykkelse og avstand til fjell.

Selv om ekkoloddet er et meget nyttig hjelpemiddel ved traséundersøkelser, må det konkluderes med at slike målinger vanligvis alene ikke er tilstrekkelige. Dette fordi ekkoloddet ikke kan gi gode nok opplysninger om bunnens beskaffenhet og om ujevheter som f.eks. steinblokker, synketømmer, vrakgods og andre ting som har betydning for trasévalget.

Dykkerundersøkelser. Etter at det med ekkolodd er funnet en eller flere mulige traséer, bør det foretas en befaring med dykkere. Før så kan skje må traséen merkes slik at dykkerne hele

tiden har noe å orientere seg etter. Det er lett for en dykker å miste retningsorienteringen under vann. Han kan selvfølgelig svømme etter kompass i en på forhånd fastsatt retning, noe som imidlertid begrenser observasjonsmulighetene av bunnforholdene. Under vann er siktforholdene generelt dårlige, og en froskemann ser sjeldent lenger enn 10 m i radius rundt seg. En merking av traséen som dykkerne under befaring lett kan følge, er derfor nødvendig. Dette kan gjøres på flere måter, for eksempel ved at det plasseres bøyer med bunnfester i traséen. Avstanden mellom bøyene reguleres etter siktforholdene i vannet, og vil i mange tilfelle bli mindre enn 10 m. En bedre merkemetode er at man fra en båt i nøyaktig posisjon senker en belastet bunnlime i traséen. Til linjen kan det festes små flytelegermer så dykkerne lett finner linjen selv om den har sunket litt ned i bunnmaterialet. Bunnlinen bør videre ha lengdeangivelser for hver 5. eller 10. m så dykkerne hele tiden kan gi opplysninger med samtidig angivelse av avstand fra et fast punkt.

Ved lange ledninger kan det med fordel brukes undervannstelefon. På land eller i en båt kan alt som dykkerne sier tas opp på båndspiller. Dermed sikres alle opplysningene i tillegg til at det er en stor fordel sikkerhetsmessig at dykkerne hele tiden har kontakt med folk i ledsagerbåten.

Dykkerne kan med sin dybdemåler kontrollere dybden med ca. 0,5–1 m nøyaktighet, avhengig av type måler. Særlig viktig er det at dybdemåleren, selv om den ikke gir helt nøyaktig dyp, kan brukes til å kontrollere fallet langs traséen. Et lite motfall på under 0,5 m vil lett konstateres. Videre vil dykkerne se om det ligger ting i traséen som ikke ekkoloddingen viste. Det kan være steinblokker, synketømmer, vrakgods, wirelaser osv. Dykkerne vil også få et inntrykk av forholdene i nærheten av den påtenkte trasé. De kan se om forholdene er slik at senkingen av ledningen krever finmanøvrering for å unngå ujevnhetet tett inntil traséen eller om ledningen kan legges innenfor et f.eks. 20 m bredt belte. Viser den merkede traséen seg å være uhensiktsmessig valgt p.g.a. ujevnhet, kan dykkerne til en viss grad på stedet undersøke til sidene.

Som regel er dykkerne utstyrt med en sonderstang fra 0,5 – 2 m lang. Med denne kan de stikke gjennom det vanligvis bløte topplaget og undersøke avstanden til fastere grunn, og videre om det er stein, tømmer eller andre ting som ligger like nedi slamlaget. Dette er viktige og

nødvendige opplysninger for entreprenøren som nær strandsonen skal grave ned utløpsledningen, og som også på dypere vann skal avrette ujevnhetene på bunnen. Selv om ledningen ikke skal graves ned, vil den, når det er bløt slambunn, synke noe ned i bunnmaterialet. Det er viktig at ledningen i slike tilfelle ikke blir liggende an på skarpe stener, fordi dette for det første gir utilsiktet tilleggspåkjenning på ledningen og for det andre kan forandre fallforholdene.

Ved de hittil utførte anlegg med utløpsledninger i Norge, har det bare unntaksvis vært foretatt mer omfattende forundersøkelser enn de foran nevnte. For å få bedre kjennskap til grunnforholdene i strandsonen, kan prøvegraving med f.eks. traktorgraver være nyttig. Det kan imidlertid også være aktuelt å supplere med seismiske og geotekniske målinger. Ekstrakostnaden ved slike undersøkelser må sees i forhold til de økonomiske konsekvenser man får hvis det under anleggsarbeidet skulle vise seg å bli uforutsatte problemer med grunnarbeidene. Anvendelse av slik undersøkelse bør vurderes på de steder der grunnforholdene er ukjente, og der man på forhånd vet at forholdene er vanskelige.

Seismiske undersøkelser. Ved seismiske målinger detoneres en sprengladning i grunnen, og trykksøylegenes forplantningshastighet måles av hydrofoner plassert på bunnen som registrerer svingninger. Denne hastigheten er avhengig av materialet bølgene går igjennom. For eksempel vil bølgenes forplantningshastighet være ca. 1.400 m/s i sand, ca. 2.500 m/s i morene og ca. 5.500 m/s i fjell. Dette gir grunnlag for å tegne et bunnkart med angivelse av lagdeling og avstand til fjell.

Geotekniske undersøkelser. Ved anlegg med utløpsledninger der det både over og under vann skal foretas omfattende gravearbeider, kan det være nødvendig med nøyaktig viten om grunnforholdene. Her skal kort redegjøres for aktuelle geotekniske målinger og hva de kan gi.

Dreiesondering er en rent orienterende undersøkelse som raskt gir et bilde av løsmassenes relative fasthet nedover i dybden. Undersøkelsen gir grunnlag for mer omfattende undersøkelser som f.eks. prøvetaking og vingeboring. Dreiesondering utføres med 20 mm borstålstenger. Resultatet av dreiesondering angis som vist på figur 29, referanse 4.

Figuren viser et stolpediagram med antall halve omdreininger av boret pr. halvmeter synkning som funksjon av dypet, og som funksjon av

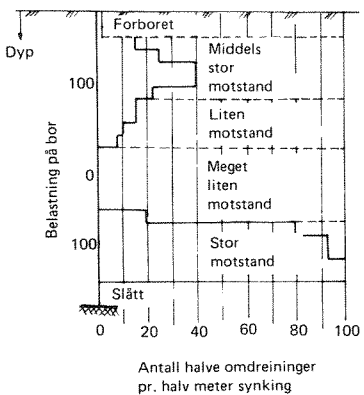


Fig. 29. Framstilling av resultater fra dreiesondering.

vektbelastning av boret under dreiningen. Dreiemotstanden må vurderes i forhold til den med dybden økende friksjonsmotstand langs borestengene. Dreiesondering anvendes i løsmasser med relativt lav fasthet.

Ramsondering er også en orienterende undersøkelse som blir brukt til å måle løsmassenes relative fasthet. Framgangsmåten er at borstål-stenger skrues sammen med glatte skjøter, forsynes med firkantspiss og rammes ned i grunnen med et lodd. Resultatet av ramsonderingen angis som vist i figur 30.

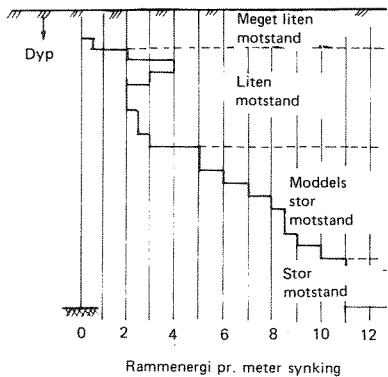


Fig. 30. Framstilling av resultater fra ramsondering.

Figuren viser et stolpediagram med ramenergien pr. meter synkning som funksjon av dybden.

$$\text{Rammenergi} = \frac{\text{Loddvekt} \times \text{fallhøyde}}{\text{Synkning pr. slag}} \text{ (tonn m/m)}$$

Ramsondering anvendes i fastere masser og gir blant annet opplysninger som kan benyttes til å vurdere pellengde og pelramming.

Ønskes såkalte uforstyrrede bunnprøver for undersøkelse i laboratorium er det vanlig å benytte et tynnvegget rør som presses ned i grunnen for prøvetaking. Ved nedpressing stenger et stempel for åpningen i røret. I det ønskede dyp for prøvetakingen dras stemplet tilbake i røret, og en prøve blir innesluttet. Disse uforstyrrede bunnprøvene forsegles ute i marken og sendes til laboratoriet for undersøkelse. Laboratorieundersøkelsen vil kunne omfatte bestemmelse av vanninnhold, humusinnhold, plastisitetsgrenser, romvekt, porositet, udrenert skjærfasthet, kornstørrelsesfordeling osv.

Med vingeboring kan den udrenerte skjærfastheten i bunnmassene måles direkte i felten. Vingeboret presses ned ved hjelp av et rør. Vingen er gjerne 4-bladet og står i forbindelse med et måleinstrument gjennom en stålstang inne i nedpressingsrøret. I den ønskede måledybde presses vingen ut av en beskyttelsessko. Den dreies så med lav og konstant hastighet inntil brudd oppstår, og vridningsmoment registreres. Deretter roteres vingen ca. 20–30 omdreininger før man foretar en ny registrering av vridningsmomentet, og den omrørte skjærfastheten kan beregnes.

De nevnte geotekniske målemetodene er først og fremst tilpasset for bruk over vann. I tilfelle med en utløpsledning vil det være aktuelt å foreta målinger på land hvor det ofte er nødvendig med omfattende gravearbeider i forbindelse med bygging av utløpskum. Nær land hvor ledningen er nedgravd til et visst vanndyp, kan det også være behov for å måle geotekniske parametere i bunnmassene. På beskjedne vanndyp under 5 m volder ikke dette spesielle problemer. Boring eller prøvetaking kan f.eks. foretas fra en oppankret flåte. Får man større vanndyp, kan samme framgangsmåte benyttes, men arbeidet blir vanskeligere. På dyp fra 5–20 m kreves det som regel at borstengene beskyttes av hensyn til bøyepåkjenningene som kan oppstå. Prøvetakingsutstyret blir derfor raskt tyngre med økende vanndyp, og dypere enn 10–20 m vil det være nødvendig med kran for å håndtere utstyret.

Hittil har geotekniske målinger i forbindelse med utløpsledninger i liten grad vært utført på dypt vann. Som regel har man stoppet på ca. 5 m vanndyp, fordi videre ligger utløpsledningen oftest oppå bunnen.

5.1.2 EKSEMPLER PÅ LEDNINGSTRASÉER

I det følgende vises noen eksempler på ledningstraséer som er undersøkt med dykkere.

Figur 31 viser en ledning som ligger med godt fall ned til ca. 11 m dyp. Deretter følger en lang strekning med slambunn som er tilnærmet horisontal. Så følger et område på ca. 50 m lengde, som er overstrødd med store steinblokker. Her er det motfall på traséen. Videre utover er det slambunn, og fallet er jevnt nedover. Ledningen har opprinnelig ligget på bunnen i hele lengden, og i området med steinblokker har den hatt et høybrekk. Etter at anlegget har blitt tatt i bruk, har luft blitt dratt ned i utløpsledningen og ført utover, men har stoppet opp i høybrekket. Denne luftmengden har vært så stor at ledningen med belastningsblokker er løftet fra bunnen. Dermed har høybrekket blitt mer markert. Luftlommer vil bli stående i et slikt høybrekk og nedsette den hydrauliske kapasiteten vesentlig.

Figur 32 viser situasjonen et annet sted. Her er også utløpsledningen lagt med motfall, men det har ikke samlet seg så mye luft i høybrekket at ledningen er løftet fra bunnen. En årsak til det, er at ved denne ledningen er inntaket helt neddykket i utløpskummen, noe som ikke er tilfelle for ledningen vist på figur 31. Likeledes vil her luft kunne unnvike i utløpet like etter høybrekket, noe som reduserer faren for større luftansamlinger. En annen sak er at motfall er uehdlig, fordi stoffer i kloakkvannet vil ha lettere for å sedimentere og stoppe til ledningen.

Større og mindre steinblokker i traséen er ofte et problem. Ved undersøkelse med dykkere ble det registrert flere tilfelle av at utløpsledningene lå som vist på figur 33. Selv om ledningen ikke direkte ligger i motfall er en slik plassering uehdlig p.g.a. den ekstra punktbelaاستning ledningen blir påført. Polyetenledninger har vist seg å tåle slike belastninger relativt godt hvis de får ligge i ro. For ledninger av stivere materiale vil punktbelaاستninger lett føre til brudd.

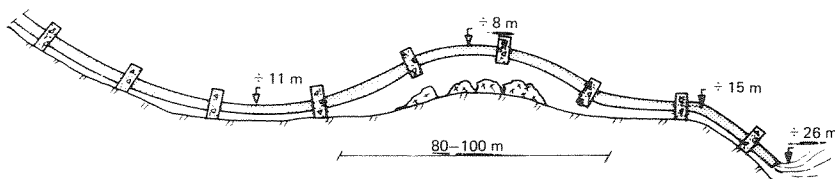


Fig. 31. PEH-ledning løftet fra bunnen p.g.a. luftansamling.

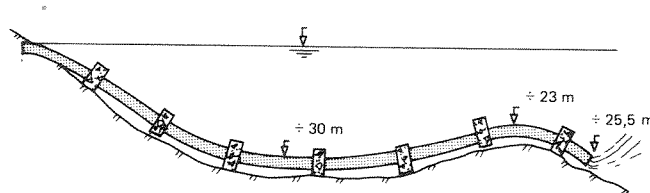


Fig. 32. PEH-ledning lagt med høybrekk.

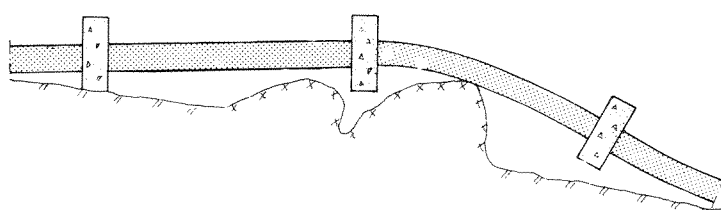


Fig. 33. PEH-ledning lagt over oppstikkende fjell.

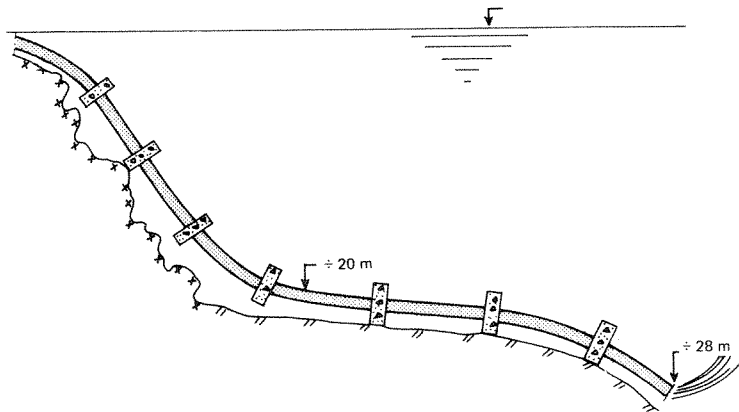


Fig. 34. PEH-ledning lagt i sterkt varierende fall- og bunnforhold.

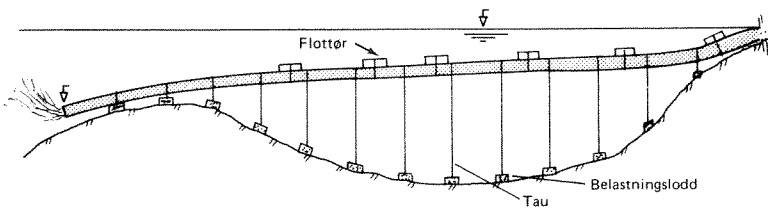


Fig. 35. Utløpsledning plassert svevende over bunnen over et dypparti.

Figur 34 viser traséen til en annen utløpsledning av polyeten. Ned til 20 m dyp ligger den i en bratt uryddig steinur som skråner med ca. 30–45° fall. Deretter avtar fallet sterkt, og bunnmaterialet er slam. Ledningen virket utsmerket ved befaringen og har ved sin fleksibilitet tålt de sterkt varierende fall- og bunnforholdene godt.

I tilfelle der strekninger med ujevn bunntopografi og motfall ikke er til å unngå, har det vært en løsning å la ledningen sveve over dype partier. Et eksempel på dette er vist i figur 35.

Figuren viser dybdeforhold som ofte forekommer med en grunn terskel og et dypere område innenfor.

5.2 Rørmateriale

En utløpsledning vil under transport, legging og forankret til bunnen være utsatt for spesielle påkjenninger som setter sine krav til rørmaterialet. Avhengig av beliggenhet, transportmuligheter, anleggsarbeider, driftssikkerhet, kostnader etc. velges best egnet rørtypen.

Med hensyn til kostnader og kvalitet på anleggsarbeidet er det en fordel om undervannsarbeid kan unngås i størst mulig grad. Rørtyper som produseres i hele lengder eller som kan skjøtes på land slik at hele utløpsledningen

senkes samtidig, er derfor fordelaktige fremfor de rørtypene som må senkes i seksjoner og skjøtes under vann.

En utløpsledning som skal senkes, vil særlig før senkingen kunne bli utsatt for store bølge- og strømkrefter. Under senkingen vil ledningen være utsatt for bøyepåkjenninger. Disse to fasene, før og under senking, stiller derfor spesielle krav til rørets mekaniske egenskaper. Fleksible rørtyper er her fordelaktige fremfor stive rør.

Vanligvis vil bunnen der utløpsledningen skal ligge være til dels ujevn. Et fleksibelt rør som til en viss grad former seg etter bunntopografien, er derfor langt å foretrekke fremfor stive rør som på lange strekninger kan komme til å ligge uten kontakt med bunnen, slik at store bøyespenninger oppstår. På den annen side må et fleksibelt rør ha tilstrekkelig styrke til å tåle nedgravning. Likeledes må røret tåle nødvendig driftstrykk og trykkstøt forårsaket av pumping eller kraftige vannføringsvariasjoner. Stivheten må også være så stor at ledningen ikke skyter rygg som følge av en mindre luftansamling.

Ledningsmaterialer som ikke påvirkes av korrosjon eller annen tæring fra sjøvann, har store fordeler fremfor rørmateriale som angripes. Dette er innlysende med tanke på krav om tethet og levetid.

I det foregående er det stilt opp en del generelle krav til en undervannsledning og dens rørmaterialer for at den skal klare de påkjenninger som oppstår før, under og etter legging. I det følgende vil enkelte rørmaterialer og deres egenskaper bli beskrevet nærmere.

5.2.1 PLASTRØR

Det finnes mange typer plast med varierende egenskaper. De mest aktuelle for utløpsledninger har verdifulle egenskaper, såsom stor bøyelighet, stor korttidsholdfasthet (viktig i fasen før og under senking av ledningen), kan produseres og fraktes i hele lengder uten skjøt, angripes ikke av sjøvann eller av de mest aktuelle væsker og stoffer som forekommer i avløpsvann.

Plast fremstilles som regel gjennom polymerasjon av enkle organiske stoffer. På denne måten dannes lange trådformige molekyler. Disse molekylene kan være frie innbyrdes eller bundet sammen med tverrforbindelser. Plast uten tverrforbindelser mellom molekylene smelter ved oppvarming og kalles termoplast. Plast med tverrforbindelse mellom molekylene smelter ikke ved oppvarming før bindingene brytes og kalles herdeplast.

De mest kjente termoplastene som blir brukt i utløpsledninger er polyeten og polyvinylklorid. Av herdeplaster er glassfiberarmert polyester mest aktuelt. Vanligvis forkortes disse navnene, og man skriver PE for polyeten, PVC for polyvinylklorid og GAP for glassfiberarmert polyester. Polyeten produseres med lav tetthet og betegnes da med forkortelsen PEL, og med høy tetthet og betegnes da med PEH.

PEL er mest brukt ved små dimensjoner (diameter under 100 mm). De produseres gjerne i hele lengder og transporteres på tromler.

PEH brukes mer ved større dimensjoner, og produseres i dag med diametre fra 40 til 1 200 mm. Hele lengder av PEH rør transporteres ofte sjøveien trukket etter en taubåt. Det finnes også mobile rørfabrikker som produserer den ønskede lengde på stedet. Rør av dette materiale kan også skjøtes ved sveising. PEH er uten sammenlikning det mest brukte rørmaterialen i utløpsledninger i Norge, og dimensjonene er vanligvis mellom 200 mm og 600 mm.

PVC rør er stivere og mer tynnveggede enn PEL og PEH. De produseres vanligvis i 6 m lengder i dimensjoner fra 40 mm til 400 mm. Rørene kan skjøtes ved liming eller med muffer og tetningsringer.

GAP rør er meget stivere enn de andre plastrørene, og blir ikke mye brukt som sjøledninger her i landet. Rørene produseres normalt i området 150 mm til 2000 mm, men blir mest brukt i området 500 mm til 1 500 mm.

Tabell 3 viser en sammenstilling av data om de omtalte plasttyper.

De fleste konstruksjonsmaterialer som benyttes innen bygningsbransjen har elastiske eller ganske nært elastiske egenskaper. Dette betyr at uavhengig av belastningens varighet, er forholdet mellom spenning og relativ forlengelse lineært opp til et visst spenningsnivå, dvs. at materialet etter spenningsavlastning atter går tilbake til opprinnelig form. For plastmaterialer gjelder ikke dette, fordi den relative forlengelse ikke er proporsjonal med spenningen og er videre avhengig av belastningstiden. Ved belastning oppstår det en permanent deformasjon i materialet. Plastens deformasjon er temperaturavhengig og øker med økende temperatur. Deformasjonen hos plassten medfører at ved vedvarende belastning, uavhengig av størrelsen, vil det oppstå brudd etter en viss tid. Bruddtiden er omvendt proporsjonal med belastningens størrelse.

Tabell 3. Data om enkelte plasttyper. Referanse 3.

Plastmateriale	Forkort.	Tetthet (kg/m ³) σ	Strekksstyrke ²⁾ (kp/cm ²) Korttidsverdier	Elastisitetsmodul ²⁾ (kp/cm ²) Korttidsverdier	Rørdiameter (mm)
Polyeten	PEL	910–930	100 (39) ¹⁾	1 500	16– 400
Polyeten	PEH	940–965	200 (65) ¹⁾	9 000 (1 000) ¹⁾	40–1 200
Polyvinylklorid	PVC	1 400	500 (250) ¹⁾	30 000	40– 400
Glassfiberarmert polyester	GAP	1 700	> 1 000	100 000	150–2 000

¹⁾ Tallene i parentes er langtidsverdier, basert på brudd etter 50 år.

²⁾ Verdiene gjelder ved 20°C.

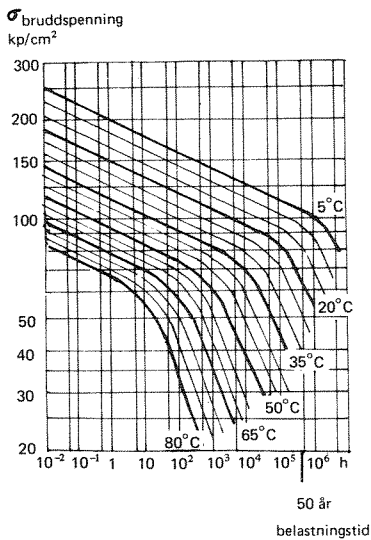


Fig. 36. Spennings-tidskurver for PEH-rør, Hostalen GM 5010.

Figur 36 viser forholdet mellom bruddspenning, belastningstid og temperatur for PEH rør, referanse 3.

Figuren viser bl.a. at ønsket levetid på ledningen direkte bestemmer tillatt langtidspenning. Vanligvis dimensioneres plastledninger for brudd etter en levetid på 50 år, og da med de bruddspenningene som er satt opp i parentes i tabell 3. Regner man med en sikkerhetsfaktor på 1,3, blir i praksis tillatt langtidsspenning for PEL = 30 kp/cm², og for PEH = 50 kp/cm² ved en temperatur på 20°C. For PVC settes sikkerhetsfaktoren til 2,5. Tillatt langtidsspenning for PVC ved 20°C blir dermed 100 kp/cm².

For GAP rør er deformasjonen mindre enn for de andre plastmaterialene. Produktionsmetoden for denne type rør betyr meget for de mekaniske egenskapene, og det kan ikke settes opp almen gyldige verdier.

Vanligvis produseres PE rør for arbeidstrykk på 2,5, 4, 6 og 10 kp/cm² og PVC rør lages for 4, 6 og 10 kp/cm².

Med grunnlag i de før angitte verdier på tillatte langtidsspenninger, gir tabell 4 oversikt over forholdet mellom minimum godstykke og arbeidstrykk. For utløpsledninger er det vanligvis aktuelt å benytte rør med arbeidstrykk på 2,5 eller 4 kp/cm².

Det ble nevnt tidligere at plastmaterialene er fordelaktige å bruke i utløpsledninger, bl.a. fordi de tåler å bøyes. Rørene tåler allikevel ikke ubegrenset, og som kriterium kan settes at minste

Tabell 4. Forholdet mellom minimum godstykke og arbeidstrykk for plastrør. Referanse 3.

Arbeidstrykk kp/cm ²	Min. godstykke		
	PEH	PEL	PVC
2,5	D/41	D/25	
4	D/26	D/16	D/51
6	D/17,7	D/11	D/34,4
10	D/11	D/7	D/21

permanente krummingsradius er $300 \cdot D$ (diameter) for PVC, 120 D for PEH og 30 D for PEL. Er det ikke andre spenninger i røret enn de som er forårsaket av ren bøyning, kan krummingsradiene minskes og settes lik $R = 100$ D for PVC, $R = 33$ D for PEH og $R = 17$ D for PEL. Selv om et PEH rør har spenninger i seg opp imot det tillatte før det bøyes, tåler det allikevel innen visse grenser denne ekstrabelastning fordi PEH og plast forøvrig har den egenskap at spenningene p.g.a. krumming avtar med tiden om krummingen ikke forandres. Dette gjelder også for andre typer belastninger og henger sammen med deformasjonen i plasten ved belastning.

Når det gjelder slitasjestykke, har også plastmaterialene gode egenskaper. Tabell 5 viser resultatet av en undersøkelse som gikk ut på å finne hvilken spenningsøkning en får i forskjellige materialer p.g.a. slitasje med reduksjon i materialtykkelse etter at de en viss tid har vært utsatt for det samme slitasjearbeid.

PEH- og PEL-rør. 180 eller 86,5% av alle registrerte utløpsledninger her i landet er av disse materialene.

Erfaringene har vist at de sterkere PEH rørene er å foretrekke fremfor PEL rørene, slik at i dag brukes det lite PEL rør til utløpsledninger som er av noen størrelse.

Tabell 5. Relativ spenningsøkning for forskjellige rørmaterialer utsatt for det samme slitasjearbeid. Referanse 5.

Materiale:	Relativ spenningsøkning %:
PVC	3
PEL	0,3
Asbestsement	13
Stål	7

Det vanligste er at rørene taues hele fra fabrikk til anleggs plass, men det har også hendt at rørene er fraktet i kortere lengder og sveiset sammen til hel ledning på stedet. Sveisingen skjer ved at buttendene skyves mot hverandre med et visst trykk. Sveisede PEH-ledninger som er undersøkt i forbindelse med dette arbeidet har vist seg å holde godt. Kravene til værforhold, oppvarming, tid og trykk, er så viktig ved sveising at arbeidet bare bør utføres av fagfolk. Ved dimensjonering bør man kunne regne med en sveisefaktor på mellom 0,8–1,0 for normalt godt utførte sveiser. Sveisefaktoren er forholdet mellom sveisens og grunnmaterialets bruddspenning.

En løsning på skjøteproblemet er at det ved fabrikk sveises på en flens ved hver ende med boltehull slik at rørene kan boltes sammen på anleggsplassen. Man slipper derved sveisingen. Dette er likevel en kostbar og tidkrevende løsning, og blir i praksis bare brukt i tilfelle hvor man skal ha en viss avvinkling på røret eller hvor man skal montere på en spesialprodusert diffusor. En annen skjøtemetode som er spesiellaget for plastrør, og som blir mye brukt til utløpsledninger, spesielt i overganger fra utløpskum til utløpsledning, er den såkalte Heinco-muffen, se figur 37.

Gland- og gummipakning føres inn på røret som oppvarmes med varmt vann. Når plasten er myknet, slås foringen inn ved bruk av trekloss og hammer. Deretter kan tilkoplingen foretas. Ved overgang fra utløpskum støpes den ene delen av Heinco-muffen fast i kummen. Denne skjøten fås i diameter fra 80 mm til 600 mm. Det er viktig ved montering av en Heinco-muffe at arbeidet gjøres skikkelig. Varmer man f.eks. materialet opp før foringen slås inn, vil en del av plastmaterialet skyves foran foringen og danne en forhøyning. Erfaringer tilsier at dette må unngås hvis man forlanger en tett og

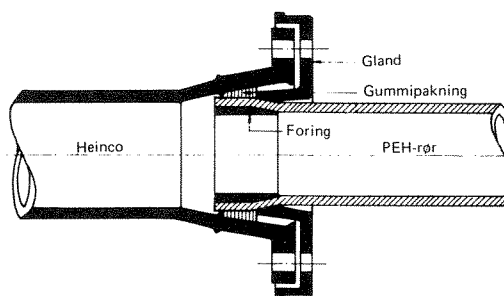


Fig. 37. Ferdig montert Heinco-PEH skjøt.

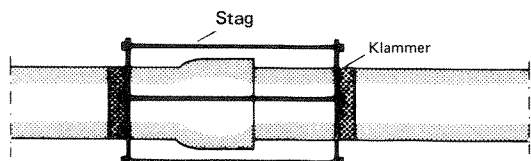


Fig. 38. Fastskrutte klammer og bolter sikrer strekkfastheten til skjøten.

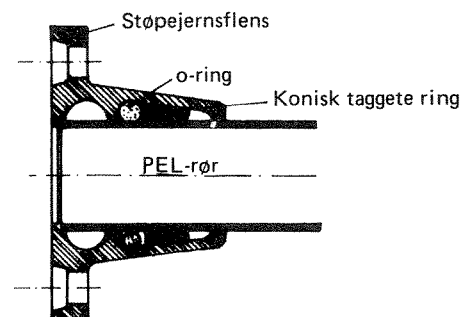


Fig. 39. Hawle-skjøt for PEL-rør.

strekkfast skjøt. I mange tilfelle sikres en slik skjøt ved at man monterer klammer på hver side av skjøten som så koples sammen med stag. Ved kum kan stagene støpes inn i kummen. Figur 38 viser en skjøt sikret med klammer og stag.

For PEL-rør med diameter mindre enn 200 mm, kan en bruke en såkalt Hawle-skjøt som er vist på figur 39. Denne skjøten bør vanligvis også sikres som vist på figur 38, hvis den blir brukt på sjøledninger. En fordel ved denne skjøten er at den er dreibar på røret etter montering.

På grunn av polyetenets lave egenvekt kreves alltid ekstra vektbelastning på ledningen når den skal plasseres under vann. Størrelsen på belastningen varierer og er avhengig av traséens fallforhold, hvilken luftmengde man antar kan opptre i ledningen, bølge- og strømkrefter osv. Kriterier for vektenes størrelse og valg av ulike typer vekter, omtales i avsnitt 5.4.

Før senking av utløpsledningen monteres belastningene på ledningen. Figur 40 viser påmontering av betonglodd på land. Ledningen er plassert på ruller slik at den lett trekkes ut på vannet etter hvert som loddene festes. Sjøenden er tettet med en blindflens slik at vann ikke

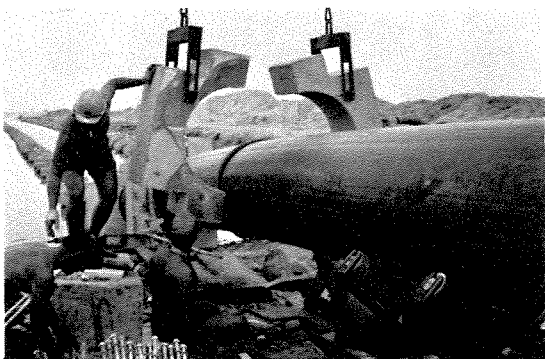


Fig. 40. Montering av betonglodd på PEH-ledning.

kommer inn i ledningen. Påmontering av lodd skjer også ofte fra båt mens ledningen ligger i sjøen.

Traséen bør på forhånd være merket med bøyer, og en eller flere båter sleper utløpsledningen til den ønskede posisjon. I blindflensen på sjøenden av ledningen er det montert en ventil, og selve senkingen kan gjøres på følgende måte:

Landenden monteres i utløpskum under sjønivå. Deretter åpnes ventilen i sjøenden som er festet i vinsjen på en båt, og luft slippes kontrollert ut. Ledningen fylles med vann fra landenden, og den synker etter hvert til bunnen. Figur 41 viser senking. Ønsker man å stoppe senkingen, stenges ventilen i enden.

Etter at hele ledningen er fylt med vann, fjernes blindflensen og enden senkes forsiktig ned til bunnen. Det er viktig at all luften kommer ut under senkingen. Slippes vann inn for raskt, er sjansene store for at det kan blistående luftlommer i ledningen etter senkingen. En fordel ved å fylle ledningen fra landenden, er at det hele tiden under senkingen vil være lett å

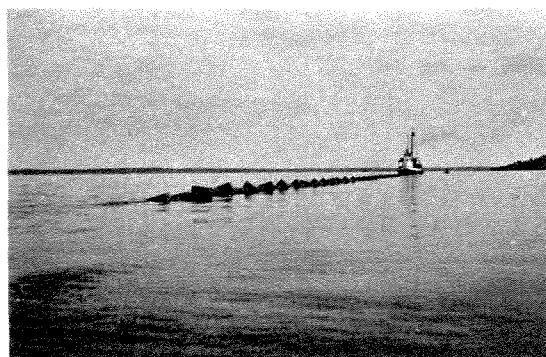


Fig. 41. Senking av PEH-ledning.

korrigere posisjonen til ledningen med båten ved sjøenden.

PVC-rør. 9 eller 4,3% av alle registrerte utløpsledninger her i landet er av PVC. Fordelen denne rørtypen har fremfor rør av PEH, er at den er billigere og har høyere strekkstyrke. En ulempe er at PVC-rør er stivere enn PEH-rør og derfor mer sårbar overfor de belastningene en utløpsledning er utsatt for. Rørene produseres vanligvis i 6 m lengder og må derfor skjøtes. Ved undervannsledninger forlanges strekkfaste skjøter, og det oppnår man for PVC-rør ved liming. Hvert rør har spissende og muffeende. Framgangsmåten er følgende ved liming:

Man pusser med grovt sandpapir på de flater som skal limes. Flatene rengjøres med papir dynket med rengjøringsmiddel. Rengjorte flater må ikke berøres eller utsettes for fuktighet. Deretter strykes lim på flatene, og spissenden presses inn i muffen. Dette må skje raskt, fordi limet tørker meget fort. Limet løser opp en del av plasteren som så smelter sammen og deretter tørker. Den sammenlimte ledning kan etter en viss herdetid vektbelastes og senkes som en PEH-ledning. Kravene som må oppfylles for at limskjøten skal bli tilfredstillende er store og inneholder mer enn det som er beskrevet her. Regelen bør derfor være at slikt arbeid utføres av fagfolk. Figur 42 viser en Hawle-koppling spesiellaget for PVC-rør for diametre opp til 300 mm. Denne skjøten må sikres f.eks. som vist på figur 38 hvis den blir brukt på sjøledninger.

GAP-rør. I Norge er det meget få tilfelle av at GAP-rør benyttes som undervannsledninger. I Sverige er de brukt mer fordi man der ofte har behov for større dimensjoner. Erfaringene er dog at dette materialet skal benyttes med forsiktighet p.g.a. sin stivhet. Fra fabrikk kommer rørene vanligvis i 5–6 m lengder.

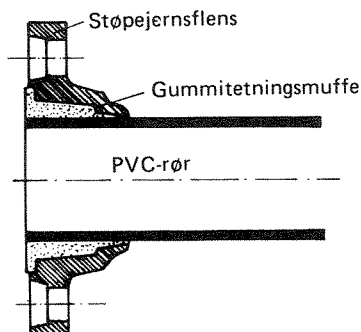


Fig. 42. Hawle-skjøt for PVC-rør.

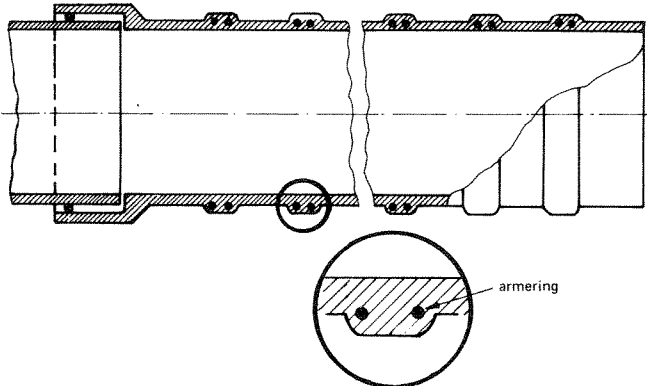


Fig. 43. Lengdesnitt av Nore-rør med innstøpt armering.

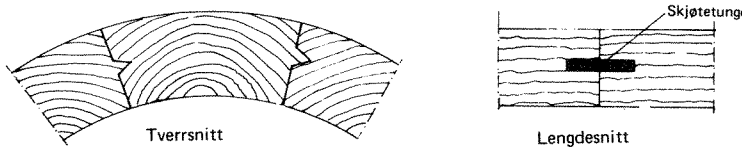


Fig. 44. Snitt av rørveggen i en treledning.

Skjøtingen på byggeplass skjer enten ved at glassfiber og polyester legges på rundt skjøten eller ved muffe og gummiringkopling. Flenser kan også være støpt fast på fabrikk slik at rørene kan boltes sammen. I den senere tid er det utviklet en ny utgave av den vanlige GAP-rørtypen som er kalt forsterkede polyesterterrør, FSP-rør.

Norerør. Tre av de registrerte utløpsledninger er såkalte Nore-rør. Figur 43 viser lengdesnitt av denne rørtypen, som normalt leveres i 5 m lengder.

Materialet i røret er PEL, men i utvidelser av rørveggen er det lagt inn stålringar som armering. Man har prøvd å forbedre denne rørtypen ved å ta bort stålringene, og ved å benytte PEH istedenfor PEL som rørmateriale, men erfaring fra sjøledninger mangler. For å oppnå strekksterke skjøter for denne rørtypen, må det brukes klammer og bolter som vist i figur 38.

Polybutanrør. Dette er en plastrørtypen som på mange måter kan sammenliknes med PEH-rør. Vegtykkelsen på polybutanrør er mindre enn for tilsvarende PEH-rør p.g.a. større strekkstyrke. Denne rørtypen kan sveises på samme måte som forklart for PEH-rør, men en stor ulempe er at det tar lang tid før skjøten har oppnådd full styrke. Uvitenshet om dette forholdet har ført til brudd. Ellers er erfaringen med denne rørtypen liten her i landet.

5.2.2 TRERØR

8 av de registrerte utløpsledninger er av tre. Tre som rørmateriale har vært brukt til undervannsledninger i mange år, og de aller eldste utløpsledninger vi vet om er av dette materialet. Mulige dimensjoner er fra ca. 150 mm i diameter og oppover til flere meter. Økonomisk er de mer fordelaktige framfor andre typer jo større dimensjonen er, se avsnitt om økonomi.

Figur 44 viser to snitt i en treledning. Rørene består av trestaver, helst furu. Rørstavene tykkelse tilpasses etter størrelsen av rørene. $1\frac{1}{2}$ " plank brukes vanligvis i rør med diameter 0,15 m til 0,35 m og 2" plank i rør med diameter 0,4 m til ca. 1,0 m. I større rør brukes $2\frac{1}{2}$ " og 3" plank. Rørstavene radialhøvles og forsynes med en liten not og fjær i sidene, se figur 44, tværsnitt. Stavene kappes i endene og slisses for innsetting av skjøtetunger. Til tunger brukes galvaniserte båndjern eller messingskinner, se figur 44, lengdesnitt. Rørstaver til kloakkrør trykkimpregneres. Endeskjøtene forskyves mellom stavene. Rørene forsterkes utvendig med strammebånd, gjenget i hver ende. Tilstrammningen skjer ved strammesko, muttere og skiver, som leveres med asfaltmaling eller varmgalvanisering. Avstanden mellom strammebåndene er avhengig av indre overtrykk, rørdiameter osv., men er normalt ca. 0,30 m.

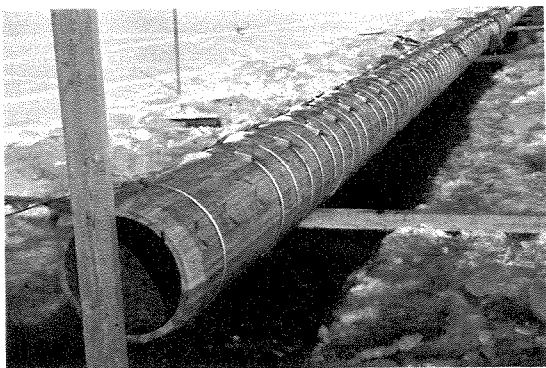


Fig. 45. Treledning klar til senking fra råk i is.

Figur 45 viser bilde av en ferdigmontert treledning. Trerørene kan enten monteres på fabrikk eller direkte på byggeplassen. Vanligvis er det økonomisk fordelaktig å montere trerør med dimensjon større enn ca. 500 mm i diameter på byggeplassen. Rørene settes sammen på land, fløtes ut og senkes i hel lengde. Man foretar ofte dette arbeidet om vinteren, og i så fall bygges ledningen på isen og senkes i en råk.

En treledning er fleksibel og tåler bøyepåkjennингene under senkingen bra. Den kan forme seg i grove trekk til bunntopografien. Treledninger kan uten vanskelighet bygges i hele lengder på 200 m og senkes.

Det er også en mulighet for skjøting av seksjoner. De vanligste løsningene er en skjøtemuffe av tre eller en cordarmert gummimuffe som festes til rørene med spesielle bånd. Skjøtemuffene må strekkavlastes f.eks. ved wirer. På grunn av trerørenes lave egenvekt må de gies en ekstra vektbelastning. Tørt trematerialet har en tetthet på ca. $0,5 \text{ kg/dm}^3$. Trykkimpregnert har en tetthet på ca. $0,7 \text{ kg/dm}^3$. Vannmettet tre har en tetthet på opptil $1,5 \text{ kg/dm}^3$.

Levetiden av trerør i vann er vanskelig å forutsi. Selve trematerialet angripes ikke av råte mens det ligger i vann. I sjøvann hvor det kan finnes pelemark eller pelelus, er disse en alvorlig trusel mot trematerialet. Trykkimpregnering beskytter noe, men som regel anbefales det ikke å bruke trerør i områder hvor man vet det er pelemark eller pelelus. Strammebåndene kan utsettes for korrosjonsangrep i vann og må derfor være galvanisert. Der hvor faren for rustangrep på metalldelene er ekstra stor, kan man istedenfor eller helst i tillegg til strammebåndene av stål, også montere klaver av tre rundt ledningen som ekstra sikring.

5.2.3 ASBESTSEMENTRØR

Denne rørtypen som vel er bedre kjent under navnet Eternit-rør, er benyttet i 4 av de registrerte utløpsledninger. Rørmaterialet er en blanding av asbestfibre, vann og cement. Rørene leveres i 5 m lengder. Det er konstruert en strekkfast skjøt for denne rørtypen som vist på figur 46.

Det er dreiet ut et spor på utsiden av røret og et tilsvarende på innsiden av muffen. Strekkfastheten oppnås ved at en wire blir trukket inn i disse spor etter at muffen er montert. Wiren hindrer da røret i å bli dradd ut av muffen. Denne skjøt tillater en avvinkling på $3,5^\circ$, noe som gir ledningen en ganske stor fleksibilitet.

Skjøtene kan monteres på land, og den ferdige ledning skyves ut i vannet.etter man enden slik at vann ikke kommer inn, vil rørene flyte. Når alle skjøtene er ferdig, kan ledningen tauas på plass og senkes ved at vann slippes inn. Tettheten for disse rørene er 2 kg/dm^3 , og de blir normalt ikke tilleggsbelastet. De mekaniske egenskapene er relativt gode, men erfaringen her i landet er at bøyepåkjenningene under senking av asbestsementrør lett blir for store, slik at det ofte har blitt brudd i skjøtene. Bøyepåkjenningene under senking øker med økende dyp, og derfor viser erfaringen at denne typen rør vanskelig kan benyttes på større dyp enn 7–8 m hvis senkingen skal utføres som for PEH-ledninger.

For å lette påkjenningene, kan en montere på oppdriftsbøyer under senkingen, slik at ledningen er nesten vektløs under vann. En løsning er også å montere rørene under vann, men et slikt opplegg er tidkrevende og kostbart.

Varigheten til asbestsement i sjøvann ansees å være god. Wirene som sikrer skjøtene, bør beskyttes mot korrosjon.

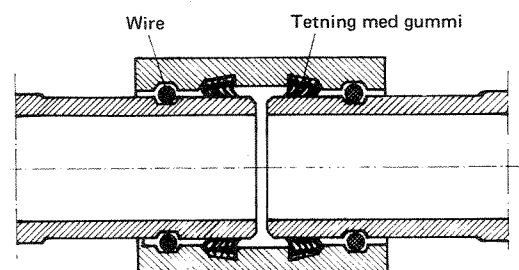


Fig. 46. Asbestsementrør med strekkfast skjøt ZOK.

5.2.4 STØPEJERNSRØR

Støpejernsrør er lite brukt som undervannsledninger her i landet. I andre land, f.eks. Sverige og USA, er anvendelsen større. Fordelen med denne rørtypen er den høye mekaniske styrken som kan være nødvendig ved store overdekninger. Rørene leveres normalt i lengder på 6–7 m. Det finnes mange typer skjøter.

Figur 47 viser en strekkfast Express-skjøt for duktile støpejernsrør, som passer for bruk under vann. Den tåler en avvinkling på ca. 3° og strekkfastheten er sikret ved en metallring som vist på figur 47.

Som for plastrør, trerør og asbestsementrør kan hele ledningen monteres på land. Ledningen kan trekkes ut luftfylt på overflaten, evt. med pontonger hvis den ellers ikke flyter, og så senkes ved å slippe ut luft og/eller ta bort pontongene.

I praksis vil man vanligvis unngå for lange enheter med støpejernsrør slik at skjøting også må foregå under vann. På grunn av tyngden på støpejern er det nødvendig med kranutstyr som kan senke rørseksjonen i posisjon på bunnen. Gode værforhold er nødvendig ved slikt arbeid. En metode som er benyttet i Sverige i tilfelle hvor bunnen er jevnt hellende og bunnmaterialet er gunstig (f.eks. sand), er at ledningen på land monteres på en sleden som så trekkes ut som vist i prinsipp på figur 48.

Sleden er foran utformet som en ski for at den ikke skal skjære ned i bunnmaterialet. Sleden dras ut ved hjelp av en vinsj plassert på en

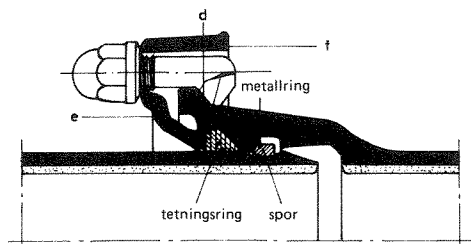


Fig. 47. Strekkfast Expresskjøt for duktile støpejernsrør.

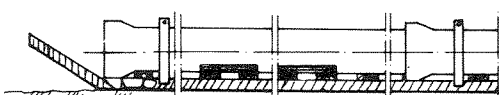


Fig. 48. Utløpsledning montert på sleden som trekkes ut langs bunnen.

forankret flåte eller båt. Fordelen ved denne metoden er at skjøting kan foregå på land, og at ledningen i stor grad beskyttes ved legging mot utvendige skader. Denne løsningen på utlegging av støpejernsrør kan med fordel også benyttes til andre rørtyper som har problemet med mange skjøter, f.eks. betongrør.

Støpejernsrør må korrosjonsbeskyttes både inn- og utvendig. Utvendig er rørene vanligvis asfaltert, og innvendig er de enten asfaltert eller har et belegg av metallurgisk sement. Ved å benytte katodisk beskyttelse vil farene for punktangrep reduseres betydelig.

5.2.5 BETONGRØR

Betongrør benyttes lite som undervannsledninger i Norge, men er som for støpejernsrør, atskillig mer brukt i Sverige og USA. I Sverige brukes de særlig i tilfelle der dimensjonen er over 500 mm, og der det er nødvendig å grave ned eller på annen måte dekke over ledningen p.g.a. for eksempel bølge- og strømkrefter eller farene ved oppankring av båter.

De typer som det kan være aktuelt å benytte er centrifugerte betongrør, forspente betongrør samt betongrør med stålkjerne. Mest benyttet er de forspente rørene. Maksimal lengde er i dag ca. 5 meter. Ved samtlige av disse typer er det fare for korrosjon på armering eller stålkjerne ved rissdannelse. Det må utvises stor forsiktighet under anleggsarbeidet slik at rørene ikke skades.

Utlegging av betongrør skjer ved at hvert rør senkes ned med kran og skjøtes under vann. Leggeprinsippet vist på figur 48, kan også brukes. Ved enkelte anledninger er de vanlige skjøter som benyttes i avløpsledninger på land også benyttet under vann, men dette har vist seg å være utilstrekkelig. Skjøtene begynner å lekke, og rørene glipper fra hverandre, særlig der bunnforholdene er ujevne. Det er utviklet skjøter med tanke på undervannsledninger, og figur 49 viser en slik spesialskjøt.

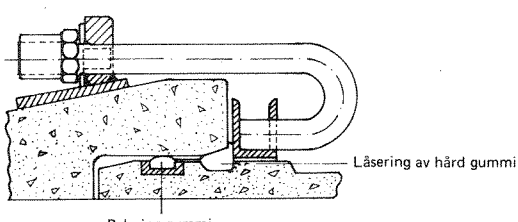


Fig. 49. O-ringtettning med strekklave for betongrør.

For at betongrør skal kunne brukes som undervannsledning, må underlaget være jevnt uten fare for ujevne setninger. Som regel vil det være nødvendig å grave ut eller mudre en grøft i bunnmaterialet og fylle etter med et trykkt utjevnende pukklag før rørene legges. I og med at rørene vanligvis må senkes fra båt, er værfordelene viktige. Vind og bølger vil vanskelig gjøre arbeidet og kan føre til store forsinkelser og ekstrakostnader.

5.3 Krefter på utløpsledninger

Utløpsledninger er utsatt for varierende krefter både under legging og ankret til bunnen. Påkjenninger på rørlæringen under legging vil først og fremst være avhengig av strøm og bølgebevegelse, rørtypen, leggemetoden og de lokale bunnforhold.

På bunnen vil luftansamlinger i ledningen og ytre krefter som følge av strøm- og bølgebevegelser i resipienten vanligvis forårsake de største kreftene på utløpsledningene.

For å beskytte ledningen mot is- og bølgebryting i strandsonen, sandtransport, båttrafikk osv., graves vanligvis ledningen ned i bunnen. Under nedgravingsfasen vil øket oppdrift som følge av væskefyldt dekkmasse kunne forårsake betydelige krefter. Likeledes vil overdekking med faste masser utøve krefter på røret.

5.3.1 STRØM- OG BØLGEKREFTER

Strøm- og bølgekrefter vil gjøre seg gjeldende på utløpsledninger under legging og etter at ledningen er ankret til bunnen. Strømkrefter vil kunne være betydelig i elver, elveutløp, i sund og over terskler, og skyldes vanligvis ferskvannsavrenning eller vannbevegelser fra endringer i vannnivået eller vannets tetthet.

Krefter som følge av en jevn strømbevegelse i rett vinkel på en rørlæring liggende på bunnen, se figur 50, kan deles opp i en dragkraft F_D og en løftekraft F_L

$$F_D = C_D \cdot \gamma \cdot D \cdot \frac{V^2}{2g} \cdot L$$

$$F_L = C_L \cdot \gamma \cdot D \cdot \frac{V^2}{2g} \cdot L$$

hvor

C_D = dragkoeffisient

C_L = løftekoeffisient

γ	= vannets egenvekt
D	= rørets diameter
V	= vannets hastighet
g	= gravitasjonskonstanten
L	= lengden av røret

C_D og C_L er en funksjon av Reynolds tall $R_e = \frac{D \cdot V}{\nu}$ hvor ν er vannets kinematiske viskositet. Målinger av strømkrefter på rør med diametre og med strømbevegelser som forekommer ved utløpsledninger har gitt, referanse 6 og 7:

R_e	C_D	C_L
$0,5 \cdot 10^5$	0,9	1,3
$3 \cdot 10^5$	0,55	0,8

I innsjøer og i innelukkede fjorder vil bølgekrefter vanligvis bare gjøre seg gjeldende i gruntvannsområdet nær opptil land. Bølgebevegelsen merkes ned til et dyp tilsvarende halve bølgelengden og blir sterkere jo grunnere det er. I bølgebrytingssonen vil kraftene fra bølger være særlig store, og her graves derfor ledningen ned. I åpne langgrunne kystområder vil bølgekreftene kunne spille den avgjørende rolle for dimensjonering og utforming av utløpsledning og forankring. Bølger vil i tillegg til en dragkraft og løftekraft også forårsake en akselerasjonskraft (massekraft).

Beregning av krefter fra strøm og bølger utredes i et eget forskningsprosjekt PRA-5.1 Ytre krefter på utløpsledninger. Dette prosjekt skal gi en oversikt over ytre krefter på utløpsledninger og hvordan disse kan forutsies og beregnes.

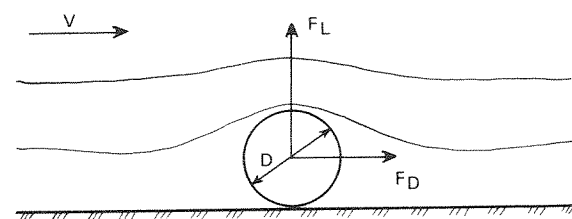


Fig. 50. Krefter på en ledning liggende på bunnen p.g.a. strømbevegelse på tvers av ledningens lengdeakse.

5.3.2 KREFTER PÅ EN UTLØPSLEDNING P.G.A. LUFT ELLER GASSANSAMLINGER

Luft kommer inn i utløpsledningen i utløpskummen. I avsnitt 4 er dette forhold nærmere beskrevet. Erfaringene viser at det alltid vil forekomme varierende mengder luft eller gass i utløpsledninger. Generelt vil det lett oppstå luftproblemer i en utløpsledning der inntaket ikke er neddykket i utløpskummen, der vannføringen varierer sterkt, og der det i tillegg er dårlig fallforhold langs ledningstraséen. Gassdannelse vil forekomme i avløpsvannet og fra slamavsetninger i rørene. Undersøkelsen har vist at her i landet er det vanlig med lav hastighet og dårlig rensegrad på avløpsvannet og derfor store slamavsetningsproblemer. Erfaringer går ut på at gassmengdene som blir dannet kan være store nok til at utløpsledningen flyter opp. Her vil fallforholdene bety meget, for med god helning

på ledningen vil gassboblene etter hvert som de blir dannet kunne gå motstrøms og unnvike i utløpskummen.

Oppdriftskraftene som vil virke på en utløpsledning med luft- og gassansamling kan bli meget store. Det er derfor nødvendig å vektbelaste eller forankre rør av de aller fleste rørmaterialer til bunnen. Figur 51 viser hvilken oppdriftskraft pr. meter som virker på ledninger lagt i sjøvann ved ulike grader av luftfylling og ved ulike indre diametre. Figuren viser også omrent hvilken effektiv vekt ledninger med ulike rørmaterialer får når de er vannfylt og nedsunket i sjøvann. Kurvene er å forstå slik at eksempelvis asbestsementrør ved sin egenvekt vil tåle en luftfyllingsgrad fra 50% ved diameter 200 mm til ca. 30% ved diameter 600 mm. Ledninger av PVC tåler ubetydelig med luft uten ekstra vektbelastning. Ledninger av PEH og tre må

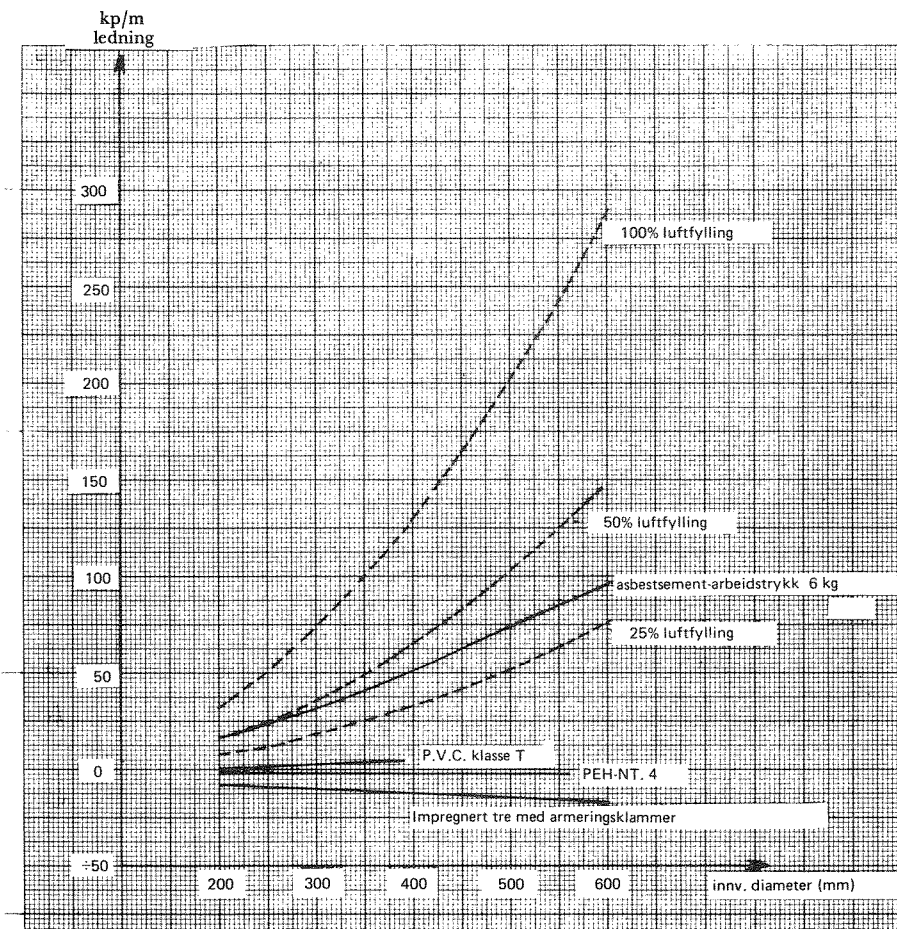


Fig. 51. Stiplete linjer gir oppdriftskraft pr.m ledning når den er nedsenket i sjøvann ved ulike grader av luftfylling. Hele linjer gir effektiv vekt av ulike rørmaterialer når de er nedsenket i sjøvann.

Tetthet av avløpsvann = 1.000 kg/dm^3 . Tetthet av sjøvann = 1.025 kg/dm^3 .

vektbelastes før de kan senkes. Nødvendig vektbelastning under vann fremgår som vertikal avstand mellom kurven for det aktuelle røraterialet og kurven for prosentvis luftfylling.

Som tidligere omtalt i kapitlet om trykksystem, er det mange steder her i landet slike terrengforhold at utløpskum vanskelig kan bygges ved sjønivå. Videre kan det være tilfelle der det er aktuelt å la utløpsledninger ligge med motfall. Ved slike forhold må det tas ekstra hensyn til mulige luftansamlinger. Her skal kort omtales mulige tiltak på utløpsledninger for å redusere luftansamlinger.

For eksempel kan det monteres på et lufterør som vist på figur 15. Dette røret føres tilbake til kummen, evt. opp på en øy. En annen mulighet er at det bores et hull i ledningen i høybrekket hvis det kan godtas at en mindre spillvannsmengde slippes ut der. Hvor stort hullet og evt. lufterøret bør være, er avhengig av avløpsvannets rensegrad. Det må minst være 2–3 cm, og antakelig større når det er urensset avløpsvann som går i ledningen. En skal være klar over at mens tyngre partikler hovedsakelig følger bunnen, så føres lette ting som plast, skum og andre flytestoffer i den øvre delen av ledningen.

For at luften skal kunne unnvike i et lufterør eller et hull, vil det være en stor forbedring hvis tverrsnittet på utløpsledningen kan utvides slik at vannhastigheten minskes i området ved utløftningspunktet. Derved vil luften få lengre tid på å unnvike fra avløpsvannet. En tredje mulighet er at hele utløpsledningen føres på land slik at høydepunktet blir der. Dette kan være en løsning hvis det er øyer i nærheten. Her kan ledningen kuttes i en kum, men slik at både inn- og utløp er dykket. Luften vil dermed kunne unnvike. Hvis det er mulig med jevnlig ettersyn, kan det på ledningen monteres en ventil som luften slipper ut gjennom når den åpnes. Det hadde vært gunstig med en automatisk lufteventil, men det har kun vært prøvd i ett kjent tilfelle p.g.a. fare for tilstopping. I dette ene tilfelte er avløpsvannet relativt bra mekanisk rentset, og dimensjonen er stor på både ledning og lufteventil. Så vidt man vet har denne lufteventil som er plassert i kum på land virket bra.

I et eget prosjekt PRA-5.3 Luftansaling i utløpsledninger, skal det studeres hvordan luftansamlinger oppstår, hvordan disse kan fjernes og hvilke kriterier som må legges til grunn for den konstruktive utforming og drift av utsippet for å unngå luftansamling.

5.3.3 OPPDRIFTSKREFTER PÅ EN UTLØPSLEDNING I NEDGRAVINGSFASEN

Et fenomen som kan opptrer under vann i nedgravingsfasen, og som kan føre til komplikasjoner, skal kort omtales. Hvis det graves i løse masser under vann, kan blandingen bli så effektiv at vann og løsmasse en periode opptrer som en suspensjon eller væske med større tetthet enn 1,0. Dette betyr at hvis en ledning senkes ned i denne suspensjonen, vil oppdriften bli større enn om senkingen foregår i rent vann. Figur 52 viser en framstilling av en suspensjons tetthet som funksjon av voluminnhold og tetthet av det oppslemede materialet.

Hvor stor tettheten til en slik suspensjon i virkeligheten kan bli er usikkert, men erfaringer går ut på at verdier opp mot 2,0 er mulig. Av denne grunn vil det i slike tilfelle være behov for betydelig tilleggsbelastning i nedgravingsperioden for i det hele tatt å få senket ledningen.

5.3.4 KREFTER PÅ EN UTLØPSLEDNING P.G.A. OVERDEKKING

Der en ledning ligger nedgravd eller er overdekket av faste masser som grus, jord og stein vil dette foråsake ekstra belastning på røret. Det må tas hensyn til dette ved valg av rørmaterialer og type, slik at utløpsledningen ikke blir overbelastet i denne sonen. Beregningsgrunnlaget for en slik vurdering er det samme som for ledninger lagt i grøfter på land, og vil ikke bli omtalt nærmere her.

5.4 Ankring av utløpsledninger

Vektbelastningen eller forankringen har som funksjon å sikre en stabil plassering av utløpsledningen når den er neddykket i vann. Tidligere er omtalt hva slags krefter som virker på en ledning under vann. Størrelsen på disse krefteiene er bestemmende for dimensjonering av vektbelastning eller forankring.

Fra land og ut til 3–5 m dyp er det vanlig å grave ned ledningen for å beskytte den mot is, bølger og båttrafikk. I åpne kystområder kan det være nødvendig å grave ledninger ned til større dyp. Faste masser som grus, fast leire og stein vil som overdekking normalt være en god sikring mot oppflytning. Det kan som tidligere nevnt være nødvendig med tilleggsbelastning av ledningen i nedgravingsfasen hvis det ved graving under vann i løse masser dannes en suspensjon med tetthet større enn 1,0.

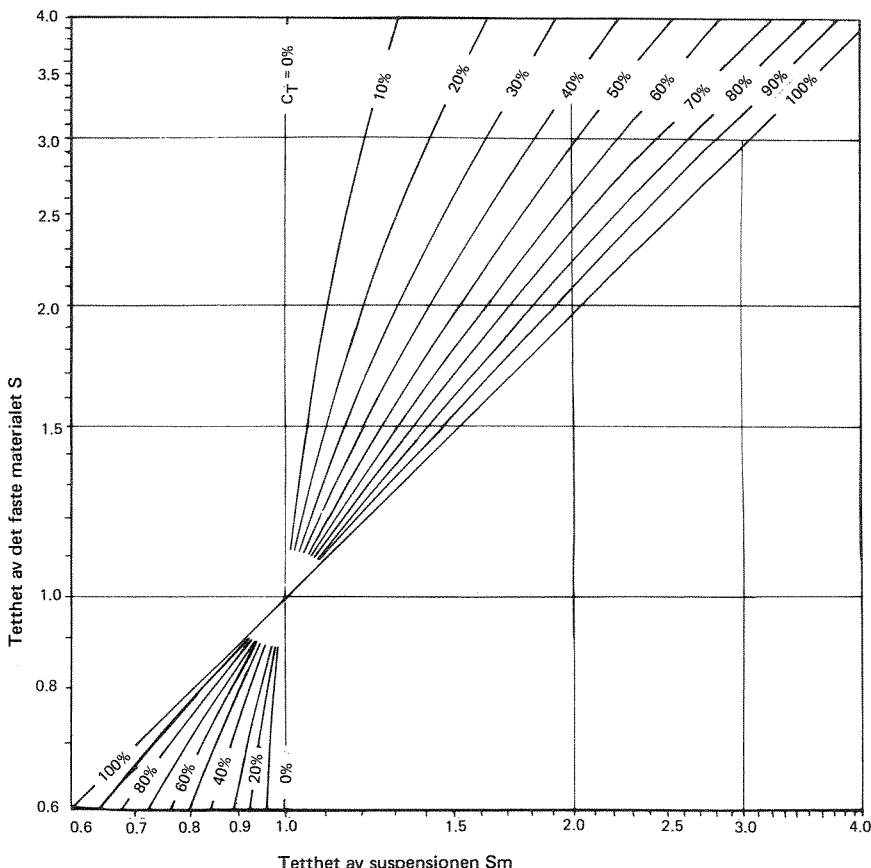


Fig. 52. Tetthet S_m til suspensjoner av vann og fast materiale ved ulike volumkonsentrasjoner C_T og tetthet S av det faste materialet.

Fra 3–5 m dyp er det vanlig at utløpsledningen ligger oppe på bunnen. På dette dyp er bølgekretene vanligvis av mindre betydning, og det er oppdrift grunnet luft- eller gassansamling som blir avgjørende. Tidligere er omtalt problemet med luft og gassansamling i utløpsledninger og hvordan forholdene kan variere fra sted til sted. Alt etter forholdene må det i hvert enkelt tilfelle vurderes om en utløpsledning på forskjellige steder langs traséen vil kunne bli helt eller delvis fylt med luft. Betydningen av forskjellige grader luftfylling for vektstørrelsen på eksempelvis en polyetenledning, går fram av figur 53. De fleste eksisterende utløpsledninger er dimensjonert for å tåle luftfylling på mellom 25–50% uten å flyte opp.

De forskjellige kreftene som virker på en utløpsledning vil kunne variere meget. For dimensjonering av vektbelastning eller forankring, må alle kreftene vurderes samlet m.h.t. når de oppstår, hvor store de er, i hvilken grad de virker

samtidig, og hvilke ekstreme belastninger som kan oppstå.

Utforming og vekt av loddene er avhengig av de kreftene som virker på ledningen, avstanden mellom loddene og hvorvidt ledningen skal ligge direkte på bunnen, eller sveve i en viss avstand over. Siktemålet ved kombinasjon ledning – lodd, bør være at de to så forskjellige enhetene skal virke sammen som en enhet. Dette oppnås ved at den samlede loddvekt blir fordelt så jevnt som mulig i hele ledningens lengde. Dette gir også store fordeler ved senkingen av ledningen. Det motsatte ytterpunkt som bør unngås, er å plassere få tunge lodd med stor innbyrdes avstand langs ledningen.

For fleksible rørledninger må avstanden mellom loddene være så liten at ledningen som følge av luftansamlinger ikke får anledning til å heve seg nevneverdig mellom loddene. For polyeten-ledninger er det enighet om at vektene i områder hvor det er fare for luftansamlinger ikke bør ha større avstand enn ca. 5–6 m.

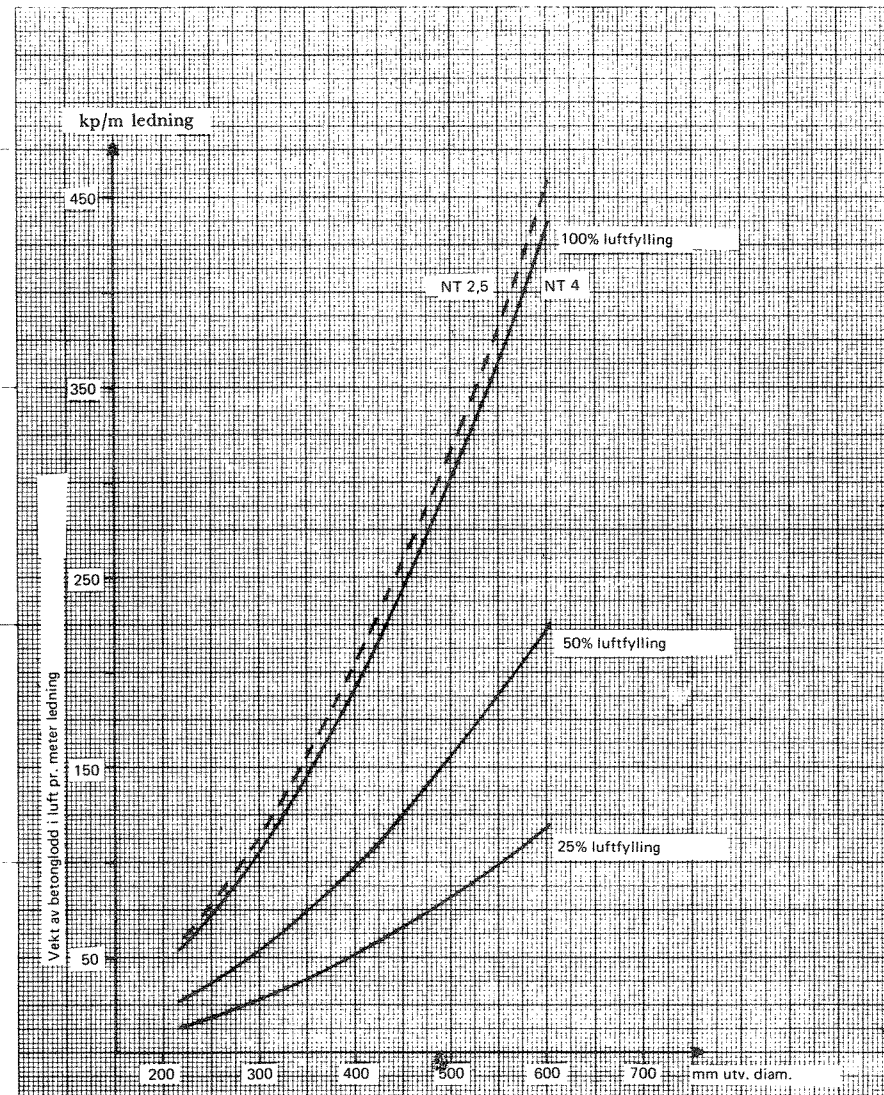


Fig. 53. Diagram for belastning av PEH rørledning NT4 mot luftfylling. Vekten gjelder i luft for belastningslodd av betong med tetthet 2,4 tonn/m³. Tettheten av resipientvann settes = 1.025 tonn/m³. Tettheten til PEH-røret settes = 0.960 tonn/m³.

5.4.1 LEDNINGEN LIGGENDE PÅ BUNNEN

Typisk for norske forhold er at stedene der utløpsledningene legges er relativt godt beskyttet. Kysten består av fjorder, bukter og viker med øyer og skjær utenfor. Vanlig er også at dypet øker ganske raskt fra stranden og utover. Disse forhold gjør at den største del av utløpsledningen som regel kan legges ubeskyttet på bunnen.

Vanligvis er det i dette tilfelle brukt støpte betonglodd for å holde ledningen på bunnen, se figur 54 og figur 55 i fotoplansje. Slike betong-

lodd er vanligvis festet på ledningen med ca. 4–6 m avstand.

Betongloddene blir skrudd sammen på ledningen. For å beskytte selve røret og for å sikre mot glidning langs røret, er det ofte benyttet mellomlegg mellom ledning og lodd. Dette kan eksempelvis være biter av plastslanger eller en plastduk. Ved riktig utforming kan loddene skrues sammen slik at de sitter godt fast på ledningen uten mellomlegg, og det er ikke påvist i slike tilfelle at lodd har skadet ledningen.

Det er mange andre loddtyper som er brukt,

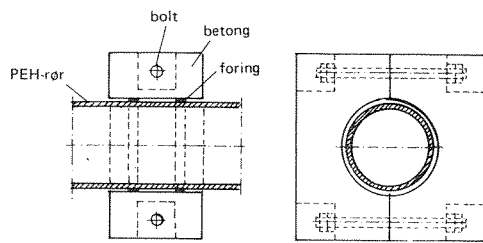


Fig. 54. Vektbelastning av betong.

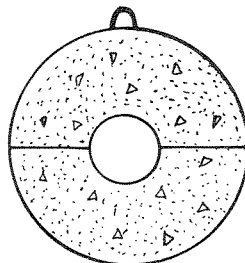
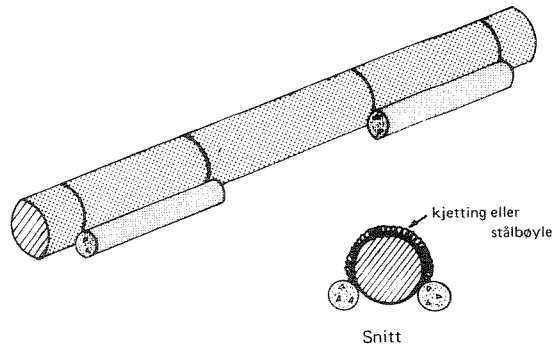


Fig. 56. Rundt belastningslodd av betong.

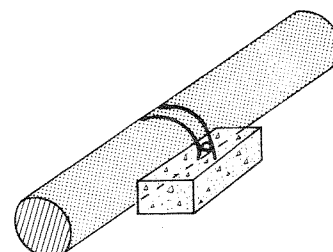


Fig. 57. Vektbelastning med påhengte betonglodder.

og i det følgende er noen av disse beskrevet nærmere.

Figur 56 viser et rundt betonglodd. Denne typen vil ikke stå stabilt på bunnen med mindre den blir delvis tildekket. Bevegelse i vannet vil lett få lodd og ledning til å rulle.

Figur 57 viser eksempler på ledninger belastet med påhengte betonglodder. Hvis de er lagt og festet som figuren viser, vil de lett forskyve seg

eller falle av under senking. De må derfor sikres ved f.eks. et langsgående tau. Denne belastnings-typen passer best å plassere etter senkingen.

Figur 58 viser noen varianter av påklamrede lodder. Klammerne må strammes godt over ledningen og beskyttes mot skader.

Loddet på figur 59 må plasseres etter senkingen, og er ikke å anbefale, fordi det lett kan falle av. Figur 60 viser en forbedret utgave.

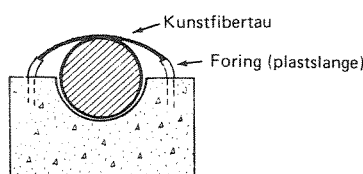
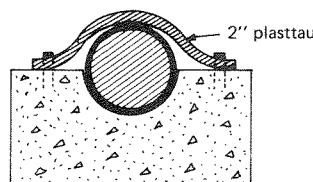
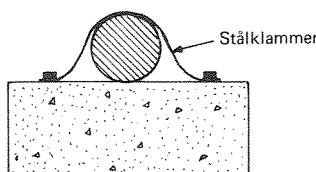


Fig. 58. Vektbelastning med påklamrede betonglodder.

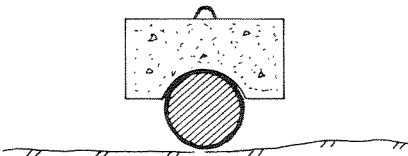


Fig. 59. Tilleggsbelastning senkes ned fra båt etter at utløpsledningen er lagt.

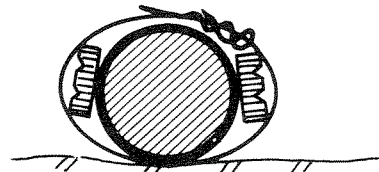


Fig. 61. Vektbelastning med fastsurrede blybarrer.

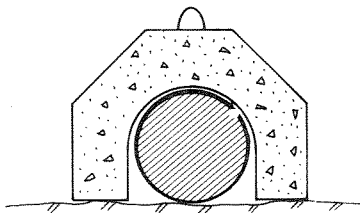


Fig. 60. Tilleggsbelastning senkes ned fra båt etter at utløpsledningen er lagt.

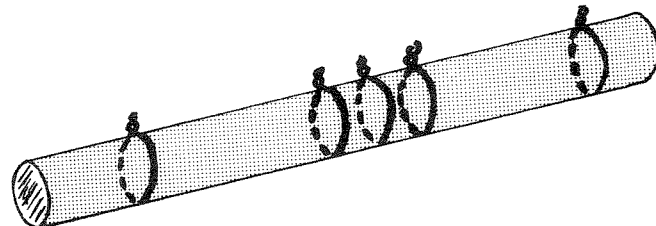


Fig. 62. Vektbelastning med blyringer.

På en del eldre utløpsledninger er det brukt bly som belastning, figur 61 og 62 viser to eksempler.

På figur 61 er det festet blyringer, og på figur 62 er det surret fast blybarrer på ledningen. Bly som belastning blir sjeldent benyttet i dag.

Det finnes eksempler på at betongrør har vært brukt som belastning på plastledninger som vist på figur 63.

Denne metoden krever at betongrørene blir festet til ledningen og sikret mot forskyvning ved tau eller wirer.

Av andre belastningstyper er eksempelvis segment- eller mørtelesekker benyttet. Sekkene lar seg delvis forme etter ledningen, og etter at innholdet har herdet ligger sekkene stabilt på ledningen.

Som spesiell belastning nær land og der utløpsledningen graves ned, har det vært benyttet støpejernsrør som utløpsledningen ligger inne i. I tillegg til belastningsfunksjonen virker et slikt støpejernsrør som beskyttelse mot ytre mekaniske påkjenninger fra f.eks. båt, is og jordtrykk.

5.4.2 LEDNINGEN SVEVENDE OVER BUNNEN

Som tidligere omtalt vil det kunne være nødvendig at utløpsledningen svever i vannet i varierende avstand fra bunnen for å unngå ujevnhetar og for å sikre gunstige fallforhold. Metodene for å sikre disse ledningene mot å flyte opp må nødvendigvis bli forskjellig i forhold til ledninger som kan ligge direkte på

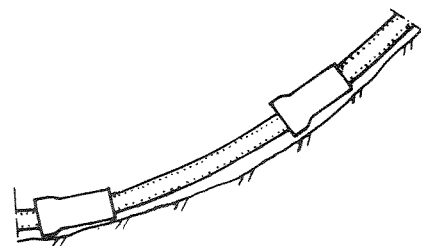


Fig. 63. Vektbelastning med betongrør.

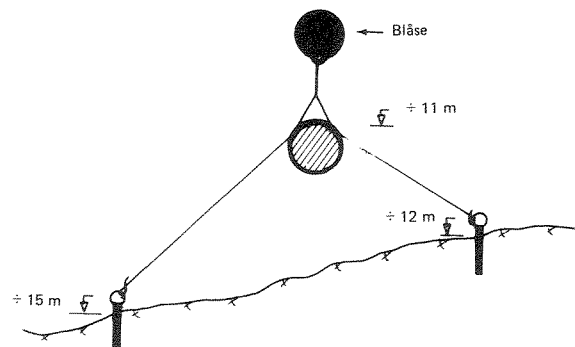


Fig. 64. Utløpsledning montert svevende over bunnen.

bunnen. En del eksempler på dette skal vises i det følgende.

Figur 64 viser et tilfelle der ledningen er festet med tau til fjellbolter. Stabiliteten er sikret ved

at det til ledningen er festet oppdriftsbøyer. Bøyene må tåle det aktuelle vanntrykk, og bør vanligvis være fylte, f.eks. med polyuretanskum. Tauverket, som ofte er det svakeste punkt i arrangementet, bør være kunstfibertau som kan beskyttes ved at de blir tredd inn i en plastslange. Denne og andre liknende løsninger krever omsorgsfullt arbeid av dykkere som må justere tau lengdene slik at fallet på ledningen blir riktig.

Videre vil slike arrangement være sårbare overfor anker fra båter, tungt fiskeutstyr osv., og ledningens trasé må merkes skikkelig. Det vil være nødvendig med forbud mot oppankring av båter og fiske i området der ledningen ligger.

Begroing av ledning, tauverk og oppdriftsbøyer vil ofte forekomme. Dette må tas hensyn til når oppankringssystemet skal dimensjoneres, fordi det vil kunne medføre øket vektbelastning og større angrepsflate for ytre krefter. Figur 65 i fotoplansje viser eksempel på begroing på en sveveledning.

Figur 66 viser et liknende arrangement uten oppdriftsblåser som er blitt brukt på noenlunde jevn bunn.

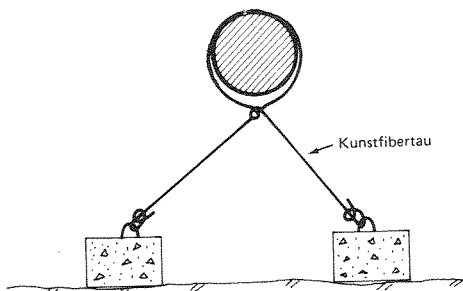


Fig. 66. Sveveledning forankret med tau til lodd på bunnen.

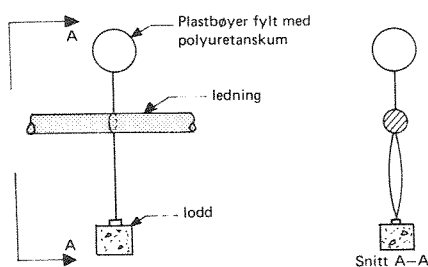


Fig. 67. Sveveledning med oppdriftsbøye og forankring til bunnen.

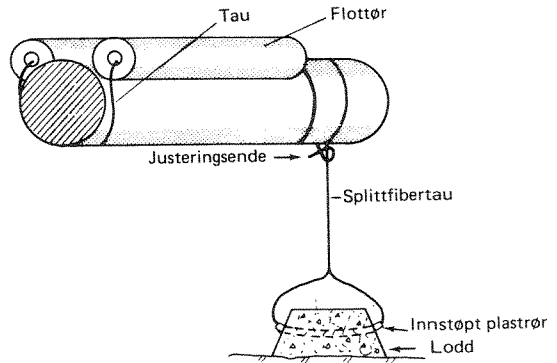


Fig. 68. Sveveledning.

I ett tilfelle hadde det dannet seg store slamsamlinger inne i en slik ledning som tyngte den ned. Tauverket var blitt slakt, og ledningen hadde mottfall noen steder.

Utløpsledningen på figur 67 er forankret til bare ett lodd på bunnen. Denne løsningen er ikke så god, fordi ledningen ikke er sikret mot sideveis bevegelse.

Løsningen på figur 68 er prinsipielt lik den på figur 67.

5.4.3 LEDNINGEN NEDGRAVD

I åpne kystområder, spesielt der det er langgrunt, vil det kunne være nødvendig å beskytte utløpsledningen mot bølger, strøm, sandtransport osv. over lengre strekninger. I Sverige finnes disse forholdene spesielt på vestkysten, og erfaringer derfra går ut på at bølgekraftene har ødelagt mange sjøledninger.

I utsatte områder må ledningen enten graves ned eller dekkes over, se figurene 69 og 70.

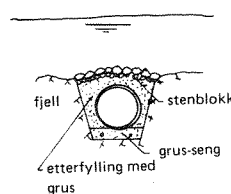


Fig. 69. Utløpsledning lagt i grøft og overdekket.

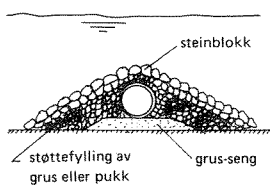


Fig. 70. Utløpsledning lagt på bunnen og overdekket.

6. Spredeanordning og avløpsvannets primærfortynning

6.1 Spredeanordning – diffusor

Hensikten med en spredeanordning er å fordele avløpsvannet ut i et stort volum i recipientens vannmasser og å oppnå en tilstrekkelig primærfortynning med innblanding på det mest egnede sted i recipientens vann. Ved enkelte utslipper vil tilstrekkelig fortynning kunne oppnås ved én avløpsstråle, enten ved direkte utslipper fra utløpsledningens ende eller ved en utløpsdyse. Ved større utslipper vil en betydelig gunstigere primærfortynning kunne oppnås ved bruk av diffusor tilknyttet utløpsledningens ende. En diffusor fordeler avløpsvannet til en serie av små avløpsstråler.

Den konstruktive utforming av en diffusor vil variere avhengig av avløpsvannets og recipientens egenskaper. En enkel, men effektiv diffusor som vanligvis eigner seg godt består av en rørledning med runde hull på horisontale avløpsstråler langs begge sider. For å unngå ustabilitet ved fordeling av avløpsvannet til hullene, er disse plassert annen hver gang til hver side av rørledningen. Denne type diffusor legges vanligvis direkte på bunnen og krever stabile bunnforhold. Hull for avløpsstrålene kan enkelt bestå av runde hull i rørledningens vegg. For å oppnå gunstig fortynning, bør avløpsstrålene rettes horisontalt ut fra diffusoren og hullenes diameter bør være så små som mulig.

For å sikre en jevn fordeling av avløpsvannet

ut av alle hullåpningene, bør summen av hullenes areal være mindre enn utløpsledningens areal. Dette sikrer at utstrømmingshastigheten i strålene er større enn hastigheten i utløpsledningen. Erfaringer indikerer her at et totalt effektivt areal av hullene på opptil en halv til to tredjedeler av utløpsledningens areal gir gode utstrømningsforhold i hullene. Hullenes minstestørrelse begrenses nedad først og fremst av faren for tiltetting og er således avhengig av avløpsvannets rensegrad, men ligger normalt i området 50–100 mm. Som minimumskrav må avløpsvannet passere et sandfang og en rist. Større gjenstander som vil kunne sette seg fast i utløphullene må ikke under noen omstendigheter få passere ut i utløpsledningen.

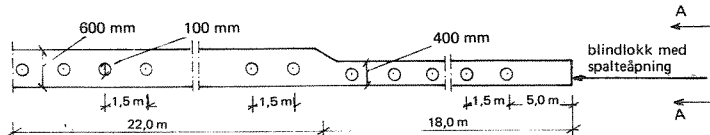
Avstanden mellom avløpsstrålene bør være mellom 1/5 til 1/10 av utslippsdypet under innslagningsnivået. Dette sikrer en maksimal fortnynning av avløpsstrålene, referanse 8.

Hydraulisk dimensjonering og konstruktiv utforming av diffusorer skal utredes i et eget forskningsprosjekt PRA-5.5 Spredeanordning og avløpsvannets primærfortynning.

I det følgende skal en del eksempler på bruk av diffusorer her i landet og erfaringer med disse omtales.

Figur 71 viser en diffusor tilknyttet en utløpsledning med indre diameter på 600 mm. De første 22 m av diffusoren har en indre diameter på 600 mm, mens de resterende 18 m av diffusoren har en indre diameter på 400 mm. I enden har diffusoren en sektorformet åpning. Langs sidene i en høyde av $D/2$ fra bunnen er det huller med diameter på 100 mm, rettet annenhver gang til hver side og med innbyrdes avstand på 1,5 m. Til sammen har diffusoren 24 hullåpninger, og er dimensjonert for en maksimal avløpsmengde på ca. $0,75 \text{ m}^3 /s$. Det er mekanisk renset avløpsvann som blir ledet ut, og det er ikke rapportert driftsproblemer med diffusoren.

Figur 72 viser snitt av en annen diffusor. Hovedrøret og diffusoren har diameter 600 mm. Selve diffusoren er 15 m lang med 7 hull, fordelt langs begge sider og med ett i enden. Hullenes diameter er 200 mm og innbyrdes avstand er 2,5 m. Ved dykkerbefaring av dette utløpet viste det seg at øvre enden av diffusoren ligger på 18 m dyp og den nedre enden ligger på 21 m dyp. Ved senkingen hadde diffusoren lagt seg slik at hullene ikke var rettet horisontalt. Av til sammen 7 hull var det bare det første, det på 18 m dyp som var åpent, og hvor man kunne se strålen



Spalteåpning 72°
Snitt A-A

Fig. 71. Eksempel på diffusor.

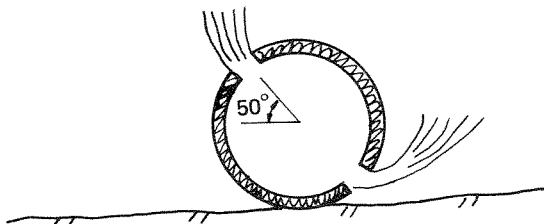


Fig. 72. Feilmontert diffusor. (Snitt).

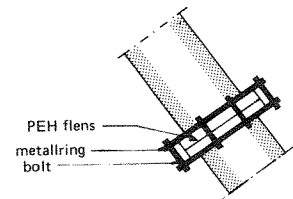


Fig. 73. Dreibar skjøt mellom utløpsledning og diffusor.

av avløpsvann. I de andre hullene kunne man tydelig kjenne kvister, bordbiter og slam som hadde tettet til. Avløpsvannet i denne ledning passerer et maskinrenset ristearrangement, men dette ble montert først etter at urensset avløpsvann en tid hadde gått i utløpsledningen.

Den skjeve stillingen som er vist på figur 72 kan unngås ved at det på selve utløpsledningen og på diffusordelen sveises på flenser som muliggjør dreining av diffusoren av dykkere etter at denne er senket til bunnen. Etter dreining klemmes flensene sammen med omkringliggende metallringer og bolter, se figur 73.

Figur 74 viser snitt av en diffusor med en annen utførelse. På hovedrøret, som avtrappes fra 500 mm til 315 mm i diameter, er plassert 9 stk. 150 mm bunnlopsavstikkere annen hver gang til hver side. Diffusoren ligger med sterkt fall. Ved denne utførelsen har ikke sedimenter så lett for å lagre seg i bunnen av røret. Denne konstruksjonen er dyrere enn den vist på figur 71. Ved dykkerbefaring viste det seg at kun det øverste hull var åpent, og alt avløpsvannet kom der. Hele den nedre delen av diffusoren var tilstoppet. Dykker kjente konturene av et "møkka-greip" ved å stikke hånden inn i det nederste hullet. Avløpsvannet som går i denne ledningen er urensset.

Figur 75 viser eksempel på en diffusor med hullene på toppen av ledningen. Avstanden mellom hvert hull er ca. 1,5 m. Opprinnelig var enden tettet til med en endeplate på denne diffusoren, men da avløpsvannet inneholdt store mengder grus og sand tettet det hele seg snart til. Endelokket ble fjernet, og siden har det ikke vært problemer. En viktig årsak til det er at en hyppig forekommende stor vannføring sørger for god spyling.

Til slutt i dette kapittelet er det på figur 76 vist i prinsipp hvordan man kan lage til en diffusor slik at selve fordelingsrøret hele veien er gravd ned. Denne utførelsen er benyttet i Sverige. Avløpsvannet er i dette tilfellet biologisk renset.

I avsnitt 7 om hydraulisk dimensjonering fremgår det at driftsproblemene med utløpsledninger skyldes dårlig rensegrad og små vannmengder. Dette er også direkte årsak til at de fleste diffusorer her i landet i mer eller mindre grad har gått tett.

På samme måte som for utløpsledninger må diffusoren sikres en jevnlig spyling. En daglig minste spylehastighet på 0,6–0,8 m/s antas også her å være tilstrekkelig for selvrensing. Videre bør et minstekrav være at avløpsvannet passerer sandfang og rist før utløpsledningen. Diffusorer

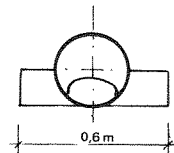
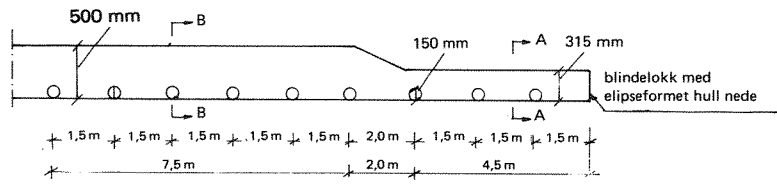


Fig. A-A

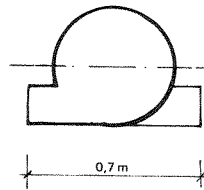


Fig. B-B

Fig. 74. Eksempel på diffusor.

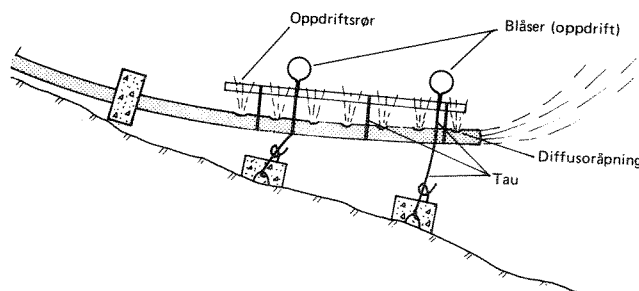


Fig. 75. Diffusorarrangement.

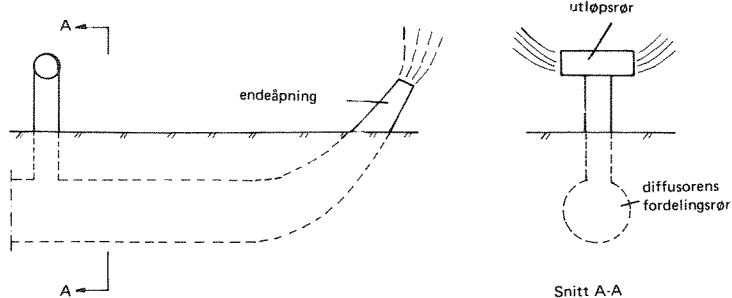


Fig. 76. Nedgravd diffusor.

bør ikke monteres før renseanlegg, ristarrangement osv. virker tilfredsstillende og etter at eventuelle steiner, jord og bordbiter som måtte ligge igjen etter anleggsperioden er fjernet.

6.2. Plassering av utløpet

I praksis plasseres enden av utløpsledningen på mange forskjellige måter, avhengig av bunnforholdene og avløpsvannets innhold av forurensinger. I det følgende skal vises en del eksempler på gode og dårlige løsninger.

Svært mange utløpsledninger er lagt med utløpet direkte på bunnen. På flat bunn og med mye slam i avløpsvannet kan forholdene lett bli som vist på figur 77. Se også figur 78 på fotoplansje. En slik løsning er derfor ikke å anbefale med mindre avløpsvannet er minst mekanisk rentsett eller ledningsenden kan plasseres på kanten av en skråning eller et stup.

Generelt anbefales det at utløpet plasseres

1–3 m over bunnen. Dette er også gjort i mange tilfelle.

Figur 79 viser utløpsledninger fastspent i belastede trerammer. Figur 80 viser en ledning som er festet til et enkelt kryss av trepeler. Slike arrangement er enkle å lage og kan anbefales hvis de blir gjort solide, men bruk av trematerialer under vann må unngås i områder med pelemark.

Figur 81 viser en ledning som er festet i et spesielt laget belastningslodd av betong. Fotografi av dette arrangement er vist på figur 82 i fotoplansje.

På figur 64 i avsnitt 5.4 er vist hvordan man med oppdriftsbøyer og feste med tau ankret til bunnen får til en plassering av utløpet over bunnen.

Figur 83 viser en ledningsende som er plassert oppå en haug med mørtelesekker. Det er også plassert sekker oppå ledningen som belastning. Ved heving av enden over bunnen bør det unngås at ledningen får motfall før utløpet.

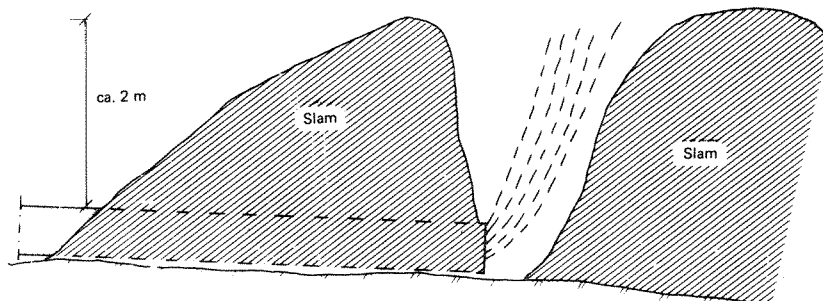


Fig. 77. Slamhauger ved ende av utløpsledning.

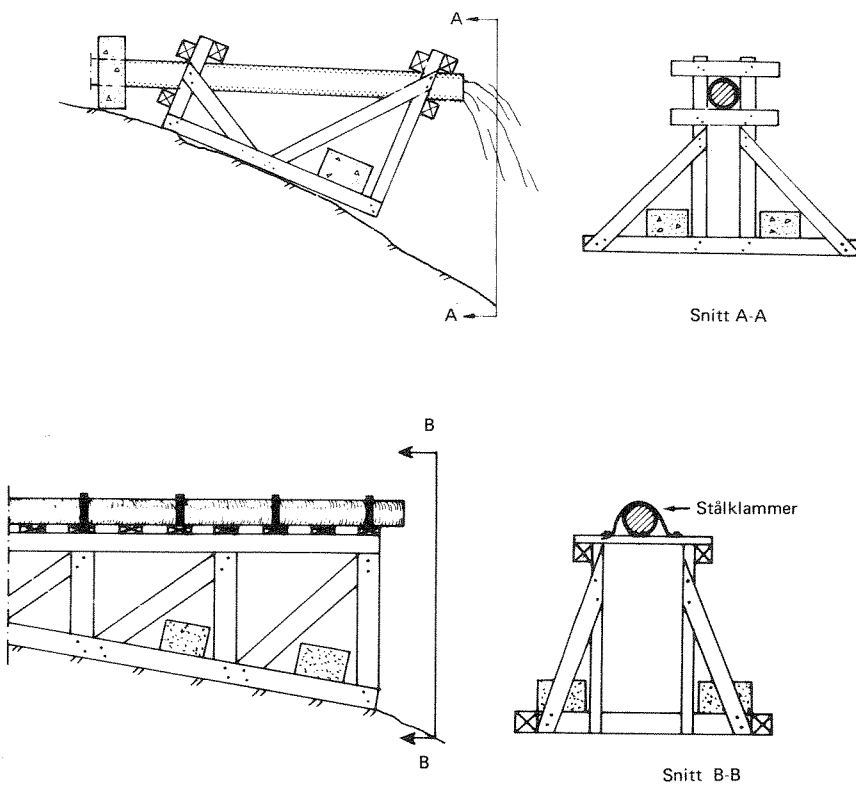


Fig. 79. Ende av utløpsledning montert på belastet treramme.

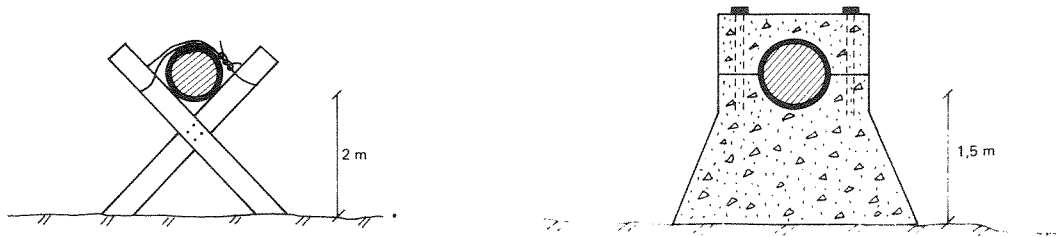


Fig. 80. Kryss av trepeler sikrer utløpet 2m over bunnen.

Fig. 81. Spesiallaget loss som sikrer utløpet 1,5m over bunnen.

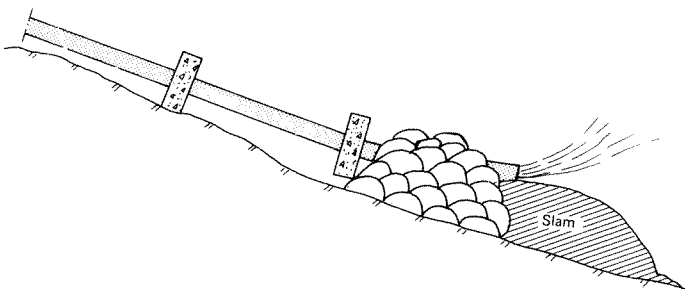


Fig. 83. Ende av utløpsledning plassert på og belastet med mørtelesekker.

6.3 Avløpsvannets primærfortynning

Avløpsvannets fortynning og bevegelse etter utslip i en recipient kan deles inn i to fortynningsfaser. Den første fortynningsfase, kalt primærfortynning (initialfortynning), omfatter avløpsvannets fortynning og bevegelse fra utslipshullet til en innlagring i recipienten. Primærfortynningen er hovedsakelig bestemt av avløpsstrålens kinetiske energi og gravitasjonskrefter, og er avgjørende for avløpsvannets forurensing av vannmassene i utslippeks umiddelbare nærhet. Etter innlagring er den videre fortynning og transport av avløpsvannet bestemt av turbulent diffusjon og strømbevegelse i recipienten. Denne fortynningsfase kalles sekundærfortynning. Avløpsvannets fortynning på de ulike steder i recipienten er hovedsakelig bestemt av sekundærfortynningen og tilgjengelig fortynningsvannmengder i recipienten.

For beregning av avløpsvannets primærfortynning forutsettes at avløpsvannet er homogent og lar seg fortynne i recipientens vannmasser. Denne forutsetning vil sjeldent eller aldri være helt tilfredsstilt, men flytestoffer, sedimenterbare stoffer og eventuelt uløselige væsker vil vanligvis ha en ubetydelig innvirkning på avløpsvannets fortynning og bevegelse. Disse komponentene må vurderes spesielt for hvert enkelt utslip. Strømbevegelser i recipientens vannmasser omkring et dyputslip forutsettes videre å være så små at de ikke innvirker på avløpsvannets oppblanding og bevegelse under primærfortynningsfasen.

Fortynningsvannet trenger inn i avløpsstrålen fra siden og gir størst fortynning i avløpsstrålens randsone og minst fortynning langs avløpsstrålens senterlinje. Avløpsvannet langs senterlinjen representerer derfor de ugunstigste forhold med de største konsentrationsavforeningskomponentene.

Fortynningen langs senterlinjen betegnes S_m , referanse 8.

$$S_m = \frac{C_o - C_r}{C_m - C_r} = \frac{\gamma_r - \gamma_o}{\gamma_r - \gamma_m}$$

hvor

- C_o = konsentrasjon i avløpsvannet
- C_r = konsentrasjon i recipientvannet
- C_m = konsentrasjon i avløpsvannet i sentrum av avløpsstrålen
- γ_o = tethet til avløpsvannet ved utslip
- γ_r = tethet til recipientens vann
- γ_m = tethet til det oppblendede avløpsvann i sentrum av avløpsstrålen.

Siden vanligvis $C_r \ll C_o$ og $C_r \ll C_m$, settes

$$S_m = \frac{C_o}{C_m}$$

Betrakter vi avløpsvannets fortynning S_m i et punkt på avløpsstrålens senterlinje, er denne gitt ved følgende variabler:

- s = karakteristisk avstand fra utslip
- D_o = effektiv diameter på avløpsstrålen ved utslip
- U_o = avløpsstrålens hastighet ved utslip
- g' = gravitasjonskonstanten korrigert for opp-

$$\text{drift} = g' \frac{\gamma_r - \gamma_o}{\gamma_o}$$

Disse variablene kan sammenfattes i fire dimensjonsløse tall

$$S_m$$

$$\frac{s}{D_o}$$

$$F_o = \frac{U_o}{\sqrt{g'D_o}}$$

Froudes tall

$$R_o = \frac{U_o \cdot D_o}{\nu}$$

Reynolds tall

og fortyningen S_m kan således skrives som en funksjon av tre dimensjonsløse tall.

$$S_m = f(s/D_o, F_o, R_o)$$

Froudes tall F_o angir gravitasjonens relative innvirkning på avløpsstrålen.

Reynolds tall R_o er en karakteristisk faktor for avløpsstrålens grad av turbulens og den relative betydning av avløpsvannets viskositet.

Ved utsipp har vi normalt fullt utviklet turbulens i avløpsstrålen, og Reynolds tall er uten betydning for fortyningen. Fortyningen S_m kan derfor skrives som en funksjon av bare to dimensjonsløse tall

$$S_m = f(s/D_o, F_o)$$

I det følgende skal noen enkle formler angis som muliggjør en rask orienterende beregning av avløpsstrålens fortyning.

Kommunalt avløpsvann vil ha tilnærmet samme tetthet som ferskvann. Ved utsipp i innlandsresipienter, vil utslippsretning derved være avgjørende for avløpsvannets bevegelse i primærfortynningsfasen. Siden avløpsvannet og resipientens vann er av samme tetthet, vil Froudes tall $F_o = \infty$ og fortyningen S_m er bare en funksjon av s/D_o .

$$S_m = f(s/D_o)$$

hvor s som er karakteristisk avstand, settes lik avstand langs senter av avløpsstrålen fra utslippshullet.

Ved eksperimentelle studier er S_m , for $s > ca. 6 D_o$, funnet å kunne beregnes etter følgende formel, referanse 9.

$$S_m = \frac{C_o}{C_m} = 0,18 \frac{s}{D_o}$$

Tyngre tetthethomogent vann finner vi i kystområder hvor ferskvannstilførselen ikke makter å påvirke merkbart de tilnærmede konstante tetthetsforhold i sjøvann. Dette er tilfellet hvor havet uhindret gir en hurtig fornyelse av vannmassene og i dypvannet i avlukkede fjordområder. For å oppnå størst mulig fortyning bør avløpsstrålen rettes horisontalt. Etter som av-

lopsstrålen blandes opp med omliggende vannmasser og den horisontale utstrømmingshastighet reduseres, vil gravitasjonskrefter mer og mer dominere avløpsstrålens bevegelse. Den lettere avløpsstrålen bøyer derfor av oppover mot overflaten. Av spesiell interesse er det å beregne avløpsvannets fortyning i en vertikal avstand over utsippet. Som karakteristisk avstand, s , velges derfor den vertikale avstand, y , over utsippet.

$$S_m = f(y/D_o, F_o)$$

For dyputslipp av kommunalt avløpsvann i sjøen har man funnet at F_o har relativt liten innflytelse på avløpsstrålens fortyning og at følgende formel kan gi en første orientering om hvilken fortyning S_m som kan oppnås, referanse 10.

$$S_m = \frac{2}{3} \frac{y}{D_o}$$

For en nøyaktig beregning av avløpsvannets fortyning og innlagring vises til forskningsprosjektet PRA-5.5 Spreddeanordning og avløpsvannets primærfortynnning som skal gi en detaljert oversikt over beregningsmetoder ved ulike typer utsipp og ulike resipientforhold.

7. Hydraulisk dimensjonering

7.1 Beregning av nødvendig energihøyde for utledning av avløpsvann

For transport av avløpsvann i utløpsledningen ut i resipientens vannmasser kreves en energihøyde, E_t , lik summen av friksjonstap, trykksdifferanse som følge av ulik tetthet på avløpsvannet og resipientvannet, og avløpsstrålens kinetiske energihøyde, se figur 84.

$$E_t = h_f + \frac{\Delta \gamma}{\gamma_o} \cdot y + \frac{U_o^2}{2g}$$

hvor

$$h_f = f \cdot \frac{L}{D} \cdot \frac{V^2}{2g}$$

E_t = total energihøyde, nødvendig for transport av avløpsvannet ut i utløpsledningen, relativt til overflaten i resipienten.

h_f = energitap som følge av friksjon i utløpsledningen

f = friksjonskoeffisient avhengig av rørmaterialer

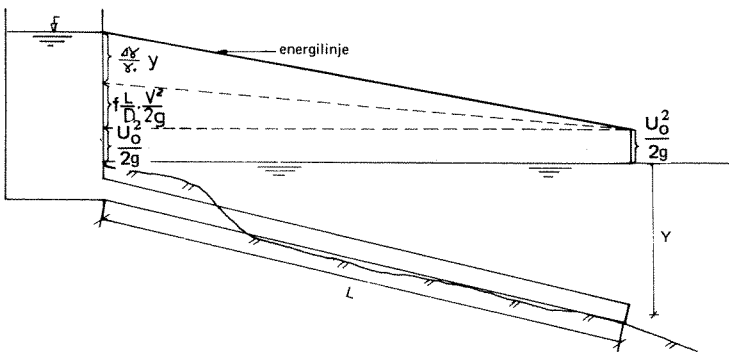


Fig. 84. Utløpsledningens hydraulikk.

- L = utløpsledningens lengde
 D = utløpsledningens indre diameter
 V = vannhastighet i utløpsledningen
 U_o = utløpsstrålens hastighet ved utslipp
 γ_o = avløpsvannets tethet
 $\Delta\gamma$ = differanse i tethet mellom avløpsvannet og recipientens vann
 y = vanndyp hvor avløpsvannet slippes ut

Singulærtap, vekst og sedimentering i utløpsledningen vil kunne gi en tilsynelatende øket friksjon. Dette må tas hensyn til ved beregning av den totale energihøyde. Øket energihøyde som følge av sedimentering og begroing i utløpsledninger skal studeres nærmere i et eget forskningsprosjekt PRA-5.4 Sedimentering og begroing og selvrensing i rør.

I det etterfølgende er den nødvendige energihøyde beregnet for en stor og en liten vannmengde i et utslipp uten spredeanordning på utløpsledningens ende.

Gitt:

- | | |
|--------------------------------------|------------------------------------|
| Utløpsledningens lengde | $L = 300 \text{ m}$ |
| Utløpsledningens indre diameter | $D = 300 \text{ mm}$ |
| Friksjonsfaktor | $f = 0,016$ |
| Avløpsvannets tethet | $\gamma_o = 1,000 \text{ kg/dm}^3$ |
| Recipientvannets tethet
(sjøvann) | $\gamma = 1,025 \text{ kg/dm}^3$ |
| Utslippsdyp | $y = 25 \text{ m}$ |

1.) Avløpsmengde $Q = 20 \text{ l/s}$

Avløpsvannets hastighet i ledningen

$$V = \frac{4Q}{\pi \cdot D^2} = 0,28 \text{ m/s}$$

Nødvendig energihøyde

$$E_t = h_f + \frac{\Delta\gamma}{\gamma_o} \cdot y + \frac{U_o^2}{2g}$$

$$E_t = 0,016 \cdot \frac{300}{0,3} \cdot \frac{0,28^2}{2 \cdot 9,8} + \frac{0,025}{1,0} \cdot 25 + \frac{0,28^2}{2 \cdot 9,8}$$

$$E_t = 0,064 \text{ m} + 0,625 \text{ m} + 0,04 \text{ m}$$

$$E_t = \underline{0,69 \text{ m}}$$

Det fremgår at ved en liten hastighet på 0,28 m/s i ledningen, er leddet som skyldes ulik egenvekt på avløpsvann og recipientvann det dominerende.

2.) Avløpsvannmengde $Q = 150 \text{ l/s}$

Hastighet i ledningen

$$V = \frac{4Q}{\pi \cdot D^2} = 2,12 \text{ m/s}$$

De andre parametre har samme verdi som ovenfor.

Nødvendig energihøyde

$$E_t = 0,016 \cdot \frac{300}{0,3} \cdot \frac{2,12^2}{2 \cdot 9,8} + \frac{0,025}{1,0} \cdot 25 + \frac{2,12^2}{2 \cdot 9,8}$$

$$E_t = 3,67 \text{ m} + 0,625 \text{ m} + 0,23 \text{ m}$$

$$E_t = \underline{4,53 \text{ m}}$$

Ved en vannføring på 150 l/s vil vannivået i kummen være ca. 4,5 m over vannstanden i recipienten.

7.2 Dimensjonerende hastighet i utløpsledningen

Som det framgår av sammendrag, avsnitt 2, er avløpsvannet i utløpsledningene her i landet svært dårlig renset. Likeledes er vanligvis utløpsledningen overdimensjonert slik at hastighetene er små med stor fare for avsetninger. Dette har ført til at tiltetting utgjør den største gruppe av skader. Opplysninger fra 123 utløpsledninger

viser at hele 86 ledninger eller 70% har en midlere tørrværshastighet mindre enn 0,1 m/s. Inspeksjon av en rekke utløpsledninger med dykkere bekrefter fullt ut forholdene med dårlig rensegrad og små hastigheter på avløpsvannet, se figurene 78 og 82.

Avsetting og begroing i utløpsledninger vil være avhengig av ledningsmateriale, ledningsfall, rensegrad på avløpsvannet og størrelse og variasjoner i avløpsmengde. Urenset eller dårlig renset avløpsvann krever hyppigere og større spylehastigheter enn for høyverdig renset avløpsvann. I dag hersker det stor usikkerhet med hensyn til nødvendig spylehastighet for å hindre sedimentering og begroing i utløpsledninger. Det er imidlertid enighet om at en vannhastighet på 0,6–0,8 m/s en gang i døgnet i jevnt fallende utløpsledning, bør være tilstrekkelig.

Kriterier for å sikre en selvrensing av ulike utslippsledninger for forskjellig kvaliteter på avløpsvannet, skal studeres i prosjektet PRA-5.4 "Undersøkelse av sedimentering, begroing og selvrensing i rør".

Arsaken til overdimensjonering av utløpsledninger skyldes først og fremst ønsket om at anlegget skal dekke behovet ved økende avløpsmengde i mange år fremover. Økonomisk er dette ønskelig fordi avskrivningstiden blir lang. Når det investeres i nyanlegg på vann- og avløpssektoren, er det vanlig å kreve at anlegget skal dekke behovet i 20–30 år. Dette synes også å ha vært praksis ved dimensjonering av utløpsledninger.

I etterfølgende eksempel skal vises hva dette kan bety for vannmengde og hastighet i en utløpsledning:

I et område skal det bygges boliger for i alt 10.000 personer innen år 2.000. I dag bor det 500 personer i området og prognosene går ut på at om ti år er det 3.000 personer. Kreves det at avløpet fra de 500 i dag skal føres ut på dypt vann, samtidig som man vil at dette anlegget også skal være tilstrekkelig i år 2.000, vil prosjekteringen gi, hvis følgende data brukes:

Antall personer	= 10.000
Spillvannsmengde	= 300 l/p.d.
Døgnfaktor	= 1,0
Timefaktor	= 1,5

Avløpsnettet kloakkeres etter separatsystemet

Maksimal spillvannsmengde i midlere døgn

$$Q = \frac{10.000 \cdot 300 \cdot 1,0 \cdot 1,5}{24 \cdot 60 \cdot 60} = 52 \text{ l/s}$$

Legges en utløpsledning med diameter på 200 mm vil det en gang i midlere døgnet – ved full utbygging – opptre en maksimal hastighet (spylehastighet) på 1,5 m/s. De første årene etter bygging med bare 500 personer i området, vil den daglige "spylehastighet" ligge i området 0,1 m/s. For å sikre tilfredsstillende driftsforhold, vil det her være nødvendig med en etappevis utbygging, eller at utløpsledningen spyles jevnlig de første årene.

For å sikre selvspyling, må utløpsledningens diameter vanligvis velges mindre enn i den tilhørende landledning. Dette fordi at i en landledning utnyttes bare en del av tverrsnittet, mens en utløpsledning går full. Dette siste er ikke alltid helt riktig for i ytre del av utløpsledningen som vist på figur 82 vil, i saltvannsresipienter ved små vannføringer, avløpsvannet kunne strømme ut i den øverste delen av tverrsnittet, mens saltvann trenger inn i den nedre delen. Hvor langt inn saltvannet trenger, er avhengig av hastighet og fallforhold. Faren for sedimentering vil være stor i en ledning med inntrengende saltvannskile, fordi partikler som kommer ned i denne nærmest stillestående kilen, i liten grad vil bli påvirket av det utstrømmende avløpsvann.

Frykt for tilstopping i trange rør har også medvirket til at store diameter er valgt på utløpsledninger. En diameter på 200 mm har ofte vært betraktet som minimum.

Som en sikring mot igjentetting av store gjenstander som stein, røtter, bordbiter og plastartikler, bør det være en eller annen form for sandfang og en rist som avløpsvannet må passere før det går ut i utløpsledningen. Det har ofte vist seg at slike gjenstander finnes i kloakkledninger og skyldes bl.a. skader på ledningsnettet, ufornuftig avfallshåndtering og igjenglemte ting fra anleggsperioden.

7.3 Spyling

Grunnen til at ikke langt flere utløpsledninger har tettet seg til, er at i dag er mesteparten av det eksisterende kloakknett bygd som felles-system, og overvann etter regnskyl er med og spyler ren utløpsledningen. Tendensen i dag er at nye kloakknett bygges som separatsystem, noe som derfor ikke er til fordel for spyling av en utløpsledning.

Mange steder har man innsett hvilken trusel lav hastighet er mot sikker drift av en utløps-

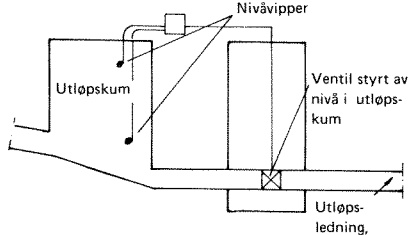


Fig. 85. Hydraulisk styring av ventil på utløpsledningen sikrer spyling.

ledning og har derfor laget til ulike arrangement for å gardere seg.

Figur 5 i avsnitt 4 viser en utløpsledning med påmontert rør for tilkobling til f.eks. en brannpumpe. Det er viktig at spylingen blir utført jevnlig, slik at større sedimentmengder ikke får anledning til å samle seg i ledningen. Spyling kan også utføres ved at det ved pumpe eller på annen måte tilføres ekstra vann i utløpskummen, slik at vannnivået stiger og hastigheten i ledningen blir stor nok til at sedimenterbare partikler og slam spyles ut.

En annen måte å sikre en tilstrekkelig spylehastighet på er vist på figur 85.

I utløpskummen er det montert nivåvipper som sender impulser til lukkemekanismen på en ventil plassert på utløpsledningen. Prinsippet er at ventilen skal styres slik at den åpner seg når vannstanden i kummen når øvre vippe og lukker seg ved nedre vippe. På denne måten er en sikret en viss trykkhøyde i kummen og dermed en viss minimumshastighet på avløpsvannet i utløpsledningen. På samme måte virker en pumpaledning som, hvis dimensjoneringen er riktig, sikres spyling hver gang pumpen går.

gjørende her er grunnforhold og fallforhold over og under vann samt største leggedyp.

- b) Forskjell i avstand fra rørfabrikant til anleggssted.
- c) Forskjellige krav til vektbelastning av utløpsledninger.
- d) Varierende omfang av forundersøkelser, prosjektering og etterkontroll.

Man kan tilføye at kravet til teknisk standard og driftsstabilitet har vært forskjellig, noe som har mye å si for kostnadene.

I de siste 2 – 3 år er det bygget et betydelig antall utslippsarrangement her i landet som tilfredsstiller de krav vi i dag stiller. Anbuds-dokumentene med inngitte priser for en del av disse er bearbeidet og danner grunnlag for de etterfølgende kostnadskurver og -tabeller. Ledningsmaterialet som er benyttet i disse anlegg er nesten uten unntak PEH. De angitte kostnader for en del av anleggsarbeidene kan derfor ikke benyttes i tilfelle bruk av andre ledningsmateri-aler. For å ha noe grunnlag for å sammenligne ulike aktuelle rørmaterialer er det innhentet opplysninger om rørpriser fra flere leverandører. En sammenstilling av dette er vist på fig. 88. Man må imidlertid være klar over at rørkost-ningen alene bare er en del av totalkostnaden for et utslippsarrangement.

De etterfølgende kostnadsdata gjelder for anlegg i Sør-Norge og *tidfestes til 1. juli 1974*. Prisstigningen er betydelig fra år til år og det anbefales at prisene justeres i henhold til Storm-bulls prisindeks.

Ved bygging av utslippsarrangement kan total anleggskostnad deles opp i følgende enkeltkost-nader:

- kostnad for tilrigging
- » » utløpskum
- » » undervannsgrøfter
- » » rørleveranser
- » » leveranse og montasje av betongvekter
- » » senking av ledning
- » » endearrangement
- » » pumpestasjon (bare aktuelt i spe-sielle tilfeller)

8. Anleggskostnader

8.1 Innledning

De totale kostnader i forbindelse med bygging av et utslippsarrangement har vist seg å variere meget fra sted til sted. Dette skyldes bl.a. følgende forhold:

- a) Meget store forskjeller i vanskelighetsgrad ved bygging av kum og legging av ledning. Av-

Et anbudsdocument for et utslippsarrangement vil ofte være inndelt i ovennevnte poster.

De enkelte poster vil bli nærmere behandlet i det etterfølgende.

8.2 Kostnad for tilrigging. (Arrangement på byggeplassen.)

Denne post varierer sterkt avhengig av:

- anleggsplassens beliggenhet
- omfanget av arbeidet
- årstid
- i hvilken grad entreprenøren regner sin fortjeneste i denne post.

Normalt vil denne utgiftsposten beløpe seg til ca. 10% av et anleggs totalkostnad.

8.3 Kostnad for utløpskum

Av særlig betydning her er grunnforholdene samt kummens areal og høyde. Prisen er også avhengig av om kummen forskales og støpes på stedet eller om den bygges opp av prefabrikkerte kumringer. I de tilfeller man forskaler og støper kummen på stedet kan en orienterende pris tas ut av fig. 86.

Bruk av prefabrikkerte kumringer er aktuelt ved mindre kumarealer og vil i slike tilfeller oftest bli billigere enn en like stor plass-støpt utløpskum.

8.4 Kostnad for undervannsgrofter

Avgjørende faktorer er grøftedybde, grøftas bunnbredde, massene grøfta skal lages i og vanndyp.

På fig. 87 er vist diagrammer der alle disse faktorane er tatt hensyn til.

Kostnadene for massutskifting for igjenfylling av grøft er ikke med i fig. 87.

8.5 Rørkostnader

På fig. 88 er vist en sammenstilling av kostnader for ulike rørmaterialer som kan være aktuelle å benytte til utløpsledninger. For alle typene gjelder det at de enten kan produseres i en lengde uten skjøter eller at evt. skjøter er strekkfaste.

Interessant er det at PEH-rør NT 4 og duktile støpejernsrør koster omrent det samme, og at disse to er en god del dyrere enn andre materialer ved diametre over ca. 400 mm. Ved diametre på ca. 1000 mm koster GAP og trerør bare halvparten av tilsvarende dimensjon i PEH NT 4 eller duktilt støpejern.

Som tidligere nevnt utgjør rørkostnaden bare en del av total anleggskostnad. Dette må en være klar over ved bruk av kurvene på fig. 88.

PEH er det dominerende ledningsmaterialet for utløpsledninger her i landet i dag. For best mulig å kunne beregne anleggskostnader ved bruk av PEH-ledninger er det i fig. 89 en tabell over priser for ulike dimensjoner og trykklasser. Kolonne D i tabellen angir selve rørprisen.

Kolonne E i samme tabell angir transportkostnaden hvis røret fraktes til anleggsplassen i lengder på 10 m med bil. Kostnaden for å sveise sammen bitene til en lengde er inkludert i kolonne E. Kolonne F i tabellen på fig. 89 angir transportkostnaden hvis PEH-røret blir produsert i en lengde på fabrikk og derfra slept med båt til anleggsplassen.

8.6 Kostnad for leveranse og montasje av betongvekter

Ledninger av PEH, PVC, GAP og tre må belastes når de skal brukes som sjøledninger. Kostnad for leveranse av betongvekter og montasje av disse på PEH-rør er vist i kolonne H i tabellen på fig. 89.

Vektenes størrelse avhenger av hvor store bølge/strømkreftene kan bli samt hvilket krav man setter til sikkerhet mot oppflyting pga. gassansamling. Vanligvis belastes PEH-ledninger for en luftfyllingsgrad på 25%.

I tilfelle bruk av de andre nevnte materialer vil behovet for vekter være omrent det samme som for PEH. Betingelsen for å kunne benytte kostnadene i kolonne H som en orientering også i slike tilfeller er at loddene er av en slik type at de kan monteres på lednignene over vann. Før en ledning senkes med alle vektene påmontert må en også forsikre seg om at det aktuelle ledningsmaterialet virkelig tåler en slik belastning.

Hvis en del av vektene må monteres under vann etter at ledningen er senket blir det snakk om andre priser enn de som er oppgitt i kolonne H i tabellen på fig. 89.

8.7 Kostnad for senking av ledning

Etter at loddene er montert på en utløpsledning av PEH, starter selve leggearbeidet. Dette omfatter at ledningen tauas i riktig posisjon i overflatestilling. Den ene enden monteres til utløpskummen på land, og ledningen senkes ved at innestengt luft slippes ut etter hvert som vann fyller hele ledningsstrekningen.

Kostnadene forbundet med dette senke-

arbeidet er gitt i kolonne G i tabellen på fig. 89. Prisene forutsetter at senkingen lar seg utføre uten for store problemer.

8.8 Kostnad for endearrangement

Med endearrangement menes en konstruksjon som sikrer enden av utløpsledningen i en posisjon 1 – 2 m over bunnen.

Dette kan bygges på flere måter f.eks. ved peler, trerammer, stålrammer eller svevemannet.

Kostnaden varierer fra kr. 5 000,- til kr. 15 000,-.

I noen tilfeller er det behov for en diffusor på enden av en utløpsledning for å øke primærfortynningen.

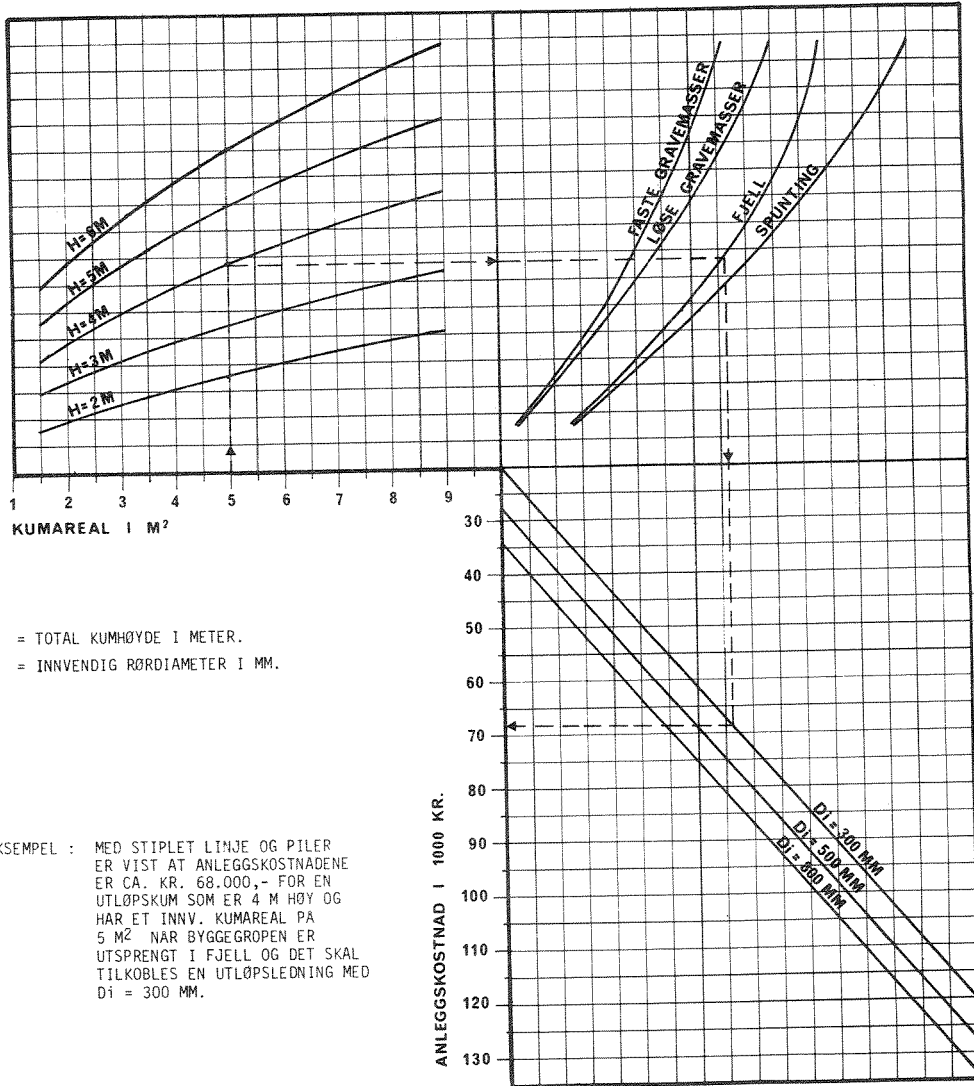
Ekstrakostnaden for et slikt arrangement er vanskelig å angi korrekt da det hittil bare er bygget et lite antall diffusorer her i landet. Som en grov orientering kan en regne med en prisøkning på i størrelsesorden 10–15% av utslippsarrangementets totalkostnad hvis en skal ha med en diffusor i anlegget.

Denne ekstrakostnaden skyldes at det ligger en del arbeid i beregninger av en diffusor. Videre må diffusoren som regel bygges opp av rør-lengder med ulike diametre.

Diffusorene har vanligvis en lengde fra 10–50 m, og hele denne lengden må heves over bunnen for å hindre at diffusorstrålene graver i bunnmaterialer. Endearrangementet vil derfor bli mere omfattende i forbindelse med en diffusor.

8.9 Kostnad for kloakkpumpestasjoner

I de tilfeller det ikke er naturlig høyde nok på land for å bygge opp den tilstrekkelige trykkhøyde til et utslippsarrangement må en bygge pumpeanlegg. I de tilfeller en bygger pumpeanlegget som vist på fig. 18 med pumpe via en utløpskum kan kostnaden for pumpesump og pumpeutrustning tas ut av fig. 90. Kostnaden for selve utløpskummen kommer i tillegg og kan tas ut av fig. 86.



H = TOTAL KUMHØYDE I METER.
Di = INNVENDIG RØRDIAKETER I MM.

EKSEMPEL : MED STIPLET LINJE OG PILER
ER VIST AT ANLEGGSKOSTNADENE
ER CA. KR. 68.000,- FOR EN
UTLØPSKUM SOM ER 4 M HØY OG
HAR ET INNV. KUMAREAL PÅ
5 M² NÅR BYGGEROPEN ER
UTSPRENGT I FJELL OG DET SKAL
TILKOBLES EN UTLØPSLEDNING MED
Di = 300 MM.

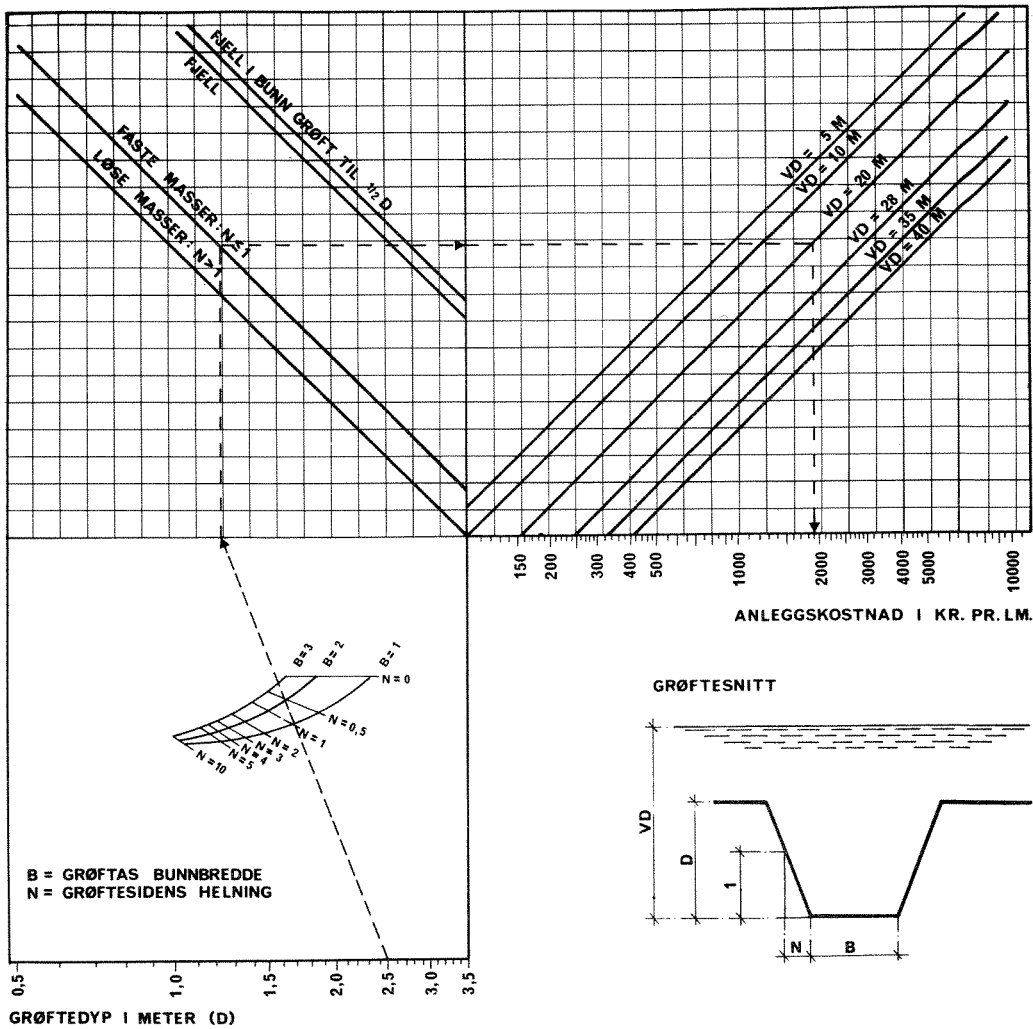
FORUTSETN.: KOSTNADENE GJELDER OPPARBEIDELSE AV BYGGEROP, STØPING AV KUM MED NØDV. INNSTØPNINGSGODS,
LUKE, ETC. SAMT IGJENFYLING MED UTGRAVD MASSE.

SAMTLIGE PRISER ER TILLAGT 20 % FOR UFORUTSETTE UTGIFTER, HONORAR ETC.
PRISENE ER EKSKL. MERVERDIAVGIFT.

ARSKOSTNADER BEREGNES UT FRA :
RENTEFOT 7 %.
AVSKRIVNINGSTID 40 AR.
VEDLIKEHOLD 2 % AV ANLEGGSKOSTNADENE.
DE TOTALE ARSKOSTNADER ER 9,50 % AV ANLEGGSKOSTNADENE.

KURVENE FORUTSETTES KUN NYTTET VED OVERSIKTSPLANLEGGING.

Fig. 86. Utløpskummer. Kostnader 1. juli 1974.



EKSEMPEL : MED STIPLLET LINJE OG PILER ER VIST AT ANLEGGSKOSTNADENE ER KR. 1.900 FOR EN 2 M BRED OG 2,5 M DYP GRØFT I FASTE MASSER DER SIDESKRANINGENE STAR MED HELNING $N = 0,5$ OG VANNDYPET ER 20 M.

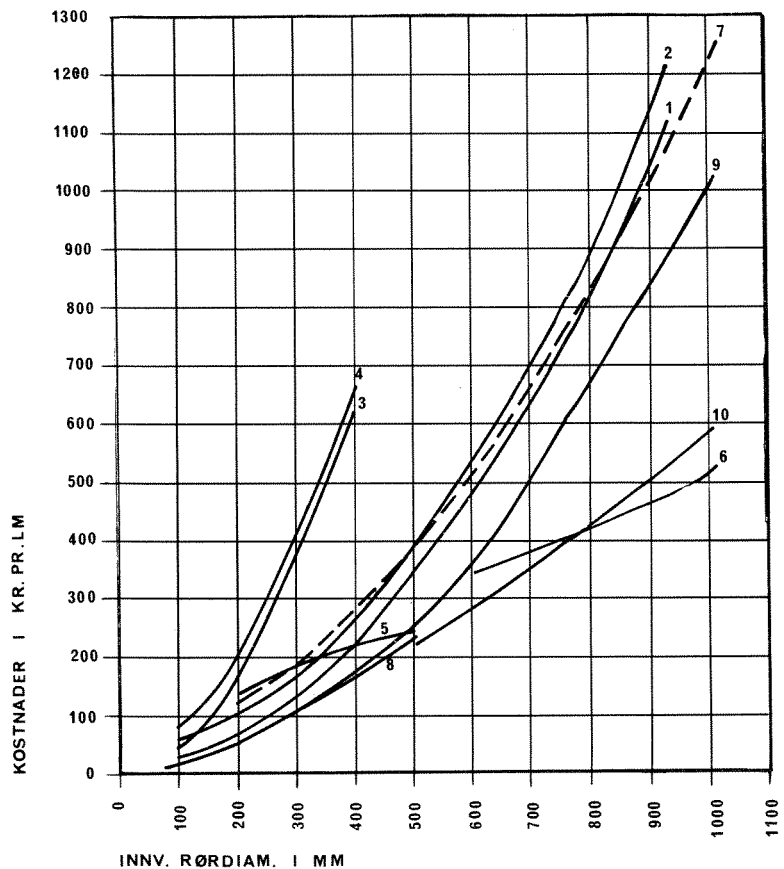
FORUTSETN. : KOSTNADENE GJELDER OPPARBEIDELSE AV UNDERVANNSGRØFT SAMT IGJENFYLLING MED UTGRAVEDE MASSER. FOR FJELLGRØFT ER IKKE GRUSOMFYLLING RUNDT RØRET INKLUDERT.

SAMTLIGE PRISER ER TILLAGT 20 % FOR UFORUTSETTE UTGIFTER, HONORAR ETC.
PRISENE ER EKSKL. MERVERDIAVGIFT.

ÅRSKOSTNADER BEREGNES UT FRA :
RENTEFOT 7 %.
AVSKRIVNINGSTID 40 AR.
VEDLIKEHOLD INKL. ARLIG DYKKERKONTROLL 2 % AV ANLEGGSKOSTNADENE.
DE TOTALE ÅRSKOSTNADENE ER 9,50 % AV ANLEGGSKOSTNADENE.

KURVENE FORUTSETTES KUN NYTTET VED OVERSIKTSPLANLEGGING.

Fig. 87. Ledningsgrøfter under vann. Kostnader pr. 1. juli 1974.



- KURVE 1 : HELEKSTRUERT PEH-RØR NT4 LEVERT FLYTENDE I EN LENGDE I ØSTLANDSOMråDET.
 " 2 : PEH-RØR NT 4 LEVERT I 12 M LENGDER OG SVEISET PÅ ANLEGGSPASS I ØSTLANDSOMråDET.
 " 3 : HELEKSTRUERT PEH-RØR NT 10 LEVERT FLYTENDE I EN LENGDE I ØSTLANDSOMråDET.
 " 4 : PEH-RØR NT 10 LEVERT I 12 M LENGDER OG SVEISET PÅ ANLEGGSPASS I ØSTLANDSOMråDET.
 " 5 : TRERØR AV 1½" TRYKKIMPREGNERTE FURULANK MED 3 STK. 5/8" VARMGALV.KLAMMER PR. M.
 PRISEN GJELDER MONTERINGSFERDIG MATERIELL LEVERT PÅ ANLEGGSPASS I ØSTLANDSOMråDET.
 " 6 : TRERØR AV 2" TRYKKIMPREGNERTE FURULANK MED 3 STK. 5/8" VARMGALV.KLAMMER PR. M.
 PRISEN GJELDER MONTERINGSFERDIG MATERIELL LEVERT PÅ ANLEGGSPASS I ØSTLANDSOMråDET.
 " 7 : DUKTILE STØPEJERNSRØR 6 M LANGE MED STREKKFAST EKSPRESS-SKJØT. RØRENE ER INNVENDIG
 SEMENTERT MED METALLURGISK SEMENT, UTVENDIG ASFALTEBELEGG. PRISEN GJELDER LEVERT
 NÆRMESTE ANLØPSHAVN.
 " 8 : PVC AVLØPSRØR KL.T, 5 M LANGE. RØRENE HAR MUFFE OG SPISSENDE FOR LIMING. PRISEN
 GJELDER LEVERT NÆRMESTE DAMSKIPSEKSPEDISJON ELLER JERNBANESTASJON I SYDLIGE NORGE.
 " 9 : ASBESTSEMENTRØR, 5 M LANGE. ARBEIDSTTRYKK 6 KG MED STREKKFAST ZOK-KOBLING.
 PRISEN GJELDER LEVERT ØSTLANDSOMråDET.
 " 10 : GAP-RØR KL.T, 12 M LANGE. SKJØTET VED HJELP AV LAMINERING PÅ ANLEGGSPASSSEN.
 PRISEN GJELDER FERDIG I EN LEDNGDE PÅ ANLEGGSPASSSEN.

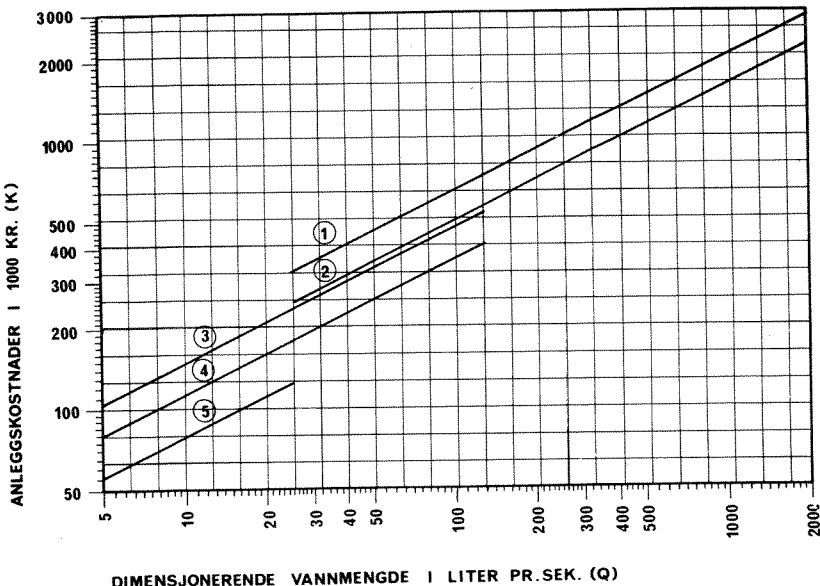
FORUTSETNINGER :

PRISEN GJELDER LEDNINGSLENGDE 300 M. MERVERDIAVGIFT.

Fig. 88. Utløpsledninger. Kostnadskurver for ulike rørmaterialer. Kostnader 1. juli 1974.

TRYKK-KLASSE	A NOM./UTV. RØRDIA.	B INNV. RØRDIA.	C VEKT MM	D RØRPRIS KR/M	E TRANSPORT MED BIL SAMT SVEISING KR/M	F TRANSPORT VED SLEPING KR/M	G SENKING KR/M	H LEVERING OG MONTERING AV BETONGVEKTER		
								LUFTFYLLINGSKRAV		
								25 % KR	50 % KR	75 % KR
NT 2,5	180	171,2	2,5	30	26	12	21	22	31	52
	250	237,8	4,8	57	33	12	22	36	69	101
	315	299,6	7,6	90	40	12	24	58	109	160
	370	351,8	10,6	121	49	12	26	79	150	220
	500	475,6	18,8	215	65	12	28	145	274	403
	630	599,2	30,3	348	81	12	32	230	435	639
	710	675,4	38,4	430	90	12	34	293	553	812
	800	761,0	49,5	554	99	13	36	372	702	1031
	900	856,0	61,2	684	125	13	38	470	888	1305
	1000	951,2	77,0	860	146	14	41	581	1096	1611
NT 3	180	169,6	2,9	34	26	12	21	22	35	51
	250	235,4	5,7	68	33	12	22	36	67	99
	315	296,6	9,0	107	40	12	24	57	107	157
	370	348,4	12,4	142	49	12	26	78	147	217
	500	470,8	22,7	260	65	12	28	143	269	395
	630	593,2	36,0	402	81	12	32	227	427	628
	710	668,6	45,7	508	90	13	34	288	543	747
	800	753,4	57,9	648	99	13	36	366	689	1013
	900	847,4	72,8	814	125	14	38	463	872	1281
	1000	941,8	90,4	1011	146	14	41	572	1077	1582
NT 4	110	101,4	1,5	18	17	12	19	22	22	22
	180	166,0	3,9	46	26	12	21	22	34	49
	250	230,6	7,5	89	33	12	22	35	65	95
	315	290,6	11,8	140	40	12	24	55	103	151
	370	341,4	16,5	185	49	12	26	76	142	209
	500	461,4	29,4	340	65	12	28	139	260	381
	630	581,6	46,9	534	81	13	32	221	413	606
	710	655,4	59,7	680	90	13	34	280	525	769
	800	738,4	74,0	850	99	14	36	356	666	976
	900	830,6	95,1	1083	125	14	38	450	843	1236
NT 6	1000	923,0	118,5	1350	146	15	41	556	1041	1526
	110	97,4	2,1	25	17	12	19	22	22	22
	180	159,6	5,5	65	26	12	21	22	31	46
	250	222,6	10,7	127	33	12	22	33	61	89
	315	279,4	16,8	200	40	12	24	52	96	141
	370	328,0	23,7	273	49	12	26	72	133	194
	500	443,4	42,5	490	65	13	28	131	252	355
	630	558,6	67,9	700	81	13	32	208	386	563
NT 10	710	629,6	86,2	985	90	14	34	264	490	716
	800	709,4	109,4	1250	99	15	36	335	622	909
	110	90,0	3,2	38	17	12	19	22	22	22
	180	147,2	8,5	101	26	12	21	22	28	40
	250	204,4	16,4	190	33	12	22	29	53	77
EKSEMPEL :	315	257,6	25,8	295	40	12	24	47	85	122
	370	302,4	37,7	433	49	12	26	64	116	169
	500	409,0	66,2	760	65	13	28	117	213	309
FORUTSETN. :	D.	PRIS FOB PRODUSENT.								
	E.	TRANSPORT FRA PRODUSENT TIL ANLEGGSPLESS MED LASTEBIL OG TILHENDER.								
	F.	MAKS. TRANSPORTLENGDE 200 KM. RØRLENGDER 10 M. SKJØTING AV RØR VED BUTTSVEISING.								
	G.	TRANSPORT FRA PRODUSENT TIL ANLEGGSPLESS VED AT UOPPDELT RØR SLEPES ETTER BAT.								
	H.	MAKS. TRANSPORTLENGDE 200 KM.								
	I.	SENKING AV RØR MED PÅMONTERTE BETONGVEKTER.								
	J.	LEVERING OG MONTERING AV BETONGVEKTER FOR SENKING. LUFTFYLLING ANGIS SOM DEN PROSENTVISE DEL AV INNVENDIG RØRTVERRSNITT SOM KAN VÆRE LUFTFYLLT UTEN AT RØRET FLYTER OPP.								
	K.	DEN MAKSIMALT TILLATTE BELASTNING MA BEREGENES UNDER HENSNTAGEN TIL TRYKK-KLASSE OG LEGGEDYP SALEDGES AT EN IKKE FAR HAVARI UNDER SENKNINGSFORLOPET.								
	L.	PRISENE ER BASET PA EN 300 M LANG LEDNING. SAMTLIGE PRISER ER TILLAGT 20 % FOR UFORUTSETTE UTGIFTER, HONORAR ETC.								
	M.	PRISENE ER EKSKLUSIV MERVERDIANGIFT.								
ARKOSTNADENE BEREGNES UT FRA :										
	N.	RENTEFOOT 7 %. AVSKRIVNINGSTID 40 AR. VEDLIKEHOLD INKL. DYKKERKONTROLL 2 % AV ANLEGGSKOSTNADENE.								
	O.	TOTALE ARKOSTNADEBLIR DA 9,50 % AV ANLEGGSKOSTNADENE.								
	P.	KOSTNADENE FORUTSETTES KUN NYTTET VED OVERSIKTSPLANLEGGING.								

Fig. 89. Utløpsledning av PEH. Kostnader 1. juli 1974.



- KURVENE : (1) TØRROPPSTILLT PUMPE OG MOTOR. INKL. SPUNT.
 (2) TØRROPPSTILLT PUMPE OG MOTOR. EKSKL. SPUNT.
 (3) VATOPPSTILLT PUMPE OG MOTOR. INKL. SPUNT.
 (4) VATOPPSTILLT PUMPE OG MOTOR. EKSKL. SPUNT.
 (5) VATOPPSTILLT PUMPE OG MOTOR. STASJON AV PREFABR. KUMRINGER I BETONG. EKSKL. SPUNT.
- FORUTSETN. : ANLEGGSKOSTNADENE ER FORDELT MED 70 % PA BYGNINGSMESSIGE ARBEIDER OG 30 % PA MASKINELL OG ELEKTRISK UTRUSTNING.
 KOSTNADENE FOR EN RESERVEPUMPE ER INKLUDERT.
 MANOMETRISK OPPFORDRINGSHØYDE ER 20 METER.
 KOSTNADEFUNKSJONENE ER :
1. $K = 65000 \cdot Q^{0.5}$
 2. $K = 50000 \cdot Q^{0.5}$
 3. $K = 47000 \cdot Q^{0.5}$
 4. $K = 36000 \cdot Q^{0.5}$
 5. $K = 25000 \cdot Q^{0.5}$
- SAMTLIGE KOSTNADENE ER TILLAGT 20 % FOR UFORUTSETTE UTGIFTER, HONORAR ETC.
 KOSTNADENE ER EKSKL. MERVERDIAVGIFT.

ÅRSKOSTNADENE BEREGNES UT FRA :
 RENTEFOT 7 %.
 BYGNINGER OG RØRLEDNINGER AVSKRIVES PA 40 AR,
 MASKINELL OG ELEKTRISK UTRUSTNING AVSKRIVES PA 20 AR.
 VEDLIKEHOLD 1,65 % AV ANLEGGSKOSTNADENE.
 PASS 1,50 % AV ANLEGGSKOSTNADENE.
 ENERGIKOSTNADENE FOR TRANSPORT AV VANN ER IKKE TATT MED.
 TOTALE ÅRSKOSTNADENE ER 11,23 % AV ANLEGGSKOSTNADENE.

KURVENE FORUTSETTES KUN NYTTET VED OVERSIKTSPLANLEGGING.

Fig. 90. Kloakkpumpestasjoner. Kostnader 1. juli 1974.

9. Litteratur
1. Gorden, J.L.
"Vortices at intakes".
Water Power Vol. 22 (1970) No. 4, pp 137–138.
 2. Denny, D.F. and Young, G.A.J. British Hydromechanics Research Association, Harlow, Essex, England
"The prevention of vortices and swirl at intakes".
c 1-1 – c 1-10.
 3. Janson, Lars-Eric
"Plastrør i VA-tekniken".
Sth. 1971, 119 s. ill.
 4. Kjølseth, O., Siv.ing. A/S
"Grunnundersøkelser og geoteknisk vurdering for Arendalsregionens interkommunale vannledning for Aust-Agder fylke".
18 s. + bilag (Rapport 2335.01 4/7-68).
 5. Meland, T.
"Undersøkelse av slitasjemotstanden hos fire materialtyper for vannledningsrør".
Rapport. Trondheim, SINTEF, 1967.
 6. Brown, R.J.
"Hydrodynamic forces on a submarine pipeline".
American Society of Civil Engineers, Journal of the Pipeline Division Vol. 93 (1967) No PLI.
 7. Tørum, Alf
"Bølge- og strømkrefter på utslippsledninger".
Vann Vol. 8 (1973) No. 1, pp. 40–48.
 8. Liseth, Paul
"Utslipp i resipient, avløpsvannets utledning og fortynning".
Avløpsteknikk. Utg. av Norske Sivilingeniørers Forening, Norsk institutt for vannforskning og Norges tekniske høgskole, Institutt for vassbygging. Oslo 1971. Pp. 13.1.–13.41.
 9. Albertsen, M.L., Dai, Y.B., Jensen, R.A. and Rouse, H.
"Diffusion of submerged jets".
Trans. ASCE 115 Vol. (1950) Pp. 639–697.
 10. Liseth, Paul
"Dyputslipp i tilnærmet stagnerende vann".
Kurs i resipienthydraulikk, Geilo 1972. Utg. av Norske Sivilingeniørers Forening, Norges Ingeniørorganisasjon, Norsk institutt for vannforskning, Norsk Kommunalteknisk Forening, Rådgivende Ingeniørers Forening og Norges tekniske høgskole. Vassdrags- og havnelaboratoriet. (NIVA-rapport 0–54/72).

10. FOTOPLANSJE



Fig. 65. Begroing på svevedeling.

→

Fig. 55. Vektbelastning av betong.

←

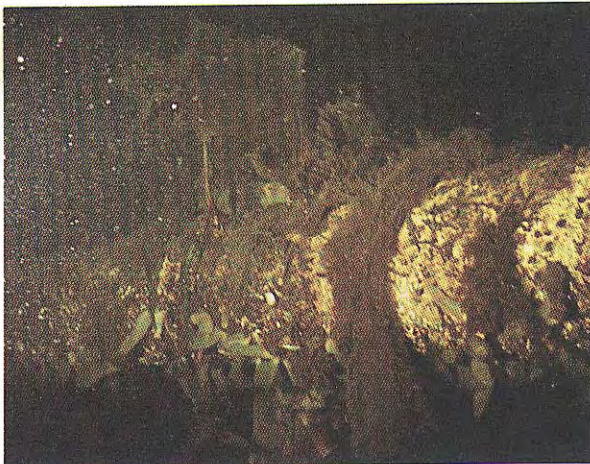


Fig. 78. Slamansamling ved ende av utløpsledning.

←



Fig. 82. Bildet viser liten vannføring og slamavsetning i en utløpsledning.

→

